

МИНОБРНАУКИ РОССИИ  
ФИЛИАЛ ФЕДЕРАЛЬНОГО ГОСУДАРСТВЕННОГО БЮДЖЕТНОГО  
ОБРАЗОВАТЕЛЬНОГО УЧРЕЖДЕНИЯ ВЫСШЕГО ОБРАЗОВАНИЯ  
«БЕЛГОРОДСКИЙ ГОСУДАРСТВЕННЫЙ  
ТЕХНОЛОГИЧЕСКИЙ УНИВЕРСИТЕТ им. В.Г.ШУХОВА» в г.НОВОРОССИЙСКЕ  
**(НФ БГТУ им. В.Г.Шухова)**

Кафедра: Технических дисциплин

**Вопросы для подготовки к экзамену**

**Основания и фундаменты**  
(наименование дисциплины)

направление подготовки:

**08.03.01 – Строительство**

профиль подготовки:

Промышленное и гражданское строительство

Теплогазоснабжение и вентиляция

Новороссийск -2020

## **Вопросы к экзамену по дисциплине «Основания и фундаменты»**

1. Понятие «Основание». Естественные и искусственные основания
2. Что понимается под оценкой результатов инженерных изысканий строительной площадки?
3. За счет чего возникает неоднородность грунта, являющаяся причиной неравномерной деформации основания .  
Перечислите основные показатели совместной деформации основания и сооружения.
4. Перечислите виды деформаций основания, вызываемых различными причинами.  
Перечислите основные показатели совместной деформации основания и сооружения.
5. Перечислите формы деформаций и смещений сооружения при неравномерных деформациях основания
6. Перечислите причины неравномерных деформаций основания, возникающих в период эксплуатации сооружения.
7. Что такое крен и кручение сооружения при неравномерных деформациях основания
8. Основные положения расчета оснований по предельным состояниям
9. Что обеспечивается расчетом по первому предельному состоянию основания.  
Перечислите случаи обязательного расчета оснований по 1 предельному состоянию
10. Расчет основания фундаментов по 2 предельному состоянию.
11. Какие нагрузки относятся к постоянным при расчете оснований по предельным состояниям. Какой фундамент считается центрально нагруженным, внецентренно нагруженным.
12. Понятие «Фундамент».Что такое обрез фундамента? Что такое подошва фундамента
13. Абсолютная осадка основания отдельного фундамента и относительная неравномерность осадок основания
14. Последовательность проектирования оснований и фундаментов
15. Основные сведения о типах фундаментов мелкого заложения. Перечислите типы фундаментов мелкого заложения, классифицируемые по форме.
16. Ленточные фундаменты. Перечислите основные элементы ленточного фундамента
17. Какими факторами руководствуются при назначении глубины заложения фундаментов. Формула учета климатологических воздействий при выборе глубины заложения. В каких грунтах глубина заложения фундаментов не зависит от климатологических факторов.
18. Определение размеров подошвы центрально нагруженных фундаментов.
19. Условие проверки давления на слабый подстилающий слой грунта под подошвой фундамента
20. Общая классификация свай по различным признакам (по характеру статической работы, по способу возведения, по характеру размещения свай). Что такое свая- стойка и висячая свая (поясните расчетными схемами)
21. Классификация забивных свай.
22. Классификация набивных свай. Способы устройства
23. Основные понятия о свайных фундаментах (свай, ростверки, расположение свай в плане).
24. Понятие о ростверке. Низкий и высокий ростверки. Особенности применения
25. Расчет несущей способности свай – стойки на действия вертикальной нагрузки
26. Причины, вызывающие негативные силы трения на боковой поверхности сваи. Расчет несущей способности свай по грунту.
27. Определение несущей способности свай на вертикальные и горизонтальные нагрузки
28. Что такое условный фундамент и каковы его размеры при расчете по деформациям.
29. Методика определения осадки свайного фундамента от действия вертикальной нагрузки
30. Сведения о вечномерзлых грунтах. Формы их залегания, районы распространения.

31. Принципы использования вечномерзлых грунтов в качестве основания. Общие сведения о мероприятиях по сохранению вечномерзлых грунтов в мерзлом состоянии
32. Устройство холодных подполий для сохранения вечномерзлых грунтов в мерзлом состоянии.
33. Понятие о силах пучения. Мероприятия по снижению влияния сил морозного пучения грунтов на фундаменты.
34. Мероприятия по реконструкции оснований и сооружений.

Ст.преп. Рыбникова И.А.

МИНОБРНАУКИ РОССИИ  
ФИЛИАЛ ФЕДЕРАЛЬНОГО ГОСУДАРСТВЕННОГО БЮДЖЕТНОГО  
ОБРАЗОВАТЕЛЬНОГО УЧРЕЖДЕНИЯ ВЫСШЕГО ОБРАЗОВАНИЯ  
«БЕЛГОРОДСКИЙ ГОСУДАРСТВЕННЫЙ  
ТЕХНОЛОГИЧЕСКИЙ УНИВЕРСИТЕТ им. В.Г.ШУХОВА» в г.НОВОРОССИЙСКЕ  
(НФ БГТУ им. В.Г.Шухова)

Кафедра: Технических дисциплин

**Методические указания к курсовой работе**  
**по дисциплине**  
**Основания и фундаменты**

направление подготовки:  
**08.03.01 – Строительство**

профиль подготовки:

**Промышленное и гражданское строительство**

Новороссийск -2020

## ОГЛАВЛЕНИЕ

1. Содержание и оформление проекта.....	4
2. Основные буквенные обозначения.....	6
3. Последовательность выполнения пояснительной записки.....	. 8
3.1. Анализ исходных данных по надфундаментной конструкции.....	. 8
3.2. Анализ инженерно-геологических и гидрогеологических условий строительства.....	. 10
3.3. Определение глубины заложения фундаментов (ростверков).....	11
3.4. Выбор типов оснований и фундаментов на базе сравнения вариантов.....	.18
3.4.1. Определение предварительных размеров подошвы фундамента мелкого заложения.....	.19
3.4.2. Определение предварительных размеров фундаментов глубокого заложения.....	.23
3.5. Конструирование фундаментов, защита помещений от грунтовых вод и сырости.....	.28
3.6. Расчет оснований по предельным состояниям.....	.31
3.6.1. Расчет осадок методом послойного суммирования (вторая группа предельных состояний).....	.31
3.6.1.1. Последовательность расчета осадок свайного фундамента.....	.35
3.6.2. Расчет осадок основания методом линейно-деформируемого слоя конечной толщины (вторая группа предельных состояний).....	....36
3.6.3. Расчет основания по несущей способности (первая группа предельных состояний).....	....37
4. Библиографический список.....	37
Приложение 1. Маркировочная схема фундаментов и фундаментных балок.....	.38
Приложение 2. Маркировочная схема ростверка.....	.39
Приложение А1. Варианты заданий.....	.40
Приложения А2...А11. Варианты объектов.....	..41
Приложения А12...А21. Варианты строительных площадок.....	....51
Приложения Б1...Б11. Основные понятия и определения. Примеры. Расчетные характеристики грунтов.....	....61
Приложение Б12. Условные графические обозначения грунтов по ГОСТ 21.303-96.....	.81
Приложения В1...В6. Предельные деформации. Характеристики сборных конструкций.....	82
Приложения П и Г2. Данные для расчета глубины заложения фундаментов в зависимости от промерзания.....	....87
Приложения Д1...Д4. Данные для расчета осадок фундамента.....	....89
Приложения Е1... Е4. Данные для расчета свайных фундаментов.....	....92

## **1. СОДЕРЖАНИЕ И ОФОРМЛЕНИЕ ПРОЕКТА**

Проектирование фундаментов обычно состоит из двух этапов. Первый - включает выбор типов оснований и фундаментов, определение глубины заложения и основных габаритных размеров (исходя из расчетов оснований по предельным состояниям). Второй этап - расчет и конструирование фундамента как элемента сооружения (по материалу фундамента). Данное пособие рассматривает выполнение только первого этапа, так как конструирование фундамента и расчет его по материалу рассматривается в курсовых проектах по каменным, бетонным, металлическим и деревянным конструкциям.

Курсовой проект состоит из расчетно-пояснительной записки и графической части. Расчетно-пояснительная записка включает следующие разделы.

1. Анализ исходных данных по надфундаментной конструкции.
2. Анализ инженерно-геологических и гидрогеологических условий площадки строительства.
3. Определение глубины заложения фундаментов (ростверков).
4. Выбор типов оснований и фундаментов на основании сравнения вариантов.
5. Конструирование фундаментов. Защита помещений от грунтовых вод и сырости.
6. Расчет оснований по предельным состояниям.
7. Заключение по проекту.
8. Использованная литература (библиографический список).

В пояснительной записке приводят все необходимые обоснования принятых решений и расчеты. Текстовые пояснения должны быть минимальными. Расчеты оформлять в основном в табличном виде.

Рисунки выполняют так же, как и в технической литературе с обязательным соблюдением масштаба. Под рисунком пишут слово «Рис.», указывают его номер и название. При оформлении таблиц вверху справа пишут слово «Таблица» и указывают ее номер, ниже - ее название. Примечания помещают ниже таблицы. На все таблицы и рисунки должна быть ссылка в тексте.

Пояснительная записка должна быть написана чернилами (пастой) или компьютером (из других методов) на стандартной бумаге формата 210x297 мм. В начале записи помещают оглавление, в конце - список использованной литературы с обязательными ссылками на нее в тексте. Все страницы, включая рисунки, должны быть пронумерованы.

Объем записи - 25...30 страниц.

Графическая часть проекта включает:

- а) схематический поперечный разрез здания совместно с основанием в пределах границ сжимаемой толщи;
- б) сечения и планы фундаментов, принятых для сравнения вариантов;
- в) маркировочную схему (план фундаментов) с размерами и привязкой к осям (масштаб 1:100). Если в проекте после сравнения вариантов принят свайный фундамент, то вычерчивают план ростверков и свайного поля;

г) сечения фундаментов, принятые после сравнения вариантов с проработкой на уровне рабочих чертежей с указанием деталей устройства гидроизоляции (масштаб 1:50);

д) спецификацию фундаментов;

е) примечания о принятых материалах и их марках, подготовке под фундаменты, особенностях производства работ и др.

Чертеж выполняют в карандаше на одном листе ватмана формата А1 (576x841 мм) с обязательным соблюдением требований «Единой системы конструкторской документации» (ЕСКД). Размеры проставляют в миллиметрах.

Рекомендуется до выполнения чертежа наметить сечения, характерные узлы, выбрать масштабы, обдумать и прикинуть размещение материала на листе. Полезно делать предварительные эскизы, тогда чертеж будет выполнен чище и быстрее. Следует использовать типовые элементы и конструкции (подушки фундаментов, фундаментные блоки, сваи и т.д.). План фундаментов (ростверков) вычерчивают полностью, без разрывов. Иногда можно выполнять часть фундаментов, используя симметрию плана. Масштаб плана свай может быть уменьшен. Длинная сторона плана должна идти параллельно кромке чертежа.

Для выполнения проекта каждый студент получает индивидуальное задание, которое включает:

- 1) название города и области, где намечено строительство;
- 2) схему сооружения или здания с основными размерами и таблицу усилий на уровне верхних обрезов фундаментов;
- 3) данные инженерно-геологических и гидрогеологических условий площадки строительства - план участка (горизонтали, план скважины), геологические колонки или разрезы, основные показатели физико-механических свойств грунтов, время выполнения инженерных изысканий.

Конечной задачей проектирования является разработка фундаментов (а в необходимых случаях и оснований) для двух несущих элементов здания.

Конкретные участки элементов зданий, для которых следует запроектировать фундаменты (например, наружная и внутренняя стены, наружная стена и колонна и т. д.), отмечаются на плане первого этажа.

По двум рассчитанным и запроектированным фундаментам принять размеры всех остальных фундаментов здания.

## **2. ОСНОВНЫЕ БУКВЕННЫЕ ОБОЗНАЧЕНИЯ**

### **Коэффициенты надежности**

$\gamma_g$  - по грунту;

$\gamma_c$  - коэффициент условий работы;

$\gamma_{CR}; \gamma_{ef}$  - коэффициенты условий работы грунта под нижним концом и по боковой поверхности сваи.

### **Характеристики грунтов**

$\rho_s$  - плотность частиц,  $\text{г}/\text{см}^3, \text{т}/\text{м}^3$ ;

$\rho$  - плотность,  $\text{г}/\text{см}^3, \text{т}/\text{м}^3$ ;

$\rho_d$  - плотность в сухом состоянии,  $\text{г}/\text{см}^3, \text{т}/\text{м}^3$ ;

$\rho_{bf}$  - плотность обратной засыпки,  $\text{г}/\text{см}^3, \text{т}/\text{м}^3$ ;

$e$  - коэффициент пористости;

$W$  - влажность природная;

$W_p$  - влажность на границе пластичности (раскатывания);

$W_L$  - влажность на границе текучести;

$S_r$  - степень влажности;

$J_L$  - показатель текучести;

$\gamma$  - удельный вес,  $\text{kH}/\text{м}^3$ ;

$\gamma_{sb}$  — удельный вес с учетом взвешивающего действия воды,  $\text{kH}/\text{м}^3$ ;

$c$  - удельное сцепление, кПа;

$\varphi$  - угол внутреннего трения, град.;

$E$  - модуль деформации, кПа.

### **Нагрузки, напряжения, сопротивления**

$F$  - сила, расчетное значение силы, кН;

$F_v; F_h$  - вертикальная и горизонтальная составляющие силы, действующей на верхний обрез фундамента, кН;

$N$  - сила нормальная к подошве фундамента (действие фундамента на основание);

$F_{sa}; F_r$  - силы действующие на плоскости скольжения соответственно сдвигающие и удерживающие (активные и реактивные), кН;

$M_x; M_y$  - моменты действующие вдоль главных осей подошвы фундамента,  $\text{kH}\cdot\text{м}$ ;

$G_f; G_{gr}$  - собственный вес фундамента и грунта на обрезах фундамента, кН;

$p$  - среднее давление под подошвой фундамента, кПа;

$\sigma_z$  - вертикальное нормальное напряжение, кПа;

$\sigma_{zg}$  - вертикальное напряжение от собственного веса грунта (природное), кПа;

$\sigma_{zp}$  - дополнительное к природному вертикальное напряжение от внешней нагрузки, кПа;

$R$  - расчетное сопротивление грунта основания, кПа;

$R_0$  - условное расчетное сопротивление грунта (для предварительного назначения размеров фундамента), кПа;

$f_i$  - расчетное сопротивление слоя грунта на боковой поверхности свай, кПа;

$F_d$  - несущая способность свай, кН.

### Деформации оснований и сооружений

$s$  - осадка основания, см;

$\bar{s}$  - средняя осадка основания, см;

$i$  - крен фундамента (сооружения);

$s_u$  — предельное значение деформации основания, см.

### Геометрические характеристики

$b$  - ширина подошвы фундамента, м;

$B$  - ширина подвала (ширина подошвы условного свайного фундамента), м;

$(L)$  - длина подошвы фундамента (длина подошвы свайного фундамента), м;

$l(A)$  - площадь подошвы фундамента (площадь поперечного сечения свайного фундамента),  $m^2$ ;

$n$  - наружный диаметр поперечного сечения свай, м;

$W_{xi}$   $W_{yi}$  - моменты сопротивления площади подошвы фундамента вдоль главных осей,  $m^3$ ;

$d$ ;  $d_n$ ;  $d_i$  - глубина заложения фундамента соответственно от уровня планировки, от поверхности природного рельефа и приведенная от пола подвала, м;

$d_b$  - глубина подвала от уровня планировки, м;

$d_f$ ;  $d_{fn}$  - глубина сезонного промерзания грунта соответственно расчетная и нормативная, м;

$d_w$  - глубина расположения уровня подземных вод от отметки планировки, м;

$h$  - толщина слоя грунта, м;

$h_i$  — толщина слоя грунта контактируемого с боковой поверхностью свай, м;

$H_c$  - глубина сжимаемой толщи, м;

$H$  - толщина линейно-деформируемого слоя, м;

$z$  - глубина (расстояние) от подошвы фундамента, м;

$DL$  - отметка планировки, м;

$NL$  - отметка поверхности природного рельефа, м;

$FL$  — отметка подошвы фундамента, м;

$B.C$  - нижняя граница сжимаемой толщи, м;

$WL$  - уровень подземных вод, м;

$n$  - количество свай в ростверке, шт.;

$x_i$  - расстояние от главной оси ростверка до оси каждой сваи, м;

$x$  - расстояние от главной оси до оси рассматриваемой сваи, м;

$e_i$  — эксцентриситет приложения равнодействующей к площади подошвы фундамента;

$e_\phi$  - фактический эксцентриситет - расстояние в плоскости подошвы фундамента между центрами колонны (стены) и подошвы фундамента, м.

*Примечание.* При выполнении курсового проекта расшифровку этих буквенных обозначений в тексте пояснительной записки можно не делать.

### 3. ПОСЛЕДОВАТЕЛЬНОСТЬ ВЫПОЛНЕНИЯ ПОЯСНИТЕЛЬНОЙ ЗАПИСКИ

Прежде, чем приступить к выполнению курсового проекта, студент должен детально изучить задание проекта.

Следует иметь в виду, что проектирование и устройство оснований и фундаментов является сложной комплексной задачей, решение которой требует рассмотрения многих факторов, в частности, инженерно-геологических условий строительной площадки, физических и механических характеристик слоев грунта, данных о возводимом сооружении и предполагаемых способах строительных работ при возведении фундаментов и т.д.

#### 3.1. Анализ исходных данных по надфундаментной конструкции

При анализе исходных данных студент должен знать целевое назначение сооружения, его этажность, форму в плане, глубину подвального помещения, конструктивные особенности стен, промежуточных опор, перекрытий, чувствительность к неравномерным осадкам.

Наименование и конструктивные особенности здания (сооружения) описывают на основании знаний, полученных студентом при изучении соответствующих дисциплин в зависимости от материала надфундаментной конструкции с учетом СНиП 2.02.01-83\*. Предварительно необходимо выполнить в пояснительной записке чертеж конструктивной схемы здания (рис. 1).

При анализе исходных данных должен быть решен вопрос о величинах предельных деформаций  $s_u$ ,  $(\Delta s/L)_u$ ,  $i_u$ ,  $s_{max}$ ,  $s_{max,u}$  для каждого отсека (блока) здания согласно СНиП 2.02.01-83\* (приложение В1). Эти данные являются основой для расчета оснований и фундаментов, и в заключении по проекту (раздел 7) необходимо сравнить их расчетные значения с предельным.

Расчетные значения усилий в нижних сечениях колонн или стен приводят в исходных данных на проектирование (табл. 1).

Таблица 1  
Усилие на верхних обрезах фундаментов (основное сочетание нагрузок)

Номер фундамента	I сочетание			II сочетание		
	$F_{v,II}$ , кН	$F_{h,II}$ , кН	$M_{x,II}$ , кН·м	$F_{v,II}$ , кН	$F_{h,II}$ , кН	$M_{x,II}$ , кН·м
4	2052	16	71	2300	21,6	37

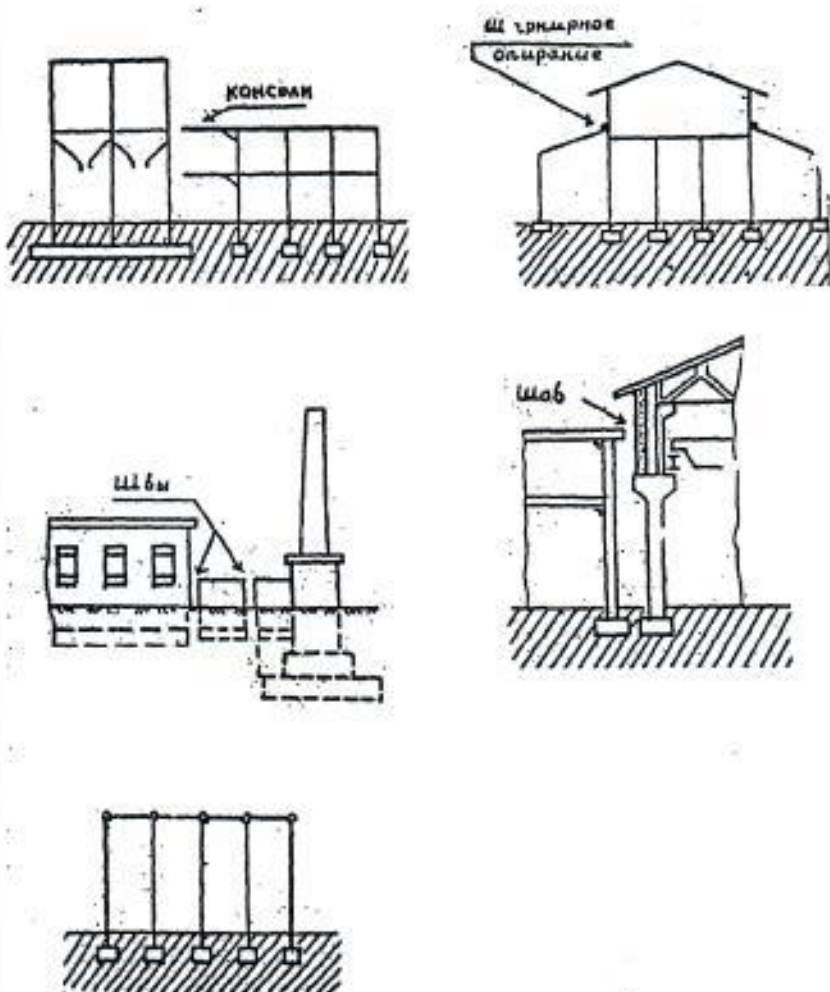


Рис. 1. Конструктивные схемы зданий

Из двух сочетаний в табл. 1 в качестве расчетного выбирают комбинацию усилий с максимальной силой, т. е.

$$F_{v,H} = 2300 \text{ эf}, F_{h,H} = 21.6 \text{ эf}, M_{x,H} = 37 \text{ эf} \cdot i$$

Расчетные усилия  $F_{v,I}, F_{h,I}, M_{x,I}$  разрешается получать умножением соответствующих величин  $F_{v,H}, F_{h,H}, M_{x,H}$  на усредненный коэффициент надежности по нагрузке (коэффициент перегрузки), равный 1,2. Усилия на отметке подошвы фундамента ( $N_H$ ) находят позже (после определения предварительных размеров фундамента).

### 3.2. Анализ инженерно-геологических и гидрогеологических условий площадки строительства

Прежде всего, необходимо "выполнить привязку здания или сооружения в плане и по высоте (рис. 2) на основании знаний, полученных студентом в курсе архитектуры. На плане показывают направление геологического разреза.

Геологический разрез выполняют в масштабах: вертикальном (1:100), горизонтальном (1:500).

На разрезе приводят следующие данные (рис. 3):

- номера слоев (сверху вниз);
- возраст и генезис (происхождение грунтов);

- в) относительные отметки подошвы каждого слоя (от устья скважины);
- г) уровень грунтовых вод (пунктирной линией с точкой), абсолютные отметки уровня (справа от скважины);
- д) места отбора образцов грунтов с указанием номера (прямоугольником, справа от оси буровых скважин);
- е) контур подземной части здания с указанием абсолютных отметок чистого пола первого этажа, подвала, подошвы фундаментов мелкого заложения и ростверков, нижних концов свай;
- ж) вертикальные оси рассчитываемых фундаментов; и) отметки планировки.

Чтобы наглядно представить особенности каждого слоя грунта, справа от геологического разреза строится эпюра табличных значений  $R_o$  по вертикали вдоль оси одного из заданных фундаментов.

После выполнения привязки здания в плане и по высоте и построения геологического разреза составляют сводную таблицу характеристик грунтов (табл. 2) на основании табл. 1 и геологического разреза. Для этого нужно рассортировать образцы грунта по номерам слоев, используя номера скважин, глубину отбора образцов. Из слоев грунта, представленных черноземом или его примесью, культурным слоем, образцы не отбирают, так как они не могут служить основанием. Для этих слоев определяют только величину удельного веса, необходимую для расчетов транспортных расходов.

Далее определяют производные и индексационные характеристики и наименование грунтов по ГОСТ 25100-82. Механические характеристики фунтов определяют по СНиП 2.02.01-83\* (приложения Б1...Б3).

Условное расчетное сопротивление фунтов основания  $R_o$  определяют согласно СНиП 2.02.01-83\* (приложения Б4 и Б5).

При анализе инженерно-геологических условий площадки строительства необходимо в пояснительной записке осветить следующие вопросы:

- 1) характеристика рельефа;
- 2) описание фунтов (послойно сверху вниз), полное наименование, возраст, генезис фунтов, их мощность;
- 3) условия залегания. Отметить согласное и несогласное залегание, уклоны кровли слоев;
- 4) наличие водоносных горизонтов и их описание (наименование, к каким слоям приурочены, глубину залегания и п. т.). Особое внимание обратить на время (сезон) проведения инженерных изысканий и соответственно дать возможный прогноз колебания уровня фунтовых вод и выявление верховодки.
- 5) характеристика важнейших особенностей фунтов в отношении их прочности и деформативности;
- 6) отметить возможное влияние сооружения на активизацию существующих и возникновение новых геологических процессов (оползни, карст, просадки, суффозия, подмыти склонов, оврагообразование и др.).

### 3.3. Определение глубины заложения фундаментов (ростверков)

Глубина заложения фундаментов исчисляется от отметки планировки до подошвы фундамента. Абсолютную отметку подошвы фундамента определяют, исходя из 6 условий СНиП 2.02.01-83\* в следующей последовательности.

**3.3.1. По назначению и конструктивным особенностям проектируемого сооружения (наличие подвала, приямков, каналов, сопряжение колонны или стены с фундаментом).**

Для определения глубины заложения фундаментов, необходимо выполнить рис. 4.

В случае применения железобетонных колонн верхний обрез фундамента проектируют на 150 мм ниже отметки чистого пола первого этажа или подвала (см. рис. 4, а). Глубину заделки сборных колонн в стакане фундамента  $H_3$  принимают равной:

а) для сборных колонн сплошного сечения

$H_3 = (1 \dots 1,5)h_K$ , где  $h_K$  - больший размер сечения колонны\*.

\* Сечение колонн студент принимает самостоятельно в зависимости от усилий в них на уровне верхнего обреза фундамента.

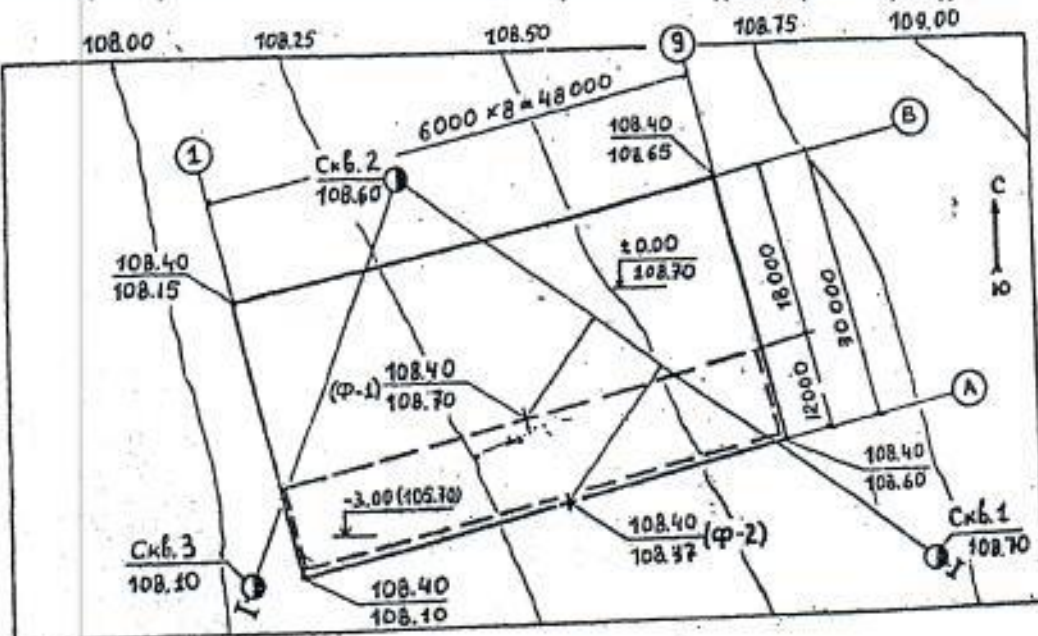


Рис. 2. План строительной площадки с призывкой объекта (здания) М 1:500.

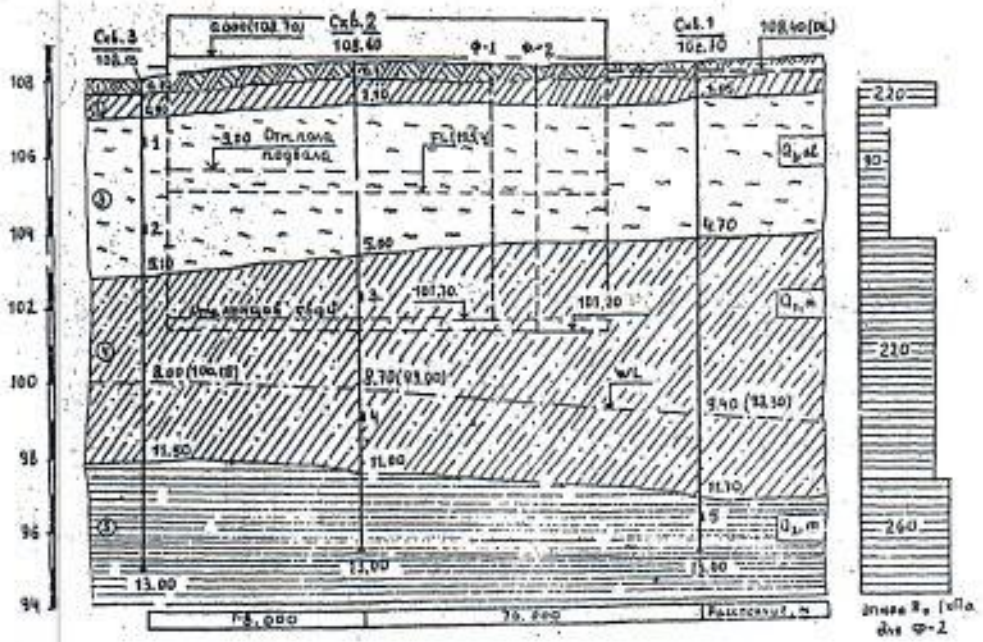


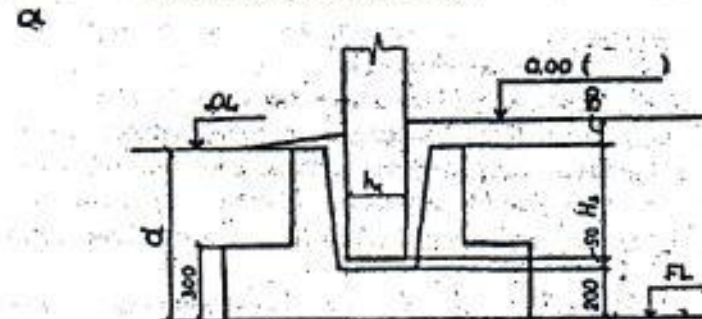
Рис. 3. Геологический разрез: М<sub>1</sub> 1:100; М<sub>2</sub> 1:800.

Таблица 2

Сводная таблица характеристик грунтов (пример)

№ п/п законе-	№ образца группы	№ сплошной	Глубина от поверхности земли	Наименование грунта (по ГОСТ 25100- 82)	Физические								Механические			R <sub>u</sub> кН			
					Основные		Дополнительные		Производственные		Индикативные		Дефор- мацион- ные изл.	Прочностные					
					$\rho_f$ $\text{кН/м}^3$	$Y_s$ $\text{кН/м}^3$	$W$	$W_L$	$W_p$	$\rho_d$ $\text{кН/м}^3$	$e$	$T_a$ $\text{кН/м}^2$	$I_p$	$I_L$	$S_c$	E, кПа	$\varphi_0$ , град	$C_u$ , кПа	
1	1	1	0,3	Растительный слой	14,3	-	-	-	-	-	-	-	-	-	-	-	-	-	
2	2	1	0,8	Из суглинистый	2,53	12,1	0,48	0,36	0,18	1,16	1,27	7,2	0,18	1,67	1,00	6000	8	10	80
3	3	2	2,3	Суглиник полутвердый	2,68	18,9	0,20	0,31	0,18	1,57	0,71	-	0,13	0,11	0,75	19000	17	50	340
4	4	2	4,6	Песок мелкий средней плотности, жирный	2,63	18,4	0,16	-	-	1,58	0,68	9,8	-	-	0,70	25000	31*	-	200
5	5	3	6,2	Глина твердая	2,74	19,5	0,21	0,49	0,24	1,61	0,87	-	0,25	<0	0,77	17400*	14*	35*	284*
6	6	3	8,1	Супесь твердая	2,65	18,8	0,14	0,25	0,21	1,65	0,50	10,3	0,04	<0	0,62	20000*	11*	20*	275*

\* значения приведены ориентировочно.



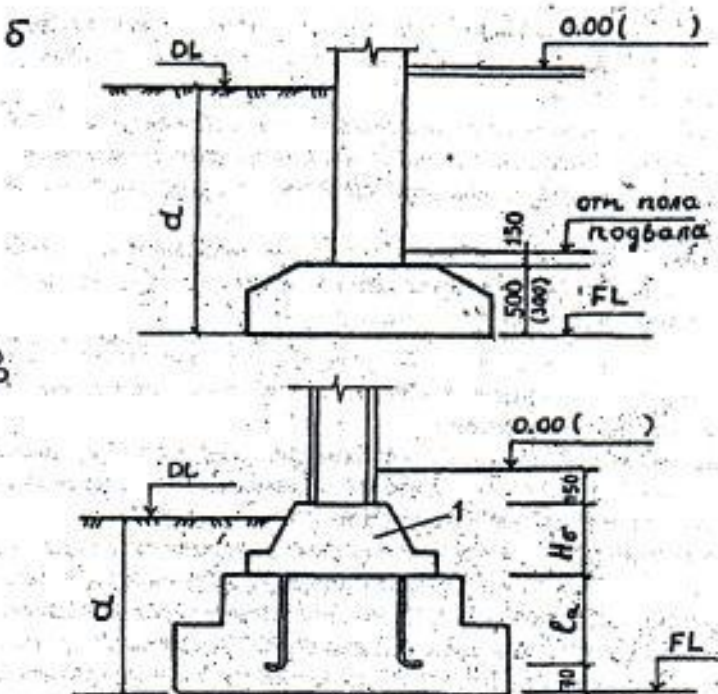


Рис. 4. Определение глубины заложения фундаментов с учетом конструктивных особенностей здания: а — фундамент под железобетонную колонну; б - ленточный фундамент под стену; в — фундамент под металлическую колонну; 1 - база колонны.

б) для двухветвевых колонн

$$H_3 \geq 0.5 + 0.33h_H \text{ или } H_3 \geq 0.5b_k$$

где  $h_H$  - полная высота сечения двухветвевой колонны на уровне обреза фундамента, м;  $b_k$  - ширина двухветвевой колонны. Толщина дна стакана зависит от усилий в колонне и должна быть не менее 200 мм.

Базу (башмак) металлических колонн обычно устанавливают на 150 мм ниже отметки чистого пола первого этажа (рис. 4, б), которую потом обетонируют для защиты от коррозии. Высоту фундамента принимают равной глубине заделки анкерных болтов ( $l_a$ ) плюс толщина защитного слоя бетона (70 мм).

### *3.3.2. По глубине заложения фундаментов примыкающих (существующих) сооружений.*

Если строительная площадка свободна от застройки, то в пояснительной записке отмечают, что ограничений нет.

Если проектируемый фундамент примыкает к существующему зданию, то подошва фундамента его должна быть на одной отметке с подошвой существующего здания.

### *3.3.3. По нагрузкам и воздействиям на основания и фундаменты и инженерно-геологическим условиям площадки строительства.*

Прежде всего, нужно выбрать слой (в котором расположена подошва фундамента).

Несущим слоем не могут быть так называемые, слабые грунты (например, илы, торф, заторфованные грунты), растительный слой и некоторые виды культурных отложений.

Следуя вдоль вертикальной оси проектируемого фундамента, на геологическом разрезе (см. рис. 3) определяют абсолютную отметку кровли несущего слоя и, приняв величину заглубления, определяют абсолютную отметку подошвы фундамента.

Выбирая несущий слой, необходимо совместно учитывать величину усилий на верхнем обрезе фундамента и физико-механические характеристики каждого слоя грунтов.

Предварительно площадь подошвы фундамента можно определить по формуле:  $A = F_{v,II} / R_0$  и проанализировать полученную величину с учетом аналогичных факторов соседних колонн или стен. Минимальное заглубление фундаментов в несущий слой должно быть 10...50 см; с другой стороны, не следует оставлять под подошвой фундамента слой грунта малой толщины, если строительные свойства несущего слоя значительно хуже свойств подстилающего слоя.

### ***3.3.4. По существующему и проектируемому рельефу застраиваемой территории.***

Если существующий рельеф территории спокойный (небольшое количество отметок, отсутствие оврагов, балок), то он не накладывает ограничений. При резком изменении рельефа (например, наличие крутого склона) сооружение разделяют осадочными швами на отдельные отсеки (секции).

Тогда, с учетом рельефа, каждый отсек имеет свою отметку подошвы фундамента. В принципе, возможно изменение отметок подошвы и в пределах одного отсека.

### ***3.3.5. По глубине сезонного промерзания грунтов.***

Глубину заложения фундаментов по условиям недопущения морозного пучения грунтов под ними назначают согласно СНиП 2.02.01-83\* в зависимости от расчетной глубины сезонного промерзания грунта  $d_f$ , определяемой по формуле:

$$d_f = k_h d_{f_n}$$

где  $d_{f_n}$ - нормативная глубина промерзания, определяемая в курсовом проекте по схематической карте для суглинков и глин, а для супесей, пылеватых и мелких песков она увеличивается в 1,2 раза;  $k_h$ - коэффициент, учитывающий влияние теплового режима сооружения, применяется;

для наружных фундаментов отапливаемых сооружений по СНиП 2.02.83 (приложение Г1 и Г2);

для наружных и внутренних фундаментов не отапливаемых сооружений  $k_h=1,1$  (кроме районов с отрицательной среднегодовой температурой).

Глубина заложения внутренних фундаментов отапливаемых зданий не зависит от глубины промерзания.

Исключение промерзания грунтов в период строительства обеспечивается не глубиной заложения фундаментов, а теплозащитными мероприятиями.

### ***3.3.6. По гидрогеологическим условиям в период строительства и эксплуатации сооружения.***

Грунтовые воды не оказывают непосредственного влияния на глубину заложения фундаментов. Рекомендуется закладывать фундаменты выше уровня грунтовых вод для исключения необходимости применения водоотлива или водопонижения. При заложении фундаментов ниже уровня грунтовых вод предусматривают соответствующую гидроизоляцию и методы производства работ, сохраняющие структуру грунта. При проектировании оснований учитывают возможность изменения гидрогеологических условий площадки в процессе строительства и эксплуатации сооружения.

Итак, после рассмотрения отдельно каждого условия, определяющего глубину заложения фундамента, в пояснительной записке указывают абсолютную отметку подошвы или отмечают, что ограничений нет.

Окончательно принимают минимальное значение величины абсолютной отметки подошвы фундаментов и вычисляют глубину заложения:

$$d = DL - FL.$$

Отметку подошвы ростверка назначают по этим же условиям (за исключением п. 3.3.3).

По конструктивным условиям высота ростверка равна ( $ho + 0,25$ ) м, но не менее 30 см, где  $ho$  - высота заделки в него свай, которую принимают не менее 5 см.

В заключении раздела необходимо проанализировать параметры будущего котлована. Если абсолютные отметки подошв всех фундаментов сооружения отличаются друг от друга незначительно, то возможно расположить все фундаменты с единой абсолютной отметкой. Это сократит затраты на земляные работы.

В курсовом проекте глубину заложения определяют для каждого заданного для расчета фундамента.

### **3.4. Выбор типов оснований и фундаментов на базе сравнения вариантов**

Выбор типов оснований и фундаментов производят на основе совместного анализа исходных данных по инженерно-геологическим и гидрогеологическим условиям площадки строительства и надфундаментных конструкций.

Грунты в большинстве случаев используют в естественном состоянии. Но если верхняя относительно небольшая толща сложена слабыми грунтами, не способными в естественном состоянии воспринимать нагрузки от фундаментов, то предусматривают специальные мероприятия (уплотнение; закрепление или замена другими грунтами, обладающими необходимыми свойствами). Если толща слабых грунтов велика, то мероприятия по их искусственному улучшению или их замена могут отказаться слишком дорогостоящими. Экономически более целесообразным может оказаться метод фундирования, при котором нагрузку передают на плотные слои, залегающие на значительной глубине под толщей слабых грунтов. Для этой цели устраивают свайные фундаменты (например, сваи, сваи-оболочки, сваи-столбы).

Студенту необходимо принять решение об использовании одного из двух возможных типов основания - естественного или искусственно улучшенного, а также рассмотреть 2 варианта фундаментов (мелкого и глубокого заложения).

К фундаментам мелкого заложения относятся отдельные (столбчатые), ленточные и в виде сплошной железобетонной плиты.

Типы свай различают по материалу, форме поперечного и продольного сечений, способу изготовления и погружения в грунт. При этом проходка сваями глинистых грунтов твердой и полутвердой консистенции допускается в исключительных случаях. Сваи нельзя применять, когда в толще имеются валуны и другие препятствия. В этих случаях делают фундаменты, выполняемые способами стена в грунте или опускной колодец.

При выборе вариантов фундаментов рассматривают только варианты целесообразные и конкурирующие между собой.

Под одним зданием могут быть разные типы оснований или фундаментов. Например, тяжелая часть здания может опираться на свайный фундамент, а более легкая на фундаменты мелкого заложения (рис. 5).

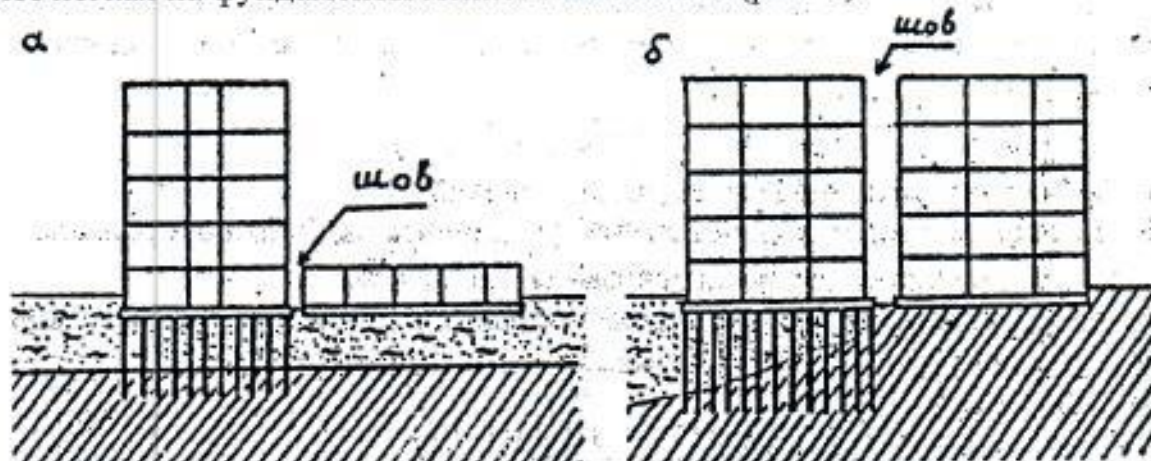


Рис. 5. Тип оснований и фундаментов: а — разные по нагрузкам фундаменты при одинаковом грунтовом основании; б — одинаковые по нагрузкам фундаменты при разных грунтовых основаниях.

### 3.4.1. Определение предварительных размеров подошвы фундаментов мелкого заложения

Размеры подошвы определяют методом последовательного приближения.

1. Вычисляют площадь подошвы  $A$  в первом приближении

$$A_1 = F_{v,p} / (R_0 - 0.85 \gamma_{\text{дав}} d)$$

2. Выбирают форму подошвы. Известно, что самая оптимальная с точки зрения ведущих осадок — круглая, но она трудоемка в использовании. Поэтому подошву фундамента принимают квадратной, и только наличие большого по величине момента вынуждает принимать ее прямоугольной ( $b_i/l_i = 0.65 \dots 0.85$ )

3. Исходя из  $A_l$ , вычисляют ширину и длину фундамента при принятом отношении  $K = b_l / l_l$ . Например, для квадратной подошвы:  $b_l = \sqrt{A_l}$ , для прямоугольной:  $A_l = K b_l^2; l = b_l / K; b_l = \sqrt{A_l / K}$ . Размеры принимают кратными 10 см.

4. Определяют расчетное сопротивление грунта основания (приложения Б10 и Б11)

$$R = \frac{\gamma_{cl} \gamma_{c2}}{K} \left[ M_r K_z b_l \gamma_H + M_q d_l \gamma_H' + (M_q - 1) d_d \gamma_H' + M_c C \right]$$

5. Вычисляют площадь подошвы во втором приближении

$$A_2 = F_{V,H} / (R - 0.85 \gamma_{add} \alpha)$$

6. Уточняют размеры подошвы  $b_2$  и  $l_2$ . На этом приближении можно остановиться, приняв  $b=b_2$ ,  $l=l_2$  и  $A=A_2$

7. Конструируют фундамент, назначая определенное количество и размеры ступеней (рис. 6), и вычисляют среднее давление под подошвой фундамента

$$P = (F_{V,H} + G_{O,H} + G_{AD,H}) / A$$

8. Проверяют выполнение следующих условий:

а) среднее давление под подошвой фундамента не должно превышать расчетного сопротивления грунта основания, т.е.  $P \leq R$ ;

б) при действии момента в одном направлении (рис. 6 а) давление под наиболее и наименее нагруженной гранью фундамента должно быть соответственно:

$$P_{max} \leq 1.2R \text{ и } P_{min} \geq 0;$$

$$P_{max} = (F_{V,H} + G_{O,H} + G_{AD,H}) / A \pm (M_{x,H} + F_{h,H} d) / W_x$$

где  $W_x = bl^2 / 6$

в) при действии момента в двух направлениях давление в угловой максимально нагруженной точке (рис. 6, б) не должно превышать  $1.5R$ , т.е  $P_{max,c} \leq 1.5R$ , т.е  $P_{min} > 0$

$$P_{max} = (F_{V,H} + G_{O,H} + G_{AD,H}) / A \pm (M_{x,H} + F_{h,H} d) / W_x \pm (M_{y,H} + F_{h,H} d) / W_y$$

Если вышеприведенные условия не выполняются, то необходимо предпринять следующее:

1) изменить соотношение размеров подошвы, т.е. придать подошве удлинение в плоскости действия наибольшего момента, но не более, чем  $b/l \leq 1/3$ ;

2) увеличить площадь подошвы на 20 % и более;

3) сместить подошву фундамента в направлении действия момента относительно неподвижной колонны, тогда величина эксцентриситета  $e_f$  равна расстоянию от центра подошвы до точки пересечения оси колонны с подошвой фундамента (рис. 7). При этом площадь подошвы остается без изменений. Значения  $P_{max}$  и  $P_{min}$  для проверки вышеприведенных условий определяют по формуле

$$P_{\min} = \frac{(F_{V,H} + G_{O,H} + G_{AD,H})}{A} \pm \left[ M_{X,H} + F_{h,H}d - (F_{V,H} + G_{O,H} + G_{AD,H})e_{\delta} \right] / W_X$$

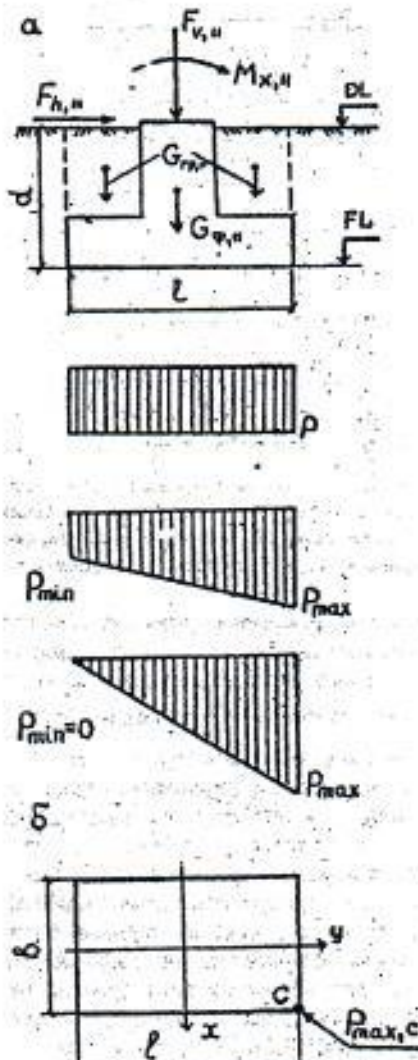


Рис. 6. Схема действия сил, возможные эпюры контактных давлений (а) и план подошвы фундамента (б).

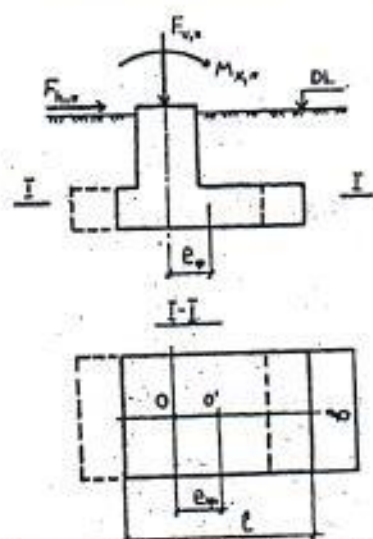


Рис. 7. Схемы размещения подошвы фундамента относительно оси колонны при центральном нагружении (пунктирная линия); при действии значительных по величине моментов (сплошная линия); 0 — точка пересечения оси колонны с подошвой фундамента; 0' — геометрический центр подошвы фундамента.

При выполнении всех условий предварительный расчет размеров подошвы фундамента мелкого заложения считается завершенным.

Ширину подошвы ленточного фундамента под стену определяют аналогично, исходя из расчетных условий  $F_{v,II}$ ,  $F_{h,II}$ ,  $M_{x,II}$  приходящихся на 1 м длины фундамента (при  $l = 1$  м).

Сборные ленточные фундаменты проектируют прерывистыми.

При слабых, просадочных и набухающих грунтах, а также при наличии карстовых явлений, в сейсмических районах и на подрабатываемых территориях для снижения неравномерности деформаций здания устраивают монолитные железобетонные перекрестные ленты или плитные фундаменты под всем сооружением. Основными конструктивными типами плит являются: безбалочная плита с опиранием колонн на сборные стаканы (рис. 8, а), безбалочная плита с монолитными стаканами (рис. 8, б), ребристая плита, соединяемая с колоннами с помощью монолитных стаканов или выпусков арматуры (рис. 8, в), плита коробчатого сечения (рис. 8, г).

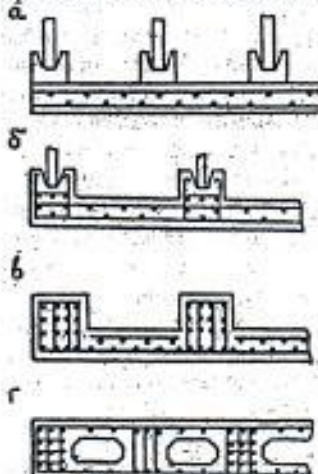


Рис. 8. Плитные фундаменты: а — со сборными стаканами; б — с монолитными стаканами; в — ребристые плиты; г — плита коробчатого сечения.

Размеры плиты в плане равны наружным габаритам каркаса (наружные поверхности стен или колонн), увеличенным на две толщины стенки стакана или отступая на 10...20 см от несущих стен. Толщина плиты определяется расчетом ее как железобетонного элемента, а в курсовом проекте принимают 40... 60 см.

### 3.4.2. Определение предварительных размеров фундаментов глубокого заложения

Рассмотрим последовательность проектирования свайного фундамента с низким ростверком при вертикальных сваях.

Отметку подошвы ростверка, которую определили в разделе 3.3, наносят на геологический разрез (см. рис. 3). Анализ инженерно-геологических условий позволяет сделать вывод о типе свай. Если в грунтовом массиве есть практически несжимаемые породы (скальные, полускальные, крупнообломочные и глинистые грунты твердой консистенции), то применяют сваи-стойки, в противном случае — висячие сваи (сваи трения).

Несущая способность висячей сваи складывается из сопротивления грунта под острием и сил трения грунта по боковой поверхности, следовательно, острие сваи нужно располагать в более прочном грунте при заглублении в него на 2...3 м. Прочность грунтов качественно характеризует величина условного расчетного сопротивления грунта  $R_0$ , (см. рис. 3), Таким образом, получают длину сваи в первом приближении.

Если в пределах длины погруженной части сваи есть слой сильно сжимаемых (слабых) грунтов (торф или ил толщиной более 30 см), то силы трения на этом участке длины сваи считают равными нулю. Силы трения грунта, расположенного выше сильно сжимаемого слоя, считают негативными (отрицательными), и они должны быть потом добавлены к нагрузке от здания, действующей на ростверк.

Выбирают вид висячей сваи: забивные или набивные разных конструкций, сваи-оболочки (диаметром более 800 мм), сваи-столбы. Например, если свая прорезает мощную толщу сильно сжимаемых грунтов, и нижний ее конец находится в плотном (прочном) грунте, то наиболее целесообразно принимать буронабивную сваю с уширением в пределах прочного грунта. В этом случае максимально используется прочность бетона сваи. Забивные и буронабивные сваи без уширения применяют при достаточно однородных по прочности слоях грунтов. Размеры забивных свай и свай-оболочек принимают по ГОСТам, а набивных - в зависимости от технических параметров оборудования.

Сопряжение свайного ростверка со сваями бывает свободно опирающимся или жестким. Свободное опирание учитывают в расчетах, как шарнирное, и конструктивно выполняют заделкой головы сваи в монолитный ростверк на 5... 10 см. Жесткое сопряжение сваи с ростверком осуществляют путем заделки головы сваи в монолитный ростверк на глубину, соответствующую длине анкеровки арматуры, либо заделкой в ростверк выпусков арматуры.

Уточнив размеры выбранной сваи (длину, поперечное сечение) и выполнив рис. 9, определяют ее несущую способность  $F_d$ .

Например, для забивных и набивных висячих свай (приложение Е1...Е4)

$$F_d = \gamma_c (\gamma_{cr} RA + U \sum \gamma_{cf} f_i h_i)$$

Вычисляют количество свай  $n$  в первом приближении

$$n = \gamma_k F_{v,n} / F_d$$

При действии на ростверк большого по величине момента и поперечной силы количество свай увеличивают до 20%.

Располагают забивные сваи в плане с соблюдением условия

$$3d < a < 6d,$$

где  $d$  - диаметр круглого, сторона квадратного или большая сторона прямоугольного сечения сваи;  $a$ - расстояние в плане между центрами свай, расположенных рядами или в шахматном порядке (рис. 10).

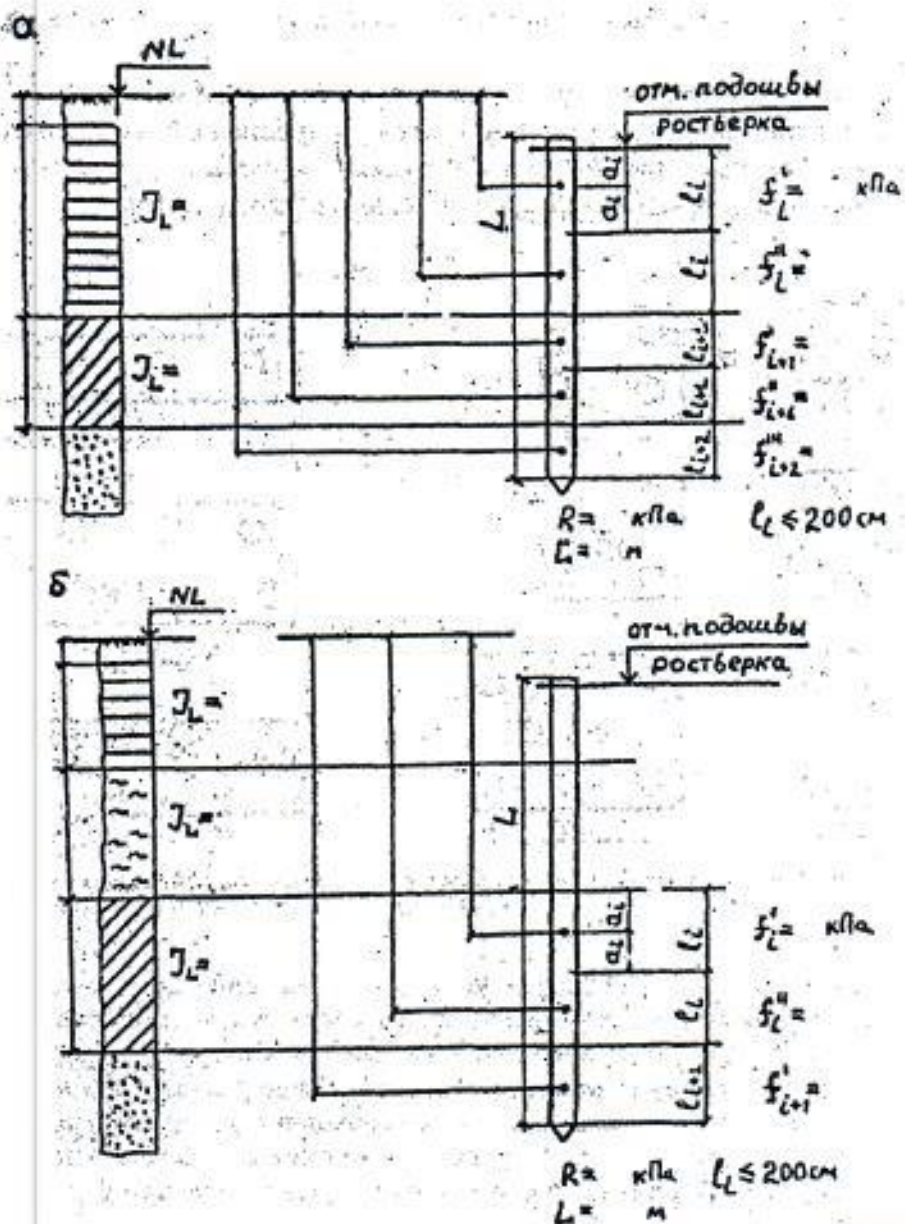


Рис. 9. Схема для определения несущей способности одиночной сваи по грунту для фундамента  $\Phi_3$ : а - без слабого слоя фунта; б - при наличии слабого слоя фунта (торф, ил).

Причем, необходимо стремиться располагать сваи на расстоянии  $3d$  и к квадратной форме ростверка, тогда ростверк будет иметь минимальные размеры в плане. И только наличие большого по величине момента и поперечной силы вынуждают принимать ростверк прямоугольной формы и увеличение расстояния между центрами свай до  $6d$  в плоскости действия момента.

Расстояние в свету между стволами буровых и набивных свай и свай-оболочек должно быть не менее 1 м, между уширениями буронабивных свай и свай-оболочек при устройстве их в сухих глинистых грунтах твердой и полутвердой консистенции - 0,5 м, а в остальных грунтах - 1 м.

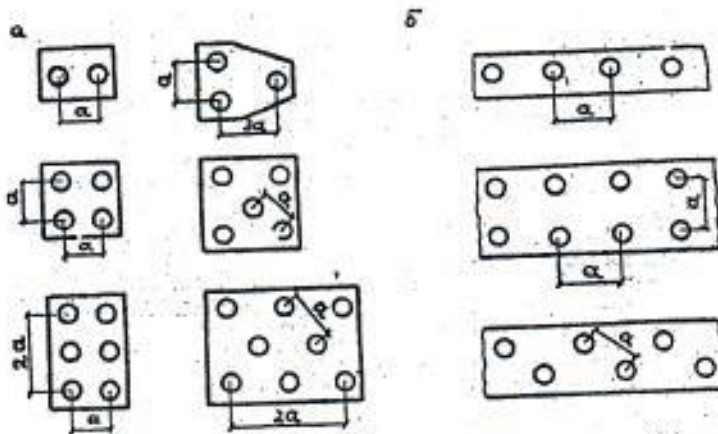


Рис. 10. Пример расположения свай в фундаменте под колонны (а) и стены (б).

При расположении свай в плане могут быть следующие варианты:

- 1) одной сваи принятых размеров много, тогда нужно уменьшить длину сваи или принять другую ее конструкцию и расчеты повторить;
- 2) под одну колонну свай много и их невозможно расположить в плане с учетом свай под соседние колонны, тогда необходимо увеличить длину свай или принять другую конструкцию, например, вместо забивных призматических свай принять буронабивные с уширенной пятой и расчеты повторить.

Определяют размеры ростверка, при этом расстояние от края ростверка до первого ряда свай принимают 5... 10 см.

Вычисляют усилия, передаваемые ростверком на сваи. Вертикальное усилие на уровне подошвы ростверка  $N_{d,I}$ , определяют по формуле

$$N_{d,I} = F_{V,I} + G_{P,I} + G_{AB,I}$$

где  $G_{p,I}$  - вес ростверка;  $G_{P,I}$  - вес грунта на обрезах ростверка.

Определяют расчетную нагрузку на максимально и минимально нагруженные сваи (крайние в кусте)  $N_I$

$$N_I = N_{d,I} / n \pm M_{x,I} y_{\max(\min)} / \sum_{i=1}^n y_i^2$$

где  $y_i$  - расстояние от центральной оси X ростверка до оси каждой сваи;  $y_{\max(\min)}$  - расстояние от оси X до оси крайних свай по обе стороны.

Проверяют условие  $N_I < F_d / y_k$ . Невыполнение этого условия может быть только при действии очень большого по величине значения  $M_{x,I}$ .

Тогда необходимо сдвинуть ростверк вместе со сваями относительно неподвижной колонны в направлении действия момента  $M_{x,I}$  т.е. задать фактический эксцентриситет  $e_f$  (аналогично случаю с фундаментами (мелкого заложения) и вычислить

$$N_{I,\max(\min)} = N_{d,I} / n \pm (M_{x,I} y_{\max(\min)} - N_{d,I} e_f) / \sum_{i=1}^n y_i^2$$

Если этот прием не даст должного результата, то предусматривают устройство наклонных свай.

Итак, после того, как определены размеры двух вариантов фундаментов (мелкого и глубокого заложения), вычисляют технические показатели для каждого из них (табл. 3).

Таблица 3

Технические показатели на I фундамент

Показатель	Для фундаментов			
	мелкого заложения		глубокого заложения	
	Ф1	Ф4	Ф1	Ф4
Общий объем бетона, м <sup>3</sup>				
Масса арматуры, кг				
Объем земляных работ, м <sup>3</sup>				

Массу арматуры принимают по содержанию ее в 1 м<sup>3</sup> конструкции (сваи - 100... 150 кг, ростверки под колонны - 70 кг, ленточные ростверки под стены и массивные фундаменты - 30.. .40 кг).

Объем земляных работ вычисляют для площади здания в плане, приходящейся на одну колонку или 1 пог. м стены.

По этим показателям с учетом особенностей производства работ, выбирают вариант для дальнейшей проработки.

### 3.5. Конструирование фундаментов. Защита помещений от грунтовых вод и сырости

Фундаменты зданий, как правило, бывают бетонными и железобетонными.

Для сборных фундаментов применяют отдельные типовые элементы, например, фундаментные плиты, стеновые блоки, подколенные части фундаментов, рядовые фундаменты под колонны, фундаменты под распорные конструкции.

Размеры верхней ступени фундамента в плане (образ) для металлической колонны принимают с учетом размещения металлического башмака для заделки анкерных болтов. Расстояние от оси анкерного болта до вертикальной грани верхней ступени фундамента принимают не менее 150 мм при диаметре болтов 50 мм и 200 мм при диаметре болтов более 50 мм.

При применении сборных унифицированных элементов фундаментов конструирование их не выполняется, но нужно указать марку элемента или фундамента и номер ГОСТа или типовую серию.

При применении монолитного фундамента выполняют опалубочный чертеж (рис.11).

Рекомендуемые высоты ступеней ( $h_1, h_2, h_3$ ) монолитного фундамента приведены в табл. 4. Размеры ступеней в плане ( $b_1, l_1$ ) принимают кратным 300 мм.

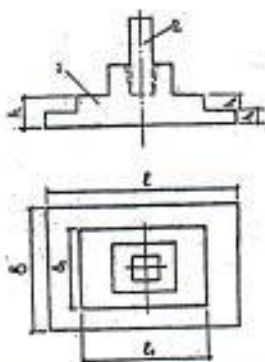


Рис. 11. Фундамент под колонну: 1 - фундамент; 2 - колонна.

Таблица 4

Рекомендуемая высота ступеней фундамента

Высота плитной части фундамента $h$ , см	Высота ступеней, см			Высота плитной части фундамента $h$ , см	Высота ступеней, см		
	$h_1$	$h_2$	$h_3$		$h_1$	$h_2$	$h_3$
30	30	-	-	90	30	30	30
45	45	-	-	105	30	30	45
60	30	30	-	120	30	45	45
75	30	45	-	150	45	45	60

Для свайных фундаментов необходимо выбрать тип заделки свай в ростверк. Конструкция заделки зависит от вида свай (рис.12). Примеры сопряжения буронабивной сваи и сваи-оболочки с колоннной даны на рис.13, 14.

Под монолитными фундаментами независимо от подстилающих грунтов (кроме скальных) предусматривают бетонную подготовку толщиной 100 мм из бетона М50. Под сборные фундаменты вместо подготовки из бетона может применяться песчаная подсыпка толщиной 100 мм.

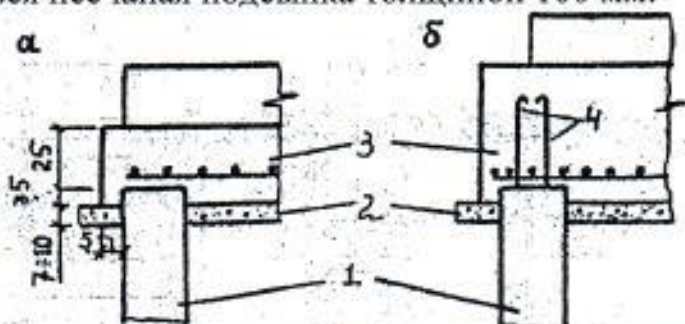


Рис. 12. Свободная (а) и жесткая (б) заделка свай в ростверк: 1 - железобетонные сваи; 2 - бетонная подготовка; 3 - монолитный ростверк; 4 - продольная арматура сваи.

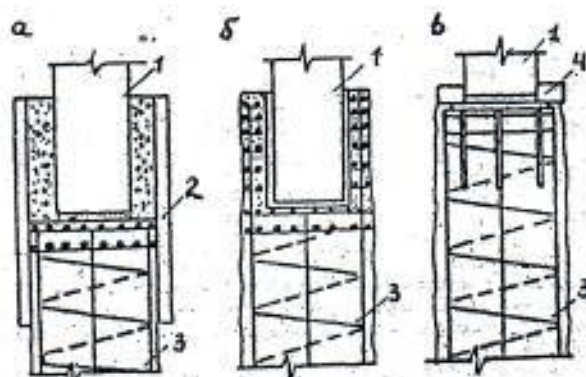


Рис. 13. Сопряжение буронабивной сваи с колонной: а — с помощью кольцевой посадки; б - устройством стакана в свае; в - сварным стыком; 1 - колонна; 2 -насадка; 3 - свая; 4 - сварной стык.

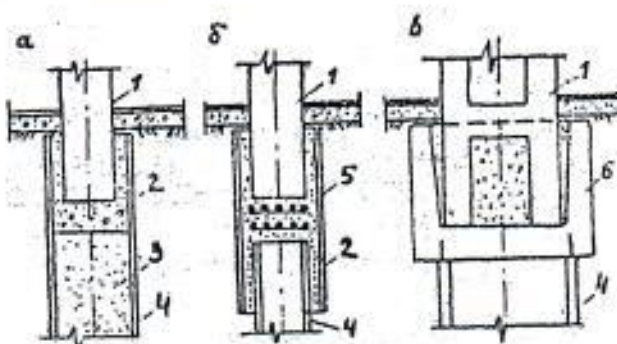


Рис. 14. Сопряжение полой круглой сваи и свай-оболочки с колонной: а -бесстаканное; б - с помощью кольцевой посадки; в - с устройством монолитного стакана; 1 - колонна; / - монолитный бетон; 3 - песок; 4 — свая; 5 - насадка; 6 -монолитный стакан.

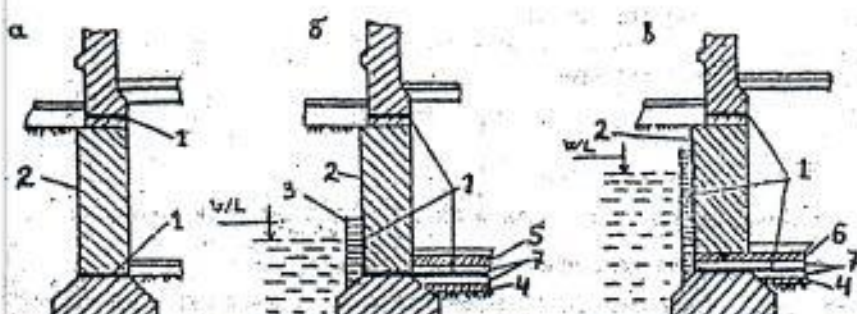


Рис. 15. Гидроизоляция подвальных помещений: а— при уровне подземных вод ниже пола подвала; б — при уровне подземных вод выше пола подвала; в - в то же, при высоком стоянии; 1 - рулонная гидроизоляция; 2.- обмазка битумом за два раза; 3 -прижимная стенка; 4 - бетонная подготовка; 5 - пригрузочный бетон; 6 - железобетонная плита; 7 — цементная стяжка.

Мероприятия по защите помещений от грунтовых вод и сырости направлены на предохранение заглубленных частей здания от сырости и затопления грунтовыми водами, от коррозии и разрушения материалов конструкций. Выбор этих мероприятий зависит от гидрогеологических условий, особенностей конструкции и назначения помещений. Некоторые примеры приведены на рис. 15.

Детальную проработку конструкций фундаментов выполняют на чертежном листе.

### 3.6. Расчет оснований по предельным состояниям

Согласно СНиП 2.02.01-83\* основания должны рассчитываться по двум группам предельных состояний: первой - по несущей способности и второй -

по деформациям. Студент должен обосновать необходимые расчеты оснований по предельным состояниям, а также метод расчета осадок основания.

### 3.6.1. Расчет осадок методом послойного суммирования (вторая группа предельных состояний).

Последовательность расчета осадки основания фундамента мелкого заложения.

1. Вычерчивают расчетную схему (рис.16).
2. Вычисляют вертикальные нормальные напряжения от собственного веса грунта

$$\sigma_{zg} = \sum_{i=1}^n \gamma_{ii} h_i$$

и строят эпюру  $\sigma_{zg}$  слева от оси z и эпюру  $0,2 \sigma_{zg}$  справа. Ниже уровня грунтовых вод необходимо учитывать взвешивающее действие воды на скелет песчаного грунта и супеси.

3. Определяют величину дополнительного (осадочного) давления на грунт под подошвой фундамента

$$P_0 = P - \sigma_{zg,o}$$

где  $P = (F_{V,H} + G_{O,H} + G_{AD,H}) / A$

4. Разбивают толщу основания на элементарные слои толщиной  $h_i$  (не обязательно равные), исходя из условия  $h_i < 0,2b$ .

Границы элементарных слоев должны совпадать с границами естественных напластований. Определяют координату подошвы элементарных слоев, причем  $z = 0$  соответствует подошве фундамента, и начинают заполнение табл. 5.

5. Вычисляют дополнительные вертикальные нормальные напряжения на границах слоев грунта

$$\sigma_{zp} = \alpha P_0$$

где  $\alpha$  - коэффициент, учитывающий уменьшение по глубине дополнительного давления (приложение Д1).

Строят эпюру  $\sigma_{zp}$ . Точка пересечения эпюр  $\sigma_{zp}$  и  $\sigma_{zg}$  соответствует нижней границе сжимаемой толщи (ВС).

6. Определяют величину средних дополнительных давлений в каждом из элементарных слоев

7. Определяют величины осадок каждого элементарного слоя

$$S_i = \sigma_{zp,i}^{cp} h_i \beta / E_i$$

где  $\beta$  - коэффициент, учитывающий отсутствие поперечного расширения при деформировании грунтов в условиях компрессии. Назначается в зависимости от коэффициента Пуассона  $V$  (табл. 6).

Таблица 6

Среднее значение коэффициента Пуассона  $V$  и коэффициента  $\beta$ 

Грунт	$v(\mu)$	$\beta = 1 - 2v^2 / (1 - v)$
Песок и супесь	0,30	0,74
Суглинок	0,35	0,62
Глина	0,42	0,40

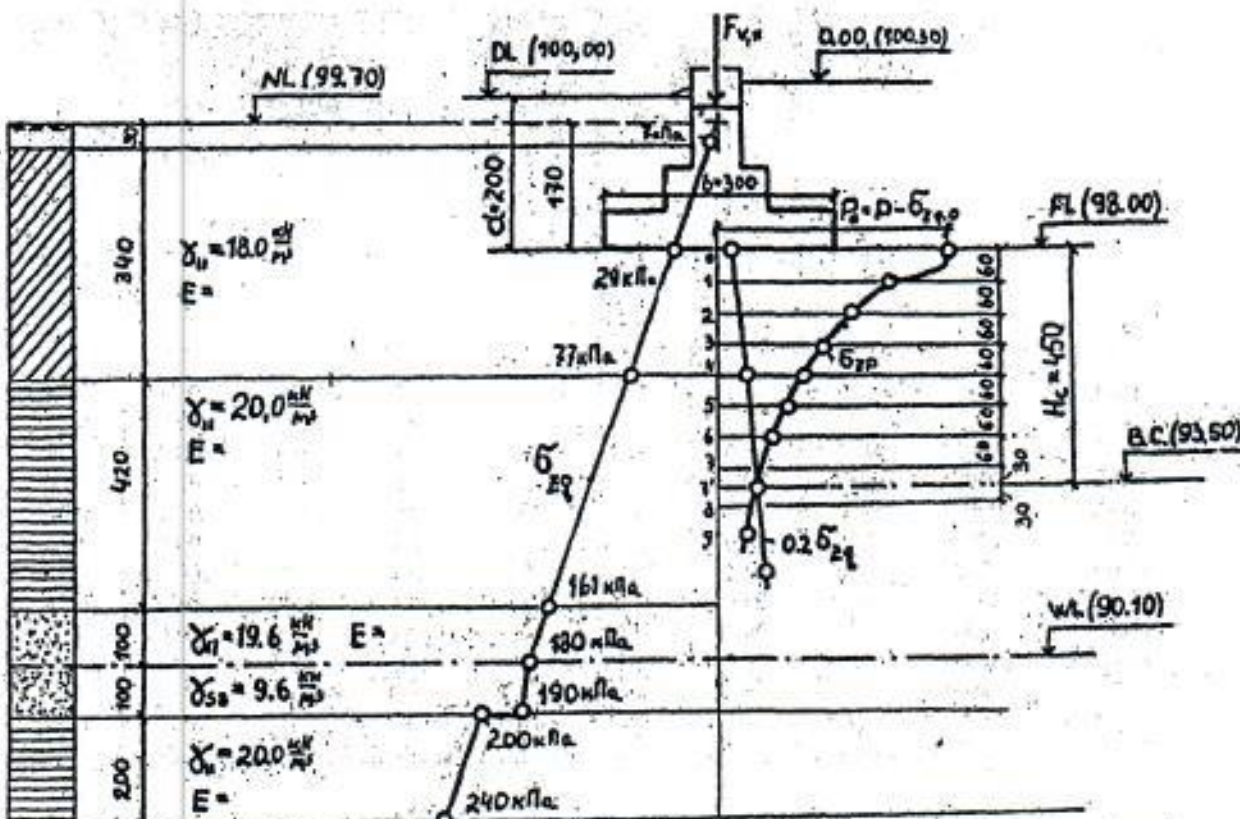


Рис.16. Схема для расчета осадки фундамента мелкого заложения методом послойного Суммирования (линейные размеры приведены в см).

№ точек	$Z, \text{м}$	$2Z/b$	$\alpha$	$\sigma_{zp} = \alpha P_0, \text{ кПа}$	№ слоя	$\sigma_{zp,i}^{cp}, \text{ кПа}$	$h_i, i$	$\beta_i$	$E_i, \text{ кПа}$	$S_i = \sigma_{zp}^{cp} h_i \beta_i / E_i, \text{ м}$
0	0	0	1.00	200	1	196	0.60	0.74	18000	0.0048
1	0.60	0.40	0.96	192	2	176	0.60	0.74	18000	0.0043
2	1.20	0.80	0.80	160	3	141	0.60	0.74	18000	0.0035
3	1.80	1.20	0.61	122	4	106	0.60	0.62	12000	0.0033
4	2.40	1.60	0.45	90	5	79	0.60	0.62	13000	0.0024
5	3.00	2.00	0.34	68	6	60	0.60	0.40	13000	0.0011
6	3.60	2.40	0.26	52	7	46	0.60	0.40	13000	0.0008
7	4.20	2.80	0.20	40	8	38	0.30	0.40		0.0004
7'	4.50	3.00	0.18	36						
8	4.80	3.20	0.16	32						
										$S = 0.0216i$ $= 2,2ii$

8. Суммарная осадка всех элементарных слоев составляет расчетную величину осадки основания  $s$ .

Если в проекте необходимо учитывать влияние соседних фундаментов, то к эпюре дополнительных напряжений  $\sigma_{zp}$ , построенной для проектируемого

фундамента, достраивают добавочную часть, отражающую влияние соседнего фундамента. Величина добавочного дополнительного давления определяется методом угловых точек

### 3.6.1.1. Последовательность расчета осадок свайного фундамента.

Определяют размеры условного фундамента (рис. 17).

Границы условного фундамента определяют следующим образом: снизу - плоскостью КБ, проходящей через нижние концы свай; с боков - вертикальными плоскостями КГ и БД, отстоящими от граней крайних рядов вертикальных свай на расстояния  $htg\varphi_{II,mt}/4$ , где  $\varphi_{II,mt}$  - осредненное (средневзвешенное) значение угла внутреннего трения грунта, определяемое по формуле

$$\varphi_{II,mt} = (\varphi_{II,1}h_1 + \varphi_{II,2}h_2 + \dots + \varphi_{II,n}h_n)/(h_1 + h_2 + \dots + h_n)$$

где  $\varphi_{II,1}; \varphi_{II,2}; \dots; \varphi_{II,n}$  - расчетные значения углов внутреннего трения для отдельных, пройденных сваями слоев грунта толщиной соответственно  $h_1, h_2, \dots, h_n$ ; - глубина погружения сваи в грунт, считая от подошвы ростверка (см. рис. 16, а) или подошвы слабого слоя (см. рис. 17, б) и равная  $h = h_1 + h_2 + \dots + h_n$ .

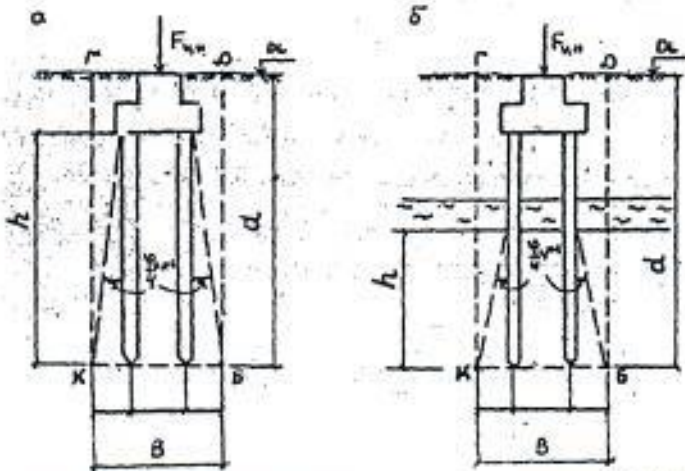


Рис. 17. Схема определения условного фундамента: а - при отсутствии слабых грунтов; б - при наличии слабых грунтов толщиной более 30 см.

Дальнейший расчет ведут в той же последовательности, как фундамента мелкого заложения с размерами подошвы  $B \times L$  и глубиной заложения фундамента  $d$ . При этом на рис. 16 не чертят ростверк и сваи, а наносят только границы условного фундамента (КГДБ на рис.17), и величину среднего фактического давления под подошвой условного фундамента вычисляют по формуле

$$P = (F_{V,II} + G_{P,II} + G_{Bd,II} + G_{AbD,II}) / BL$$

где  $G_{P,II}; G_{Bd,II}; G_{AbD,II}$  - соответственно вес ростверка; свай и грунта в пределах границ условного фундамента.

### 3.6.2. Расчет осадок основания методом линейно-деформируемого слоя конечной толщины (вторая группа предельных состояний).

Этот метод применяется, если:

а) в пределах сжимаемой толщи основания расположен слой грунта с модулем деформации  $E \geq 100000$  кПа;

б) подошва фундамента имеет большие размеры (ширина или диаметр более 10 м) и модуль деформации  $E \geq 10000$  кПа независимо от глубины залегания мало сжимаемого грунта.

Принимают, что осадка фундамента вызвана полным средним давлением, действующим по подошве фундамента (без вычета давления от собственного веса грунта на уровне подошвы), т.е.  $P_o = P$ .

Расчетную толщину линейно-деформируемого слоя  $H$  принимают или до кровли грунта с модулем деформации  $E \geq 100000$  кПа, или при ширине фундамента  $b \geq 10$  м и среднем значении модуля деформации основания  $E \geq 10000$  кПа вычисляют по формуле:

$$H = (H_0 + \psi b) K_p$$

где  $H_0$  и  $\Psi$  - принимают соответственно равными для оснований, сложенных пылевато-глинистыми грунтами 9 м и 0,15; песчаными грунтами 6 м и 0,1;  $K_p$  - коэффициент, принимаемый равным 0,8 при среднем давлении под подошвой фундамента  $P = 100$  кПа; 1,2 при  $P = 500$  кПа, а при промежуточных значениях  $P$  - по интерполяции.

Средняя осадка основания

$$s = pbk_c \left[ \sum_{i=1}^n (k_i - k_{i-1}) / E_i \right] / k_m$$

где  $n$  - количество слоев грунта,  $k_c$ ,  $k_m$ ,  $k_i$  - коэффициенты, определяемые в зависимости от глубины границ слоев, считая от подошвы фундамента (приложения Д 2, Д 3, и Д 4).

Расчет по деформациям считается выполненным, если удовлетворены требования СНиП 2.02.01-83\*, в противном случае необходимо изменить площадь или глубину его заложения и повторить расчет осадок.

Если определенные расчетом величины осадок основания (при  $P = R$ ) не превышают 40% предельно допустимых величин, то расчетное сопротивление  $R$  может быть повышенно в 1,2 раза (т.е. площадь подошвы фундамента уменьшено на 20%). Изменение- размера подошвы фундамента производят без повторного расчета осадок основания.

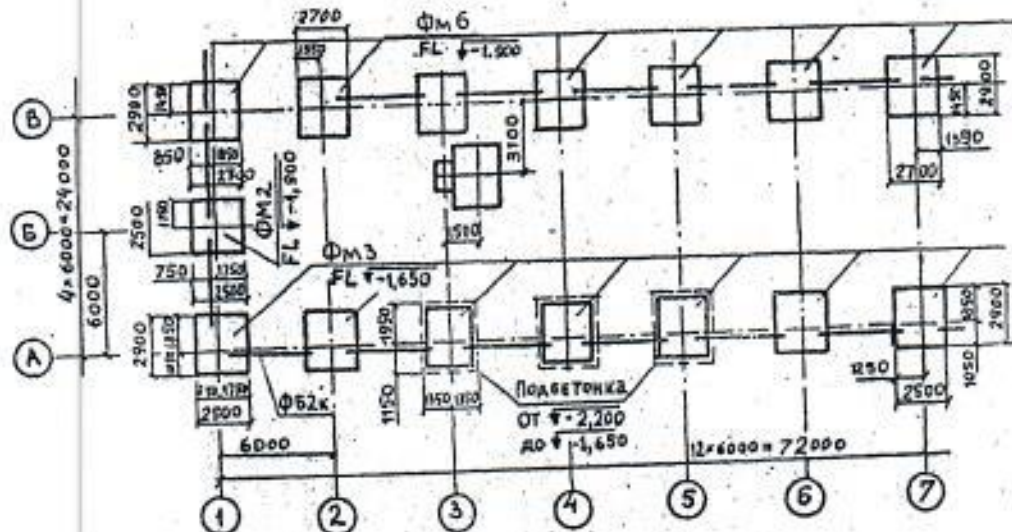
### 3.6.3. Расчет основания по несущей способности (первая группа предельных состояний).

Если устойчивость фундамента против сдвига по подошве не обеспечена, целесообразно устройство фундаментов с наклонной подошвой, так как увеличение размеров подошвы не дает должного эффекта в связи с небольшим удельным сцеплением у основных видов грунтов.

#### **4. БИБЛИОГРАФИЧЕСКИЙ СПИСОК**

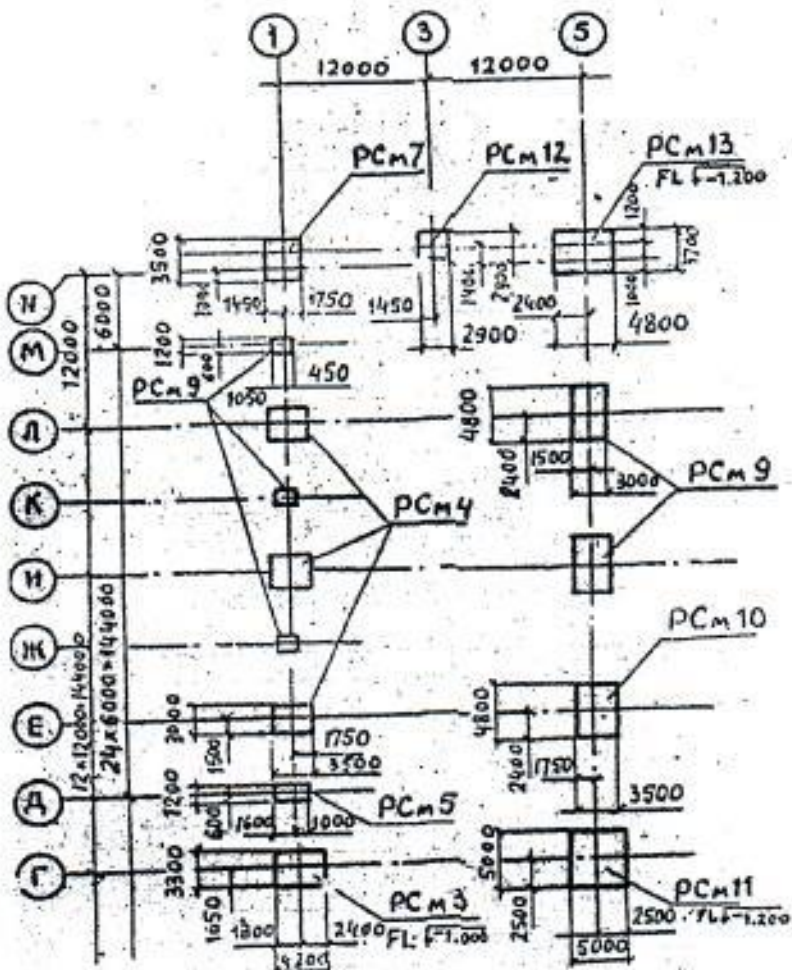
1. Основания и фундаменты. Часть 2. Основы геотехники: Учебник/ Под ред. Б. К. Долматова - М.: Изд - во АВС; СПбГАСУ, 2002.
2. Механика грунтов, основания и фундаменты: Учеб. пособие для строит, спец. вузов/ Под ред. СБ. Ухова- М: Высшая школа, 2002.
3. Малышев М.В., Болдырев Г.Г. Механика грунтов. Основания и фундаменты (в вопросах и ответах): Уч. пособие - м.: Изд - во АВС, 2001.
4. Берлинов М.В., Ягупов Б..А. Расчет оснований и фундаментов: Учебн. для строит, спец. учебн. заведений - М.: Стройиздат, 2004.
5. СНиП 2.02.01 - 83\*. Основания зданий и сооружений / Минстрой России.-М.: ГПЦПП, 1996.
6. Механика грунтов, основания и фундаменты: Методические указания к выполнению курсового проекта и раздела дипломного проекта/ А.З. Попов, СВ. Сергеев - Белгород: БТИСМ, 1988.
7. Инженерная геология: Учеб. для строит, спец. вузов/ В.П. Ананьев, А.Д. Потапов.-М.: Высшая школа, 2002.

## Приложение 1



Маркировочная схема фундаментов и фундаментных блоков  
(все незамаркированные фундаментные блоки – ФБ 2)

## Приложение 2



### Маркировочная схема растворка

**Приложение А1**

**Варианты заданий**

Варианты	Объект	Площадка	1	2	3	1	2	3
			31	6-1	2	66	3-2	8
		32	6-2	3	67	4-1	9	
		33	7-1	4	68	4-2	10	
		34	7-2	5	69	5-1	10	
<b>1</b>	<b>2</b>	<b>3</b>	<b>35</b>	8-1	6	<b>70</b>	5-2	9
<b>1</b>	1-1	1	<b>36</b>	8-2	7	<b>71</b>	6-1	8
<b>2</b>	1-2	2	<b>37</b>	9-1	8	<b>72</b>	6-2	7
<b>3</b>	2-1	3	<b>38</b>	9-2	9	<b>73</b>	7-1	6
<b>4</b>	2-2	4	<b>39</b>	10-1	10	<b>74</b>	7-2	5
<b>5</b>	3-1	5	<b>40</b>	10-2	9	<b>75</b>	8-1	4
<b>6</b>	3-2	6	<b>41</b>	1-1	8	<b>76</b>	8-2	3
<b>7</b>	4-1	7	<b>42</b>	1-2	7	<b>77</b>	9-1	2
<b>8</b>	4-2	8	<b>43</b>	2-1	6	<b>78</b>	9-2	1
<b>9</b>	5-1	9	<b>44</b>	2-2	5	<b>79</b>	10-1	2
<b>10</b>	5-2	10	<b>45</b>	3-1	4	<b>80</b>	10-2	3
<b>11</b>	6-1	1	<b>46</b>	3-2	3			
<b>12</b>	6-2	2	<b>47</b>	4-1	2			
<b>13</b>	7-1	3	<b>48</b>	4-2	1			
<b>14</b>	7-2	4	<b>49</b>	5-1	1			
<b>15</b>	8-1	5	<b>50</b>	5-2	2			
<b>16</b>	8-2	6	<b>51</b>	6-1	3			
<b>17</b>	9-1	7	<b>52</b>	6-2	4			
<b>18</b>	9-2	8	<b>53</b>	7-1	5			
<b>19</b>	10-1	9	<b>54</b>	7-2	6			
<b>20</b>	10-2	10	<b>55</b>	8-1	7			
<b>21</b>	1-1	10	<b>56</b>	8-2	8			
<b>22</b>	1-2	9	<b>57</b>	9-1	9			
<b>23</b>	2-1	8	<b>58</b>	9-2	10			
<b>24</b>	2-2	7	<b>59</b>	10-1	1			
<b>25</b>	3-1	6	<b>60</b>	10-2	2			
<b>26</b>	3-2	5	<b>61</b>	1-1	3			
<b>27</b>	4-1	4	<b>62</b>	1-2	4			
<b>28</b>	4-2	3	<b>63</b>	2-1	5			
<b>29</b>	5-1	2	<b>64</b>	2-2	6			
<b>30</b>	5-2	1	<b>65</b>	3-1	7			

## Приложение А2

Вариант 1

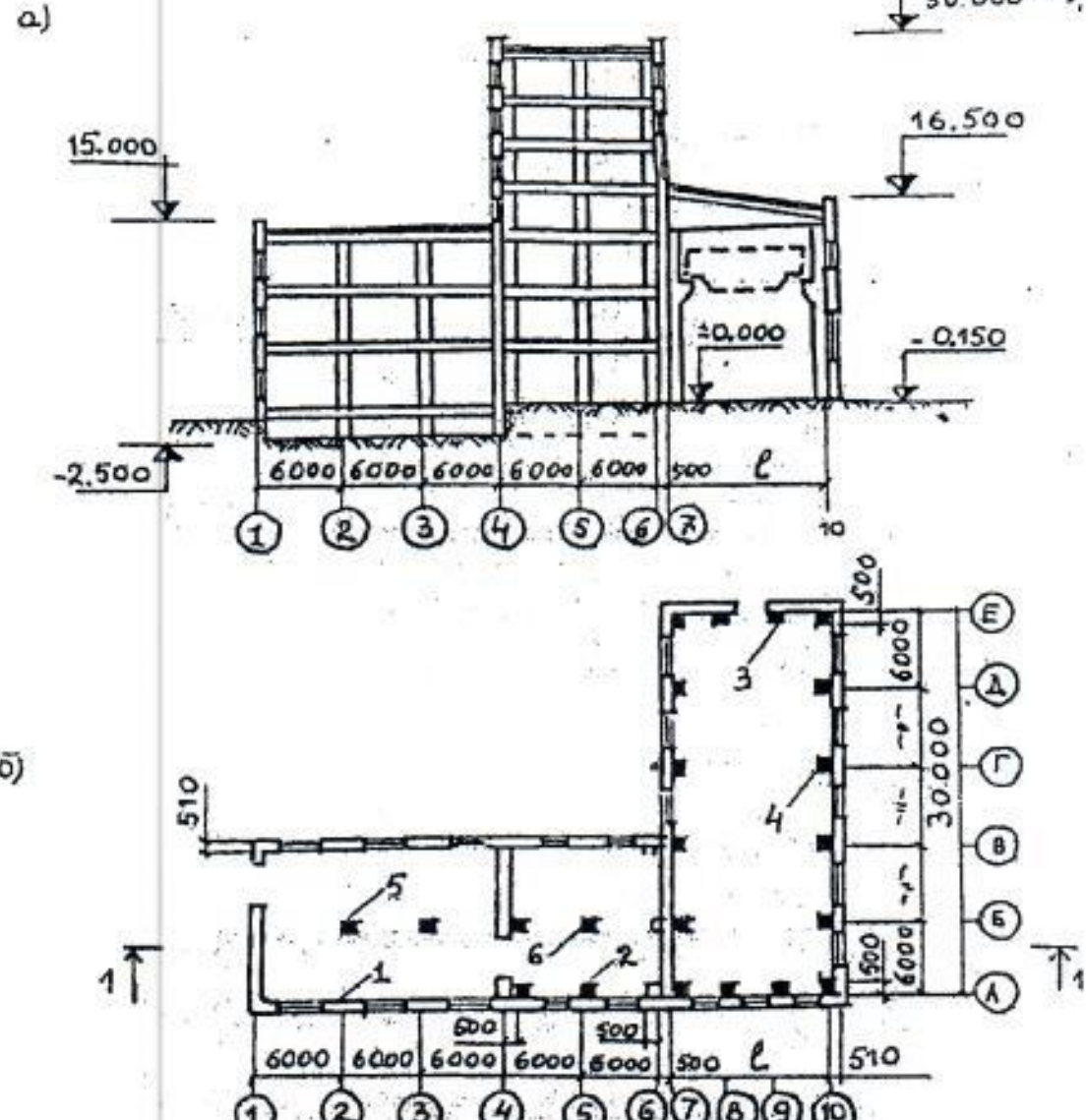


Рис. Схема здания экспериментального цеха, М 1:500:  
а - разрез 1-1; б - план на отм. ± 0.000

ТАБАНИЦА

## УСИЛЕНИЯ НА ВЕРХНИХ ОБРЕЗАХ ФУНДАМЕНТОВ (ОСНОВНЫЕ СОЧЕТАНИЯ НАГРУЗОК)

ВАРИАНТ	НОМЕР ФУНДАМ.	1-Е СОЧЕТАНИЕ			2-Е СОЧЕТАНИЕ		
		$F_{u,i}$ , кН	$M_{u,i}$ , кН·м	$F_{h,i}$ , кН	$F_{u,i}$ , кН	$M_{u,i}$ , кН·м	$F_{h,i}$ , кН
$l=12\text{ м}$ ПОДВАЛ в ОСЯХ	1	120	30	10	213	40	14
	2	1700	50	15	1040	63	20
	3	500	250	15	610	300	18
	4	1050	200	18	1280	230	16
	5	780	150	8	920	200	14
	6	1900	90	13	1280	300	13
$l=18\text{ м}$ ПОДВАЛ в ОСЯХ	1	210	50	12	360	70	17
	2	1860	200	90	1920	100	40
	3	380	200	14	440	330	12
	4	800	240	10	840	180	14
	5	860	200	8	900	300	18
	6	2120	180	18	2240	180	14

Приложение А3

Вариант 2

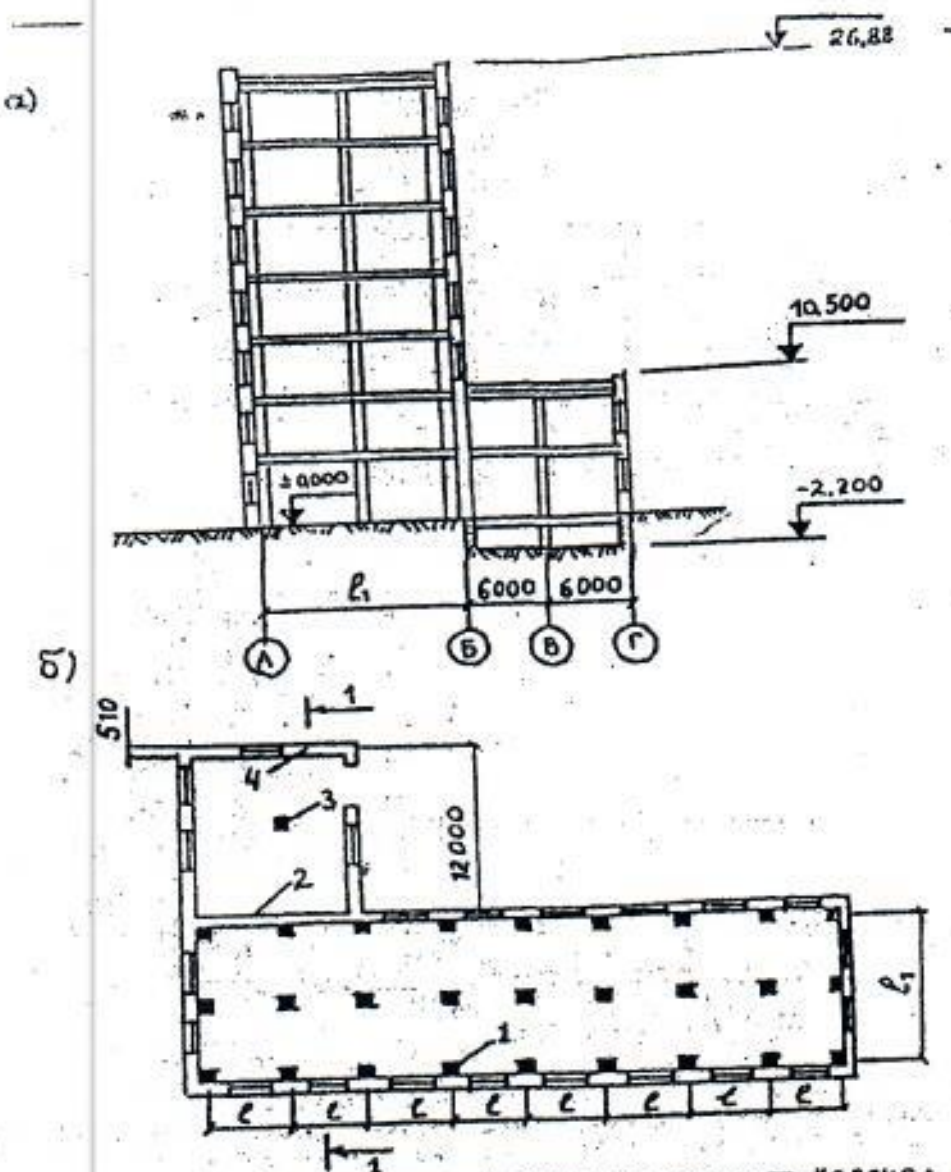


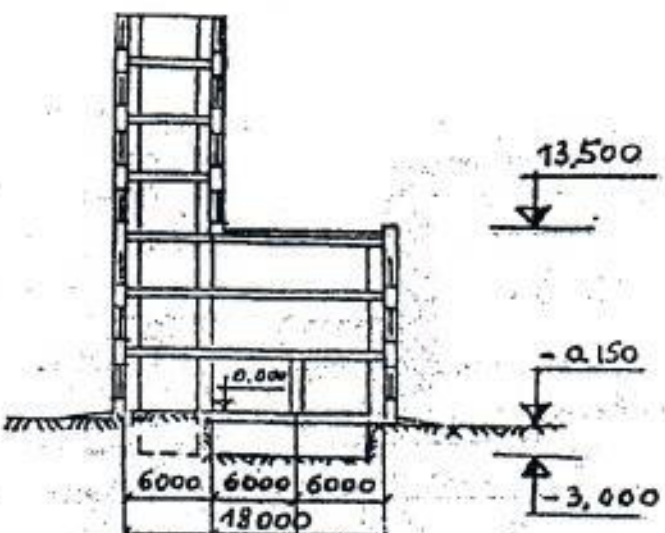
Рис. Схема здания административного корпуса, М1:400  
А - разрез 1-1 ; Б - план на ОММ. ±0.000

УСИЛИЯ НА ВЕРХНИХ ОБРЕЗАХ ФУНДАМЕНТОВ  
(ОСНОВНЫЕ СОЧЕТАНИЯ НАГРУЗОК)

ТАБЛИЦА

ВАРИАНТ	НОМЕР ФУНДАМ.	1-е сочетание			2-е сочетание		
		$F_{V,1}$ , кН	$M_{1,1}$ , кН·м	$F_{h,1}$ , кН	$F_{V,2}$ , кН	$M_{1,2}$ , кН·м	$F_{h,2}$ , кН
$\ell_1=12\text{ м}$ $\ell=6\text{ м}$	1	3600	40	20	2140	32	15
	2	148	8	10	164	10	12
	3	1150	20	8	1300	20	11
	4	450	10	11	540	12	8
$\ell_1=10\text{ м}$ $\ell=5\text{ м}$	1	3200	30	8	2200	40	20
	2	125	15	13	140	14	8
	3	1000	18	7	1100	24	12
	4	380	12	11	450	13	8

а)



б)

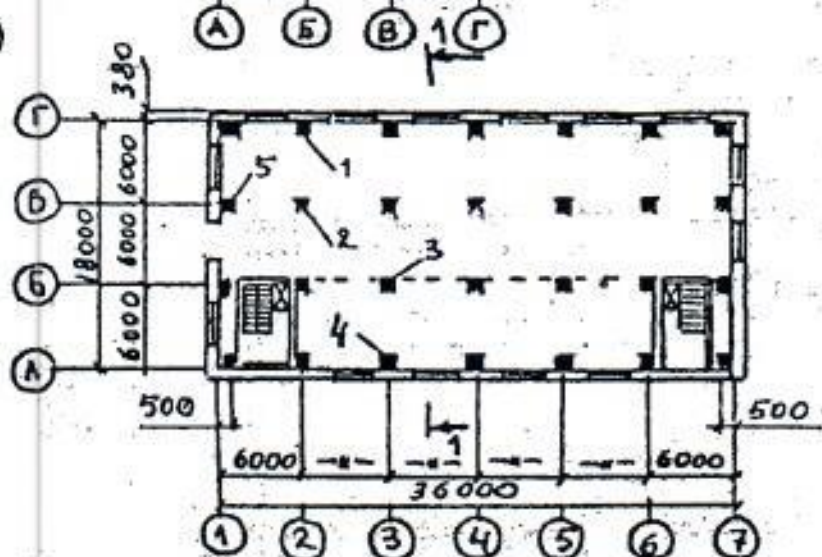


Рис. Схема здания ремонтного цеха, м 1:500:  
а - разрез 1-1; б - план на отм. ± 0,000.

ТАБЛИЦА  
ЧИСЛА НА ВЕРХНИХ ОБРЕЗАХ ФУНДАМЕНТОВ  
(ОСНОВНЫЕ СОЧЕТАНИЯ НАГРУЗОК)

ВАРИАНТ	НОМЕР ФУНДАМЕНТА	1-е сочетание			2-е сочетание		
		$F_{V,n}$ , кН	$M_{n,i}$ , кН·м	$F_{h,n}$ , кН	$F_{V,p}$ , кН	$M_{n,i}$ , кН·м	$F_{h,n}$ , кН
1 ПОДВАЛ 6 ОСЯХ В-Г	1	1090	42	12	1260	52	10
	2	250	10	8	910	12	8
	3	2040	84	30	2460	80	10
	4	2500	220	10	2740	100	14
	5	1960	200	12	1960	140	17
	6	980	52	8	1200	64	15
2 ПОДВАЛ 6 ОСЯХ А-Б	1	600	20	4	720	42	10
	2	2320	120	40	2700	140	22
	3	2200	300	21	2540	340	20
	4	1300	240	18	1300	260	14

Приложение А5  
Вариант 4

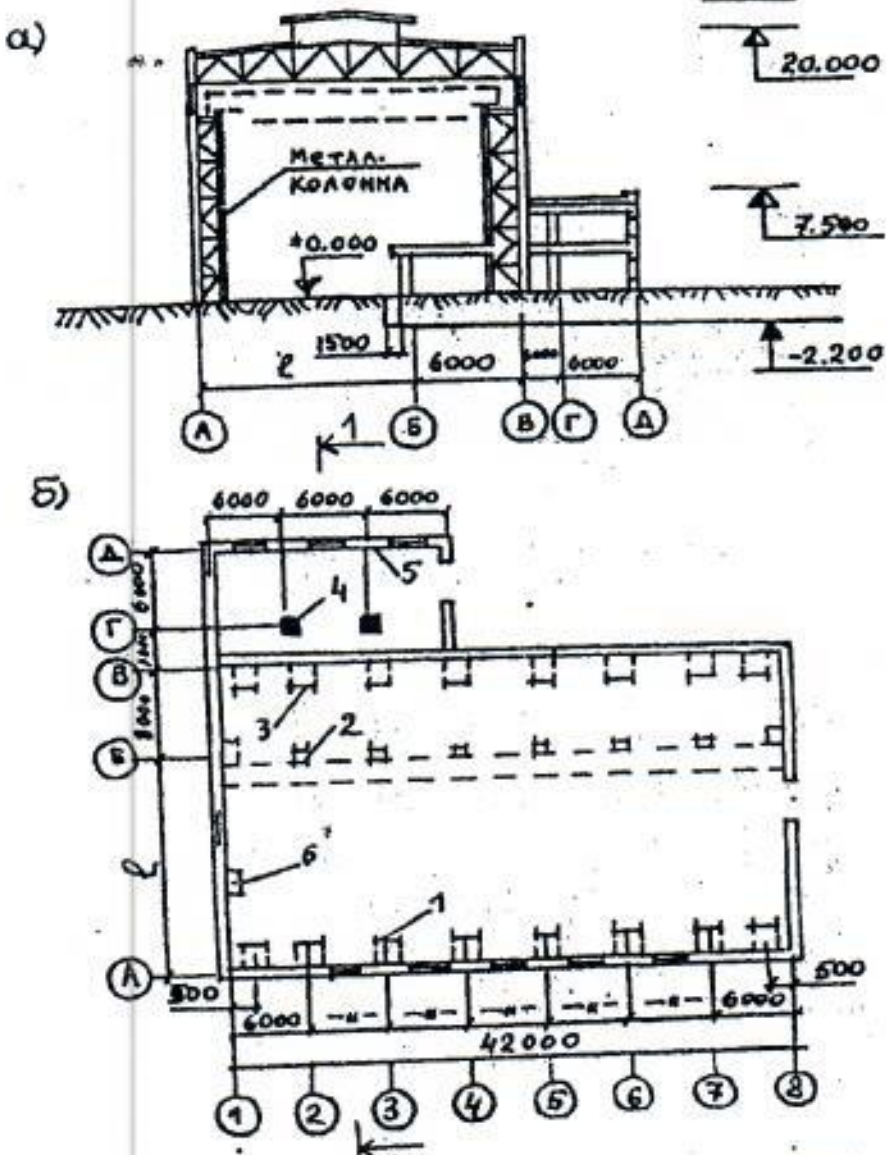


Рис. Схема здания монтажного цеха, М 1:500  
а - разрез 1-1; б - план на отм. ±0.000

ТАБЛИЦА

ЧИСЛЫ НА ВЕРХНИХ ОБРЕЗАХ ФУНДАМЕНТОВ  
(ОСНОВНЫЕ СОЧЕТАНИЯ НАГРУЗОК)

ВАРИАНТ	Номер фундам.	1-е сочетание			2-е сочетание		
		F <sub>нж</sub> , кН	M <sub>нж</sub> , кН·м	G <sub>нж</sub> , кН	F <sub>нж</sub> , кН	M <sub>нж</sub> , кН·м	G <sub>нж</sub> , кН
1 <i>R=24м</i>	1	4260	1040	60	5580	1340	106
	2	2460	580	40	2790	790	80
	3	6810	1360	50	7770	1120	76
	4	1530	340	20	1740	420	50
	5	300	40	30	360	48	60
	6	3300	1160	40	3300	800	124
2 <i>R=18м</i>	1	3840	800	40	4920	960	84
	2	2100	700	35	2550	800	100
	3	5940	880	30	6840	840	60
	4	1200	300	15	1320	400	50
	5	240	50	10	330	80	20
	6	2700	920	14	2700	600	80

Приложение А6  
Вариант 5

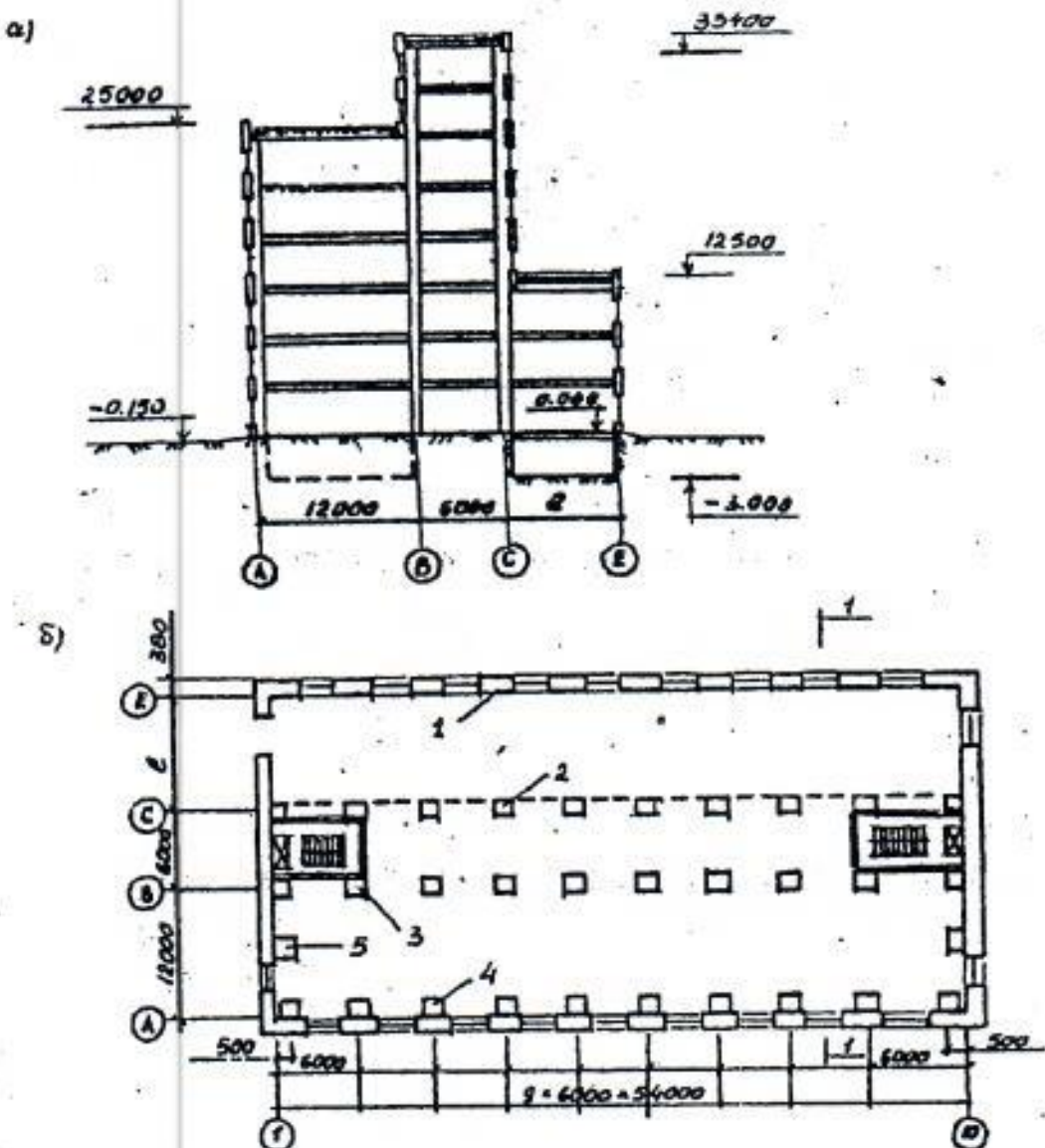


Рис. Стена здания химического корпуса Н 1:500  
а - разрез 1-1 ; б - план на опоры

Таблица

Усилия на береговые обрезки фундаментов  
(основные сочетания нагрузок)

Вариант	Номер фунд-та	1-е сочетание			2-е сочетание		
		F <sub>н</sub> , кН	M <sub>н</sub> , кН·м	F <sub>н,р</sub> , кН	F <sub>н</sub> , кН	M <sub>н</sub> , кН·м	F <sub>н,р</sub> , кН
с=6Н подвал	1	150	24	40	188	29	35
	2	2800	38	75	3200	52	55
	3	3400	500	41	3600	520	61
	4	1600	122	90	1760	146	57
	5	4050	184	21	4400	22	25
с=12Н подвал	1	170	21	35	210	26	21
	2	3120	58	67	3580	69	50
	3	4020	400	81	5050	420	41
	4	1020	84	55	2360	123	75
	5	7220	261	85	1280	314	40

Приложение А7

15.000 Вариант 6

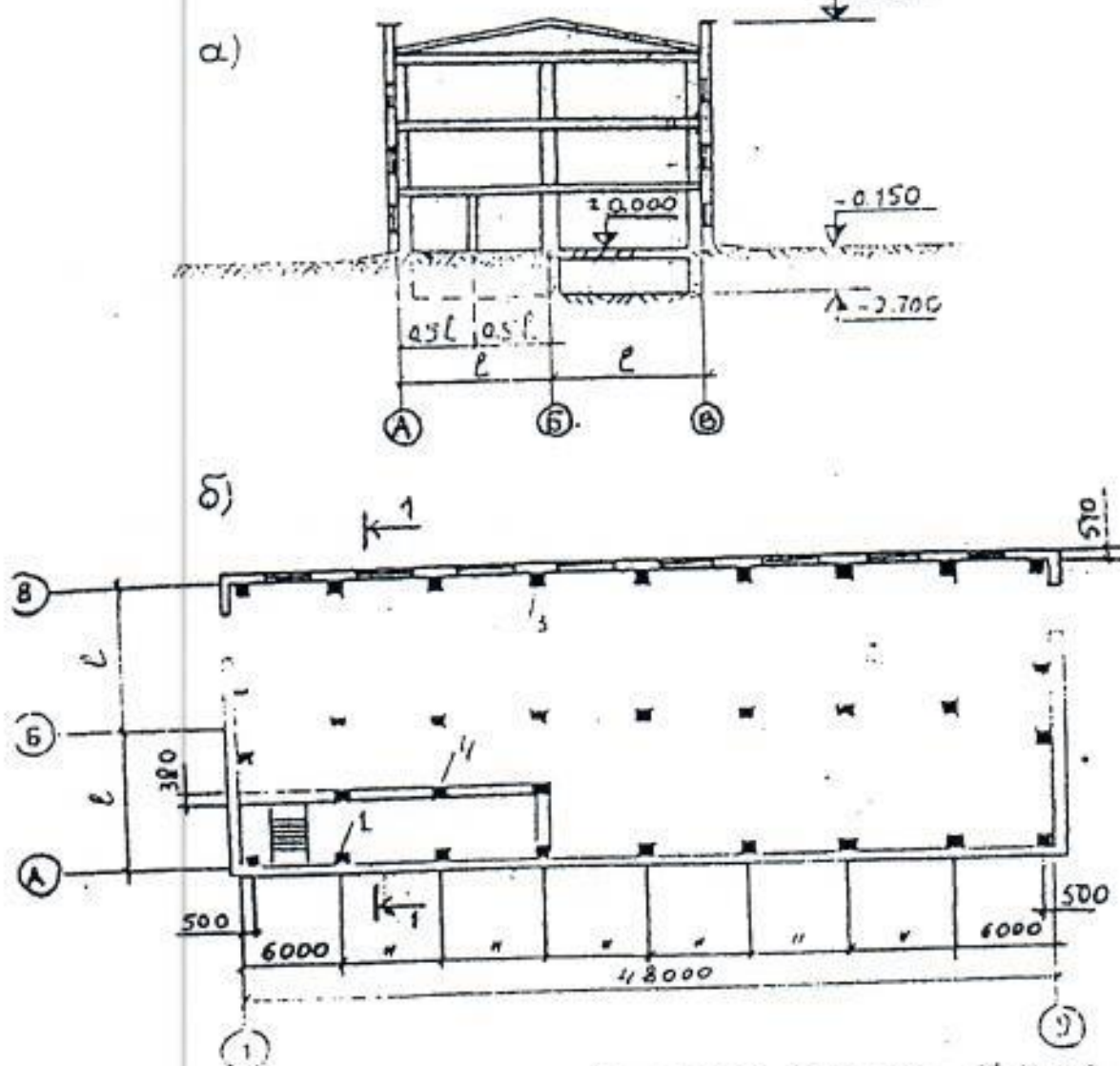


Рис. План и разрез фундаментного короба, м<sup>2</sup>  
α - РАДИУС 1:1; β - ОДИН МАШКА ОТМ 0.000

ТАБЛИЦА  
ЧИСЛЕННЫХ ЗНАЧЕНИЙ НА ВЕРХНИХ ОБРЕЗАХ ФУНДАМЕНТОВ  
(ОСНОВНЫЕ СОЧЕТАНИЯ НАГРУЗОК)

ВАРИАНТ	номер фундамен.	1-е сочетание			2-е сочетание		
		$F_{V,H}$ , кН	$M_{H,H}$ , кНм	$F_{L,H}$ , кН	$F_{V,H}$ , кН	$M_{H,H}$ , кНм	$F_{L,H}$ , кН
$l=6$ подбаза в осах Б-Б	1	1400	140	20	1680	168	22
	2	2270	92	30	2530	114	31
	3	1820	182	35	2100	226	37
	4	620	51	20	630	55	23
$l=12\text{ м}$ подбаза оси А-А	1	1800	170	40	2060	21	40
	2	3200	150	32	3560	184	30
	3	2400	230	60	2860	180	50
	4	650	55	14	680	61	10

## **Приложение А8**

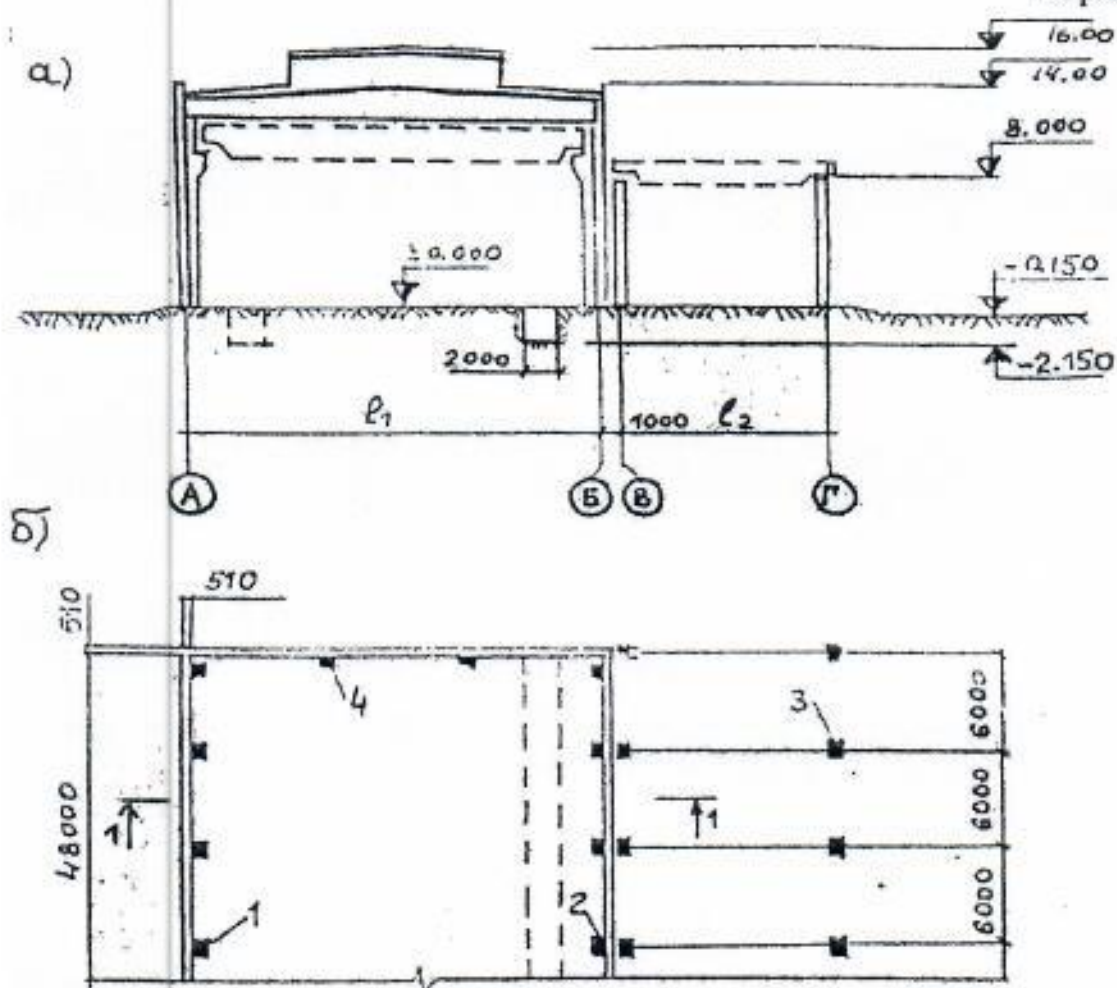


Рис. Схема здания механического цеха, М1:400:  
а-разрез 1-1; б-план на отметку 0,000

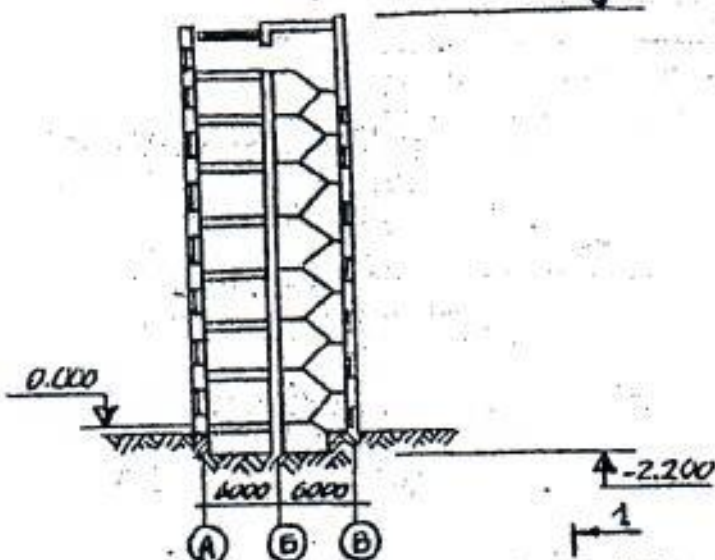
ТАБАНЦА

ЧИЛИЯ НА ВЕРХНИХ ОБРЕЗАХ ФУНДАМЕНТОВ  
(ОСНОВНЫЕ СОЧЕТАНИЯ НАГРУЗОК)

ВАРИАНТ	НОМЕР ФУНДАМЕН.	1-е сочетание			2-е сочетание		
		$F_{VII}$ , кН	$M_{II}$ , кН·м	$T_4$ , кН	$F_{VII}$ , кН	$M_{II}$ , кН·м	$F_{h,II}$ , кН
$\ell_1=24\text{ м}$ $\ell_2=12\text{ м}$ КАНАЛУСКИЙ	1	1100	320	24	1340	230	17
	2	1380	370	19	1630	260	19
	3	460	100	12	550	120	12
	4	560	220	10	560	290	8
$\ell_1=18\text{ м}$ $\ell_2=9\text{ м}$ КАНАЛУСКИЙ	1	900	260	10	1090	80	10
	2	1160	310	14	1400	200	9
	3	380	50	8	600	40	11
	4	470	80	7	470	20	10

31.000

а).



б).

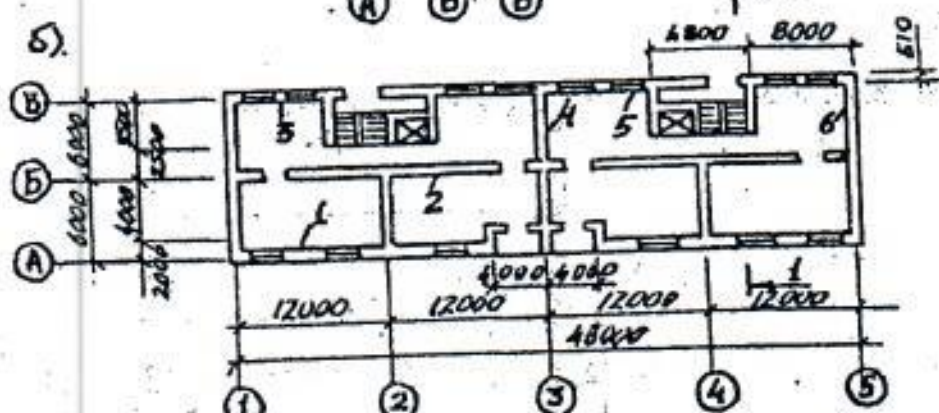


Рис. СХЕМА ЗДАНИЯ ЖИЛОГО ДОМА, М. 1:100  
а - разрез 1-1; б - план на отм. ± 0.000

ТАБЛИЦА  
УСИЛИЯ НА ВЕРХНИХ ОБРЕЗАХ ФУНДАМЕНТОВ  
(ОСНОВНЫЕ СОЧЕТАНИЯ НАГРУЗОК)

ВАРИАНТ	НОМЕР ФУНДАМ.	1-е СОЧЕТАНИЕ			2-е СОЧЕТАНИЕ		
		F <sub>U, кН</sub>	M <sub>u, кН·м</sub>	F <sub>U, кН</sub>	F <sub>U, кН</sub>	M <sub>u, кН·м</sub>	F <sub>U, кН</sub>
1 7 эт	-1	420	200	15	500	250	21
	2	540	40	3	650	45	9
	3	320	100	9	380	110	15
	4	264	80	7	320	90	8
	5	300	70	19	390	75	11
	6	270	40	5	320	50	6
2 10 эт	1	480	100	12	570	120	18
	2	620	120	16	740	140	26
	3	400	100	18	480	80	14
	4	306	70	21	370	50	20
	5	380	100	13	460	80	22
	6	340	70	14	410	120	17

Приложение А10  
Вариант 9

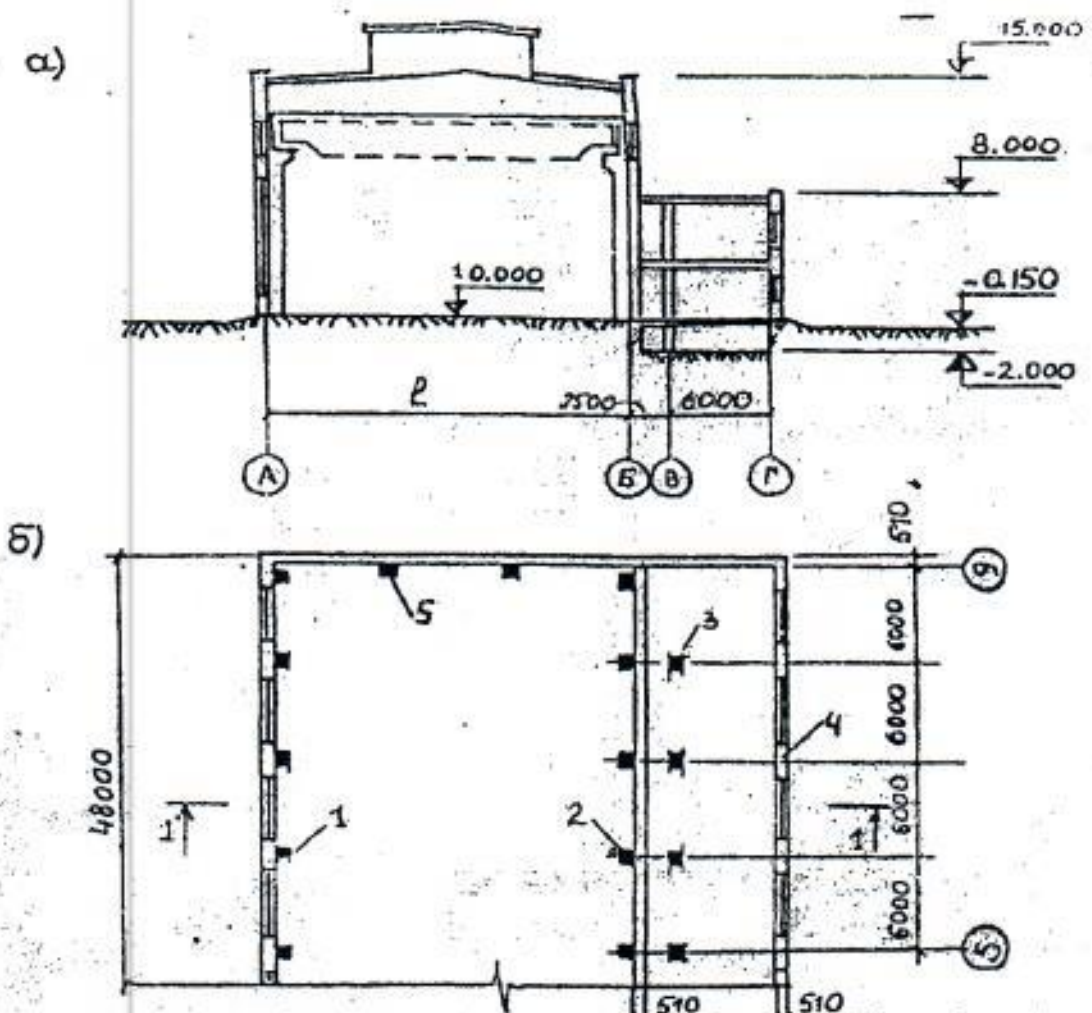


Рис. Схема здания сварочного цеха; М1:400:  
а - разрез 1-1; б - план на отм. ± 0.000

ТАБЛИЦА  
УСИЛИЯ НА ОБРЕЗАХ ФУНДАМЕНТОВ  
(ОСНОВНОЕ СОЧЕТАНИЕ НА ГРУЗОК)

ВАРИАНТ	НОМЕР ФУНДАМ.	1-е сочетание			2-е сочетание		
		$F_{k,n}$ , кН	$M_{n,i}$ , кН·м	$F_{k,d}$ , кН	$F_{k,n}$ , кН	$M_{n,i}$ , кН·м	$F_{k,d}$ , кН
$\beta=21\text{m}$	1	920	240	30	1090	320	51
	2	1040	270	18	1270	120	26
	3	600	100	12	780	80	12
	4	140	30	13	180	28	23
	5	1260	70	20	210	52	65
$\beta=18\text{m}$	1	710	190	15	830	260	40
	2	800	210	12	960	100	20
	3	520	80	18	663	40	21
	4	125	20	8	163	20	12
	5	940	30	7	140	40	19

Приложение А11  
Вариант 10

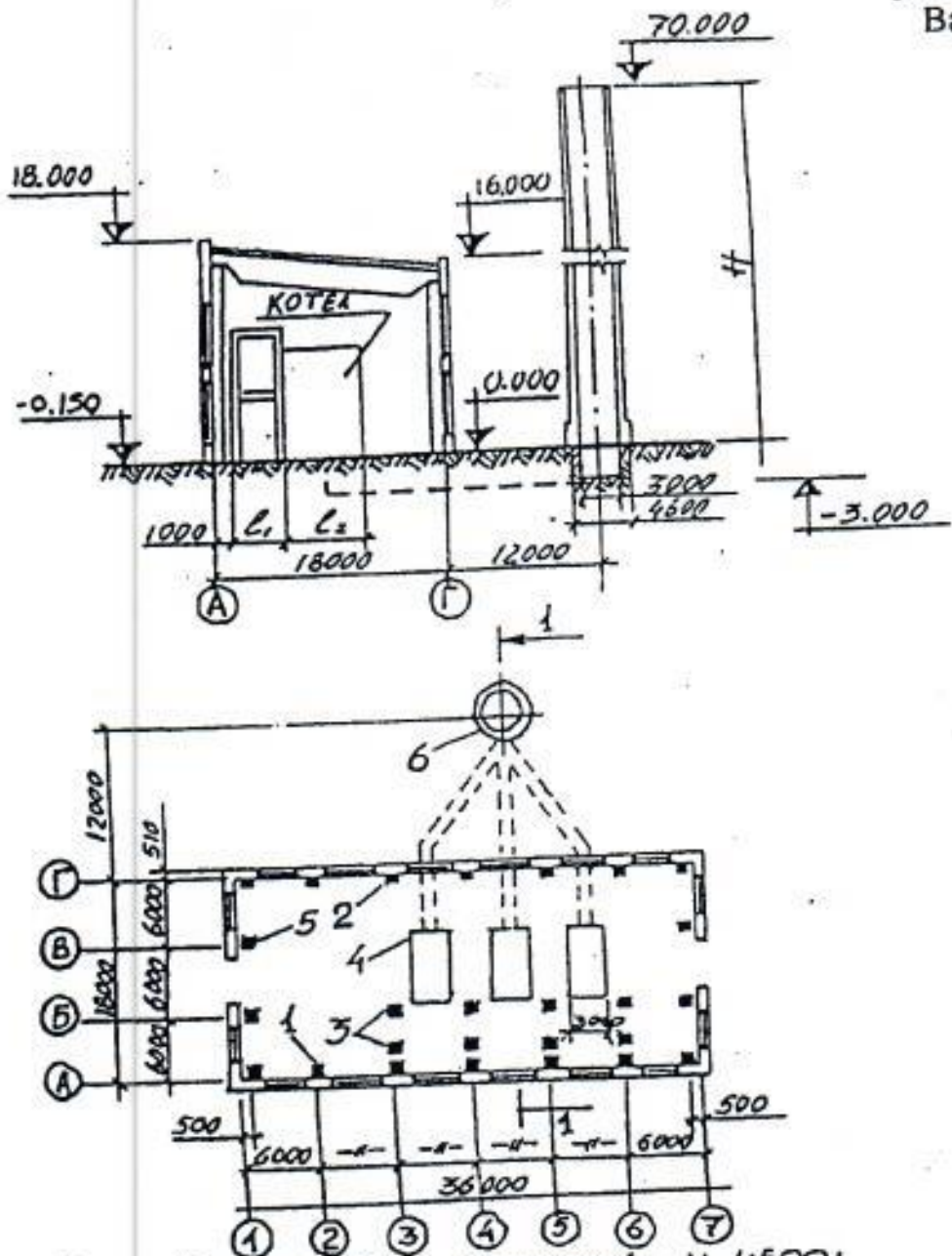


Рис. Схема здания котельной, м 1:500:  
а - разрез 1-1; б - план на отм. 0.000

УСИЛЕНИЯ НА ВЕРХНИХ ОБРЕЗАХ ФУНДАМЕНТОВ  
(ОСНОВНЫЕ СОЧЕТАНИЯ НАГРУЗОК)

ТАБЛИЦА

ВАРИАНТ	НОМЕР ФУНДАМЕНТА	1-е СОЧЕТАНИЕ			2-е СОЧЕТАНИЕ		
		F <sub>нж</sub> КН	M <sub>нж</sub> КН·м	F <sub>бнж</sub> КН	F <sub>нж</sub> КН	M <sub>нж</sub> КН·м	F <sub>бнж</sub> КН
1  $l_1 = 4\text{ м}$ $l_2 = 6\text{ м}$ $H = 50\text{ м}$	1	500	200	8	690	500	37
	2	590	300	10	710	400	35
	3	840	200	20	1000	250	21
	4	2600	400	25	3100	450	45
	5	400	180	15	480	220	10
	6	3000	2800	260	3000	2800	260
2  $l_1 = 3\text{ м}$ $l_2 = 5\text{ м}$ $H = 70\text{ м}$	1	520	260	12	610	300	36
	2	500	140	16	590	290	24
	3	720	300	9	860	400	29
	4	2100	1200	80	2100	1200	80
	5	360	140	13	450	150	29
	6	3300	2400	200	3500	2600	200

Приложение А12  
Вариант 1

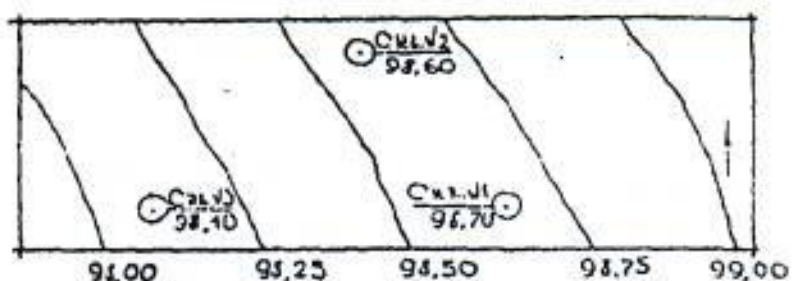


Рис. ПЛАН СТРОИТЕЛЬНОЙ ПЛОЩАДКИ № 1. М 1:1000

СКН №1 96.70							СКН №2 96.60							СКН №3 96.10						
1	2	3	4	5	6	7	1	2	3	4	5	6	7	1	2	3	4	5	6	7
-96,3 -0,3	0,3	0,3	0,3	0,3	0,3	0,3	-92,5 -0,5	0,5	0,5	0,5	0,5	0,5	0,5	-92,1 -1,0	0,6	0,6	0,6	0,6	0,6	0,6
-92,7 -1,0	0,7	0,7	0,7	0,7	0,7	0,7	-92,6 -1,0	0,7	0,7	0,7	0,7	0,7	0,7	-92,5 -1,6	—	—	—	—	—	—
0,0	4,3	4,3	4,3	4,3	4,3	4,3	0,0	4,2	4,2	4,2	4,2	4,2	4,2	0,0	4,0	4,0	4,0	4,0	4,0	4,0
95,2 5,5							93,4 5,2							93,1 5,0						
-92,7 -6,0	—	—	—	—	—	—	-92,6 -6,0	—	—	—	—	—	—	-92,5 -16	—	—	—	—	—	—
0,0	2,6	2,6	2,6	2,6	2,6	2,6	0,0	2,8	2,8	2,8	2,8	2,8	2,8	0,0	2,5	2,5	2,5	2,5	2,5	2,5
90,6 8,1							90,6 8,0							90,6 7,5						
0,0	4,4	4,4	4,4	4,4	4,4	4,4	0,0	4,3	4,3	4,3	4,3	4,3	4,3	0,0	4,5	4,5	4,5	4,5	4,5	4,5
86,2 12,5							86,3 12,5							86,1 12,5						
E							E							E						
G	85,7	15,0	2,5				G	85,6 15,0						G	85,1 15,0					

Рис. ГЕОЛОГИЧЕСКИЕ РОДОНИЦЫ:

1-геологический возраст  
грунта;  
2-абсолютная отметка  
подошвы слоя;  
3-глубина подошвы слоя;

4-толщина слоя;  
5-связь слоя;  
6-усадочные обозначения  
грунта;  
7-литологическое  
 описание грунта

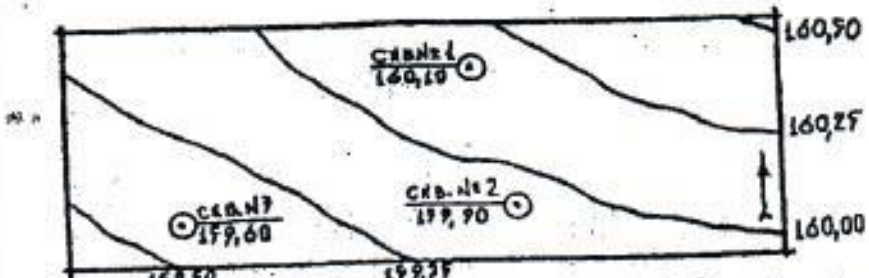
ТАБЛИЦА  
ФИЗИКО-МОХАТИЧЕСКИХ ХАРАКТЕРИСТИК ГРУНТОВ

Номер разреза грунта	Номер секции	Глубина от подош- вости земли, м.	Физико-механический состав в процентах по массе к землетрясению					$\rho_s$ $\text{t/m}^3$	$\rho$ $\text{t/m}^3$	W	W <sub>l</sub>	W <sub>r</sub>	m <sub>п</sub> $\text{t/m}^3$	K <sub>т</sub> $\text{m}$ $\text{сут}$
			3,0	0,9	0,25	0,10	0,05							
1	1	3	4	F	6	7	6	0	10	11	12	13	14	1F
1	1	2,0	0,9	0,9	6,0	66,0	15,0	2,70	1,93	0,23	0,70	0,10	3	0,04
1	1	4,0	0,2	0,6	7,2	76,0	16,0	1,71	1,95	0,24	0,71	0,16	3	0,04
2	2	7,0	1,0	11,0	23,0	34,0	31,0	2,74	1,66	0,36		1	60	
4	2	11,0	0,5	0,9	7,0	71,0	21,0	2,71	1,95	0,27	0,79	0,19	7	0,04
F	3	14,0	1,0	2,0	2,0	62,0	33,0	2,74	2,00	0,27	0,44	0,14	3	

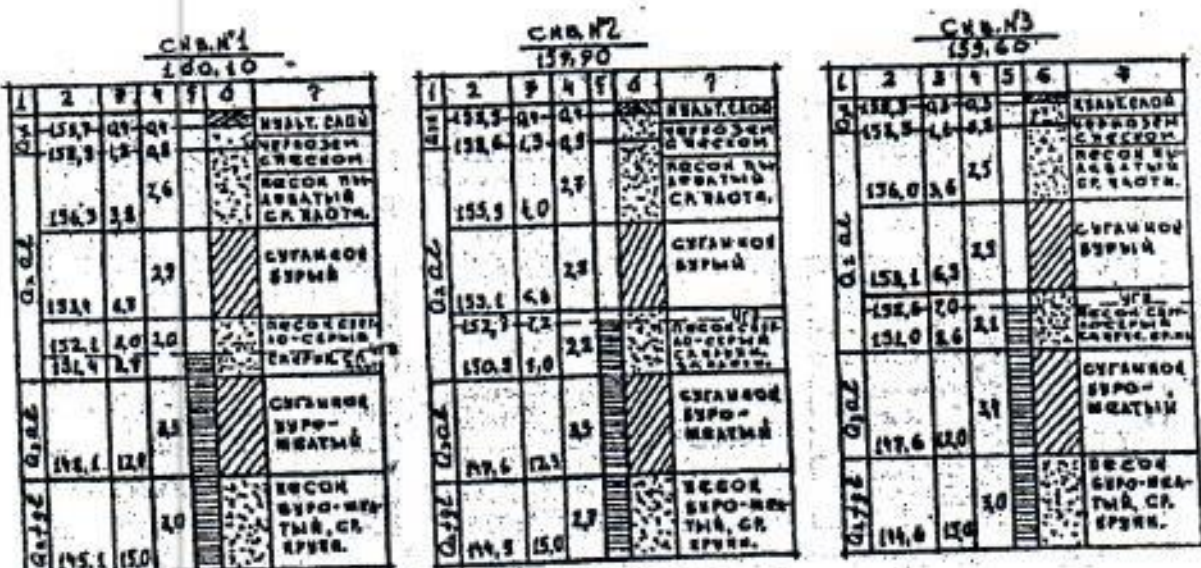
Изменение вязкости в зависимости от времени  $t$ :  $W = 200 \cdot e^{-0,005t}$

## **Приложение А13**

### **Вариант 2**



ПЛАН СТРОИТЕЛЬНОЙ ПЛОЩАДКИ №2, М 1:1000



## Рис. Геологические колонки

## 1-ГЕОЛОГИЧЕСКИЙ ВОЗРАСТ СЧЕТА:

#### 2-АБСОЛЮТНАЯ ОТМЕТКА

тодоны слоя;

### З-ГЛУБИНА ПОДОШВЫ ЖАНДОГО СЛОЯ;

- 4 - ПОЛЩИНА СЛОЯ;
- 5 - СКВАНИНА;
- 6 - УСЛОВНЫЕ ОБОЗНАЧЕНИЯ ГРУППЫ;
- 7 - АНТОЛОГИЧЕСКОЕ ОПИСАНИЕ ГРУППЫ.

### ФИЗИКО-МЕХАНИЧЕСКИЕ ХАРАКТЕРИСТИКИ ГРУНТОВ

НО- МЕР ГРУП- ПЫ	НО- МЕР СВЯ- ЗИ	ГАУЧЕННА СТ. ПОЛЕВРН ЗЕМЛЯ, м	СРАВНИТЕЛЬНЫЙ СОС- ТАВ В ЗРОДИТАХ ВО МАССЕ ЧРН АЛАНГИРН ЧАСТИН В ММ						$J_S$	$J$	$W$	$W_1$	$W_P$	$m_o$	$R_F$
			10,0 2,0	2,0 0,7	0,7 0,79	0,25 0,10	0,10 0,005	0,005	T H <sup>3</sup>	T H <sup>3</sup>	-	-	-	$TA \cdot 10^5$ М СЧТ	
1	2	3	4	F	6	7	8	9	10	11	12	13	14	15	16
L	L	2,0	0	4,0	20,0	4,0	19,0	1,0	2,65	12,0	0,14	-	-	F	0,5
2	1	4,5	10	50	8,0	18,0	14,0	12,0	2,65	18,2	0,24	0,33	0,17	6	0,01
F	2	60	40	5,0	8,0	18,0	18,0	19,0	2,65	18,4	0,26	0,35	0,20	6	0,01
4	2	7,5	2,0	22,0	12,0	15,0	18,0	4,0	2,65	20,0	0,25	-	-	F	0,0
F	3	7,5	0	6,0	10,0	15,0	17,0	22,0	2,65	19,8	0,38	0,39	0,23	8	0,01

Приложение А14  
Вариант 3

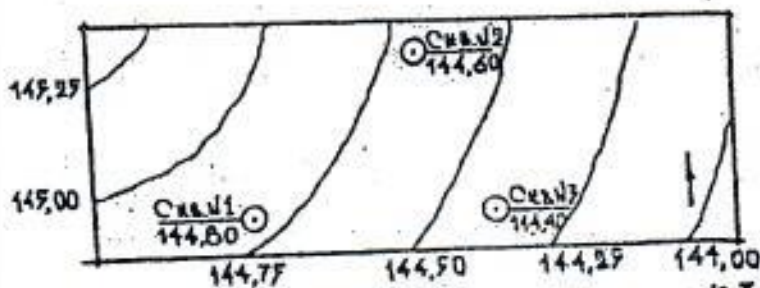


Рис. ПЛАН СТРОИТЕЛЬНОЙ ПЛОЩАДКИ № 3, М 1:1000

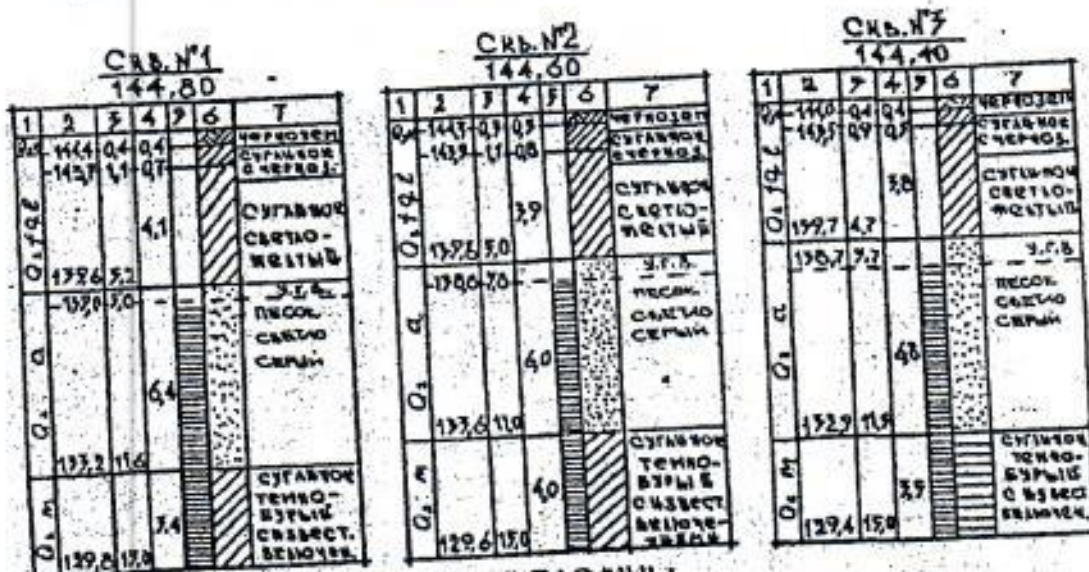


Рис. ГЕОЛОГИЧЕСКАЯ КОРОЛКА:

1 - геологический возраст  
грунта;

2 - абсолютная отметка  
подошвы слоя;

3 - глубина подошвы слоя;

4 - толщина слоя;

5 - скважина;

6 - южные осознаны  
грунта;

7 - автомагнитное  
отложение грунта

ФИЗИКО-МЕХАНИЧЕСКИЕ ХАРАКТЕРИСТИКИ ГРУНТОВ

ВОЛНЕН ОБРАЗУЮ- ЩИЙ ГРУНТ	ЧИСЛО СЧИСЛЯ- ЕМОГУ- ЩОСТЬ ГРУНТА	ГЛУБИНА ОТ ПОВЕРХ- НОСТИ ЗЕМЛИ,	СОСТАВ В ПРОЦЕНТАХ МАССЫ ВНУТРЕННЕГО ЧАСТИК В ММ	ФИЗИКО-МЕХАНИЧЕСКИЕ СОСТАВ В ПРОЦЕНТАХ МАССЫ ВНУТРЕННЕГО ЧАСТИК В ММ		$P_{f1}$	$P_{f2}$	W	W_L	W_F	M_o	$R_f$	$\frac{R_f}{M_o}$	$\frac{R_f}{W}$	
				2,0	0,9	0,25	0,10	0,10	0,009	кг/м³	м³	м³			
1	2	3	4	9	6	7	8	9	10	11	12	13	14	15	
1	1	2,0	0,9	1,5	7,0	60,0	11,0	2,66	1,73	0,23	0,28	0,18	9	0,04	
2	1	4,0	1,0	1,0	8,0	75,0	15,0	2,65	1,82	0,25	0,29	0,18	4	0,04	
3	2	7,0	0,9	10,5	34,0	24,0	24,0	2,77	2,00	0,27			3	12,0	
4	2	9,0	0,9	12,5	4,0	14,0	32,0	2,75	2,01	0,26			3	13,0	
5	3	17,0	1,0	2,0	11,0	74,0	12,0	2,71	1,98	0,37	0,30	0,18	9	0,04	

Измеренные изыскания выполнены в

200 г.

Приложение А15  
Вариант 4

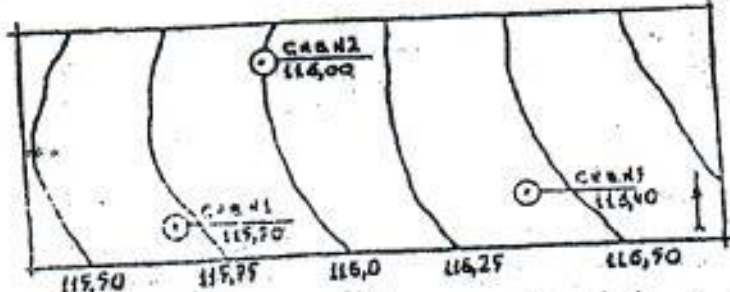


Рис. ПЛАН СТРОИТЕЛЬНОЙ ПЛОЩАДКИ № 4, М 1:1000

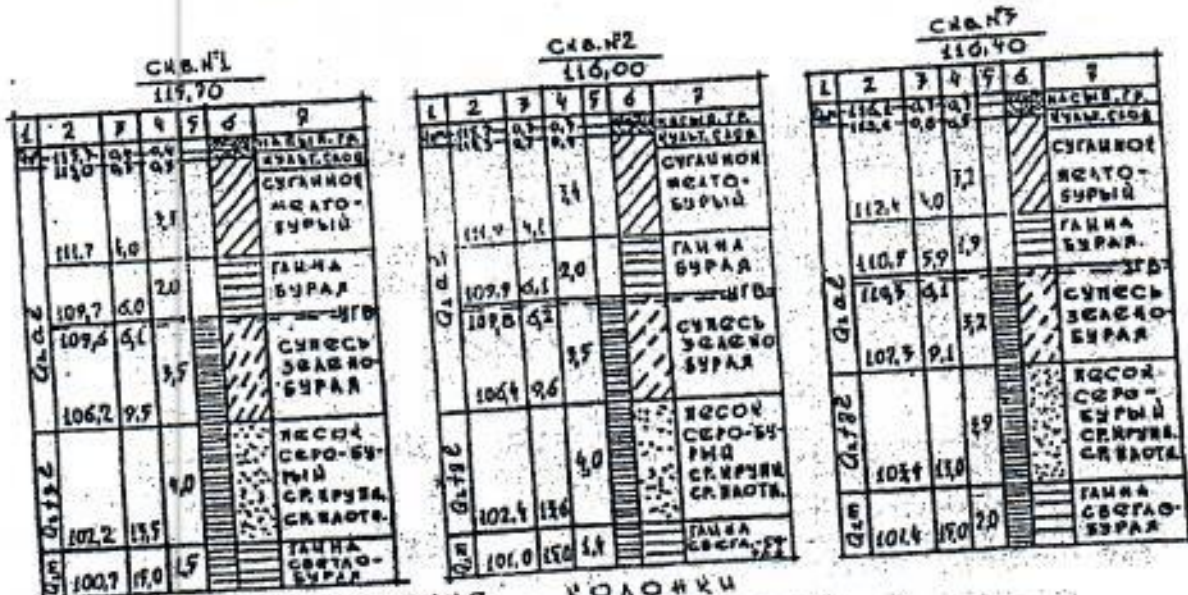


Рис. ГЕОЛОГИЧЕСКИЕ ТОЛКОНКИ

1- ГЕОЛОГИЧЕСКИЙ ВОЗРАСТ ГРУНТА;  
2- АБСОЛЮТНАЯ ОТМЕТКА ПОДОШВЫ СЛОЯ;  
3- ГЛУБИНА ПОДОШВЫ КАЖДОГО СЛОЯ;

4- ТОЛЩИНА СЛОЯ;  
5- СВАМПИНА;  
6- УСЛОВНЫЕ ОБОЗНАЧЕНИЯ ГРУНТА;  
7- ГИТОЛОГИЧЕСКОЕ ОПИСАНИЕ ГРУНТА.

ТАБЛИЦА  
ФИЗИКО-МЕХАНИЧЕСКИЕ ПАРАМЕТРИКИ ГРУНТОВ

НО- МЕР №	ГЛУБИНА ОТ СЕВЕРНОЙ ПОВЕРХН. ГРУНТА В М	ГЛУБИНА ПОВЕРХН. ЗЕМЛЯНИ, М	ГРАНУЛОМЕТРИЧЕСКИЙ СОСТАВ В ВЕРОЦЕТАХ ПО МАССЕ ЕГРН. ДИАМЕТРЫ ЧАСТИЦ В ММ						$\rho_s$ $\frac{\text{т}}{\text{м}^3}$	$\rho$ $\frac{\text{т}}{\text{м}^3}$	W	W <sub>r</sub>	W <sub>p</sub>	$\text{M}_o$ $(\text{НН}-15)$	$K_0$ , $\frac{\text{м}}{\text{снт}}$	
			10,0	2,0	0,9	0,75	0,60	0,005								
1	2	3	4	5	6	7	8	9	10	11	12	13	14	15	16	17
1	4	2,0	0	5,0	16,0	24,0	19,0	10,0	2,72	1,85	0,26	0,30	0,19	-8	0,01	
2	4	3,5	0	3,0	15,0	23,0	17,0	12,0	2,72	1,86	0,27	0,31	0,20	2	0,01	
3	2	5,0	0	4,0	10,0	10,0	16,0	13,0	2,74	1,88	0,30	0,42	0,23	1	0,01	
4	2	7,0	0	6,0	10,0	40,0	41,0	3,0	2,67	2,17	0,31	0,18	0,12	6	0,5	
5	3	10,5	9,0	28,0	27,0	29,0	19,0	1,0	2,65	2,00	0,27			5	5	
			ИМЕННОВЫЕ НАЙДЕННЫЕ ВЫПОЛНЕНИЯ						В						2000	г.

## **Приложение А16**

### **Вариант 5**

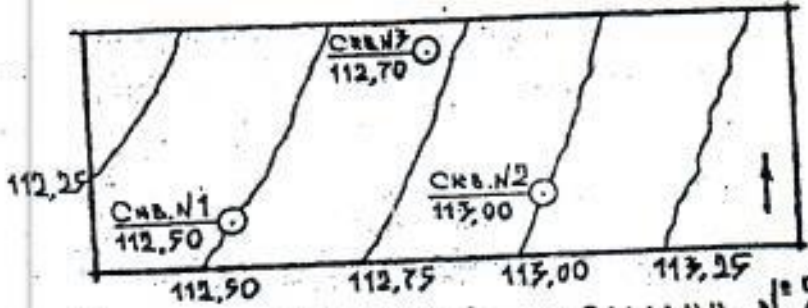
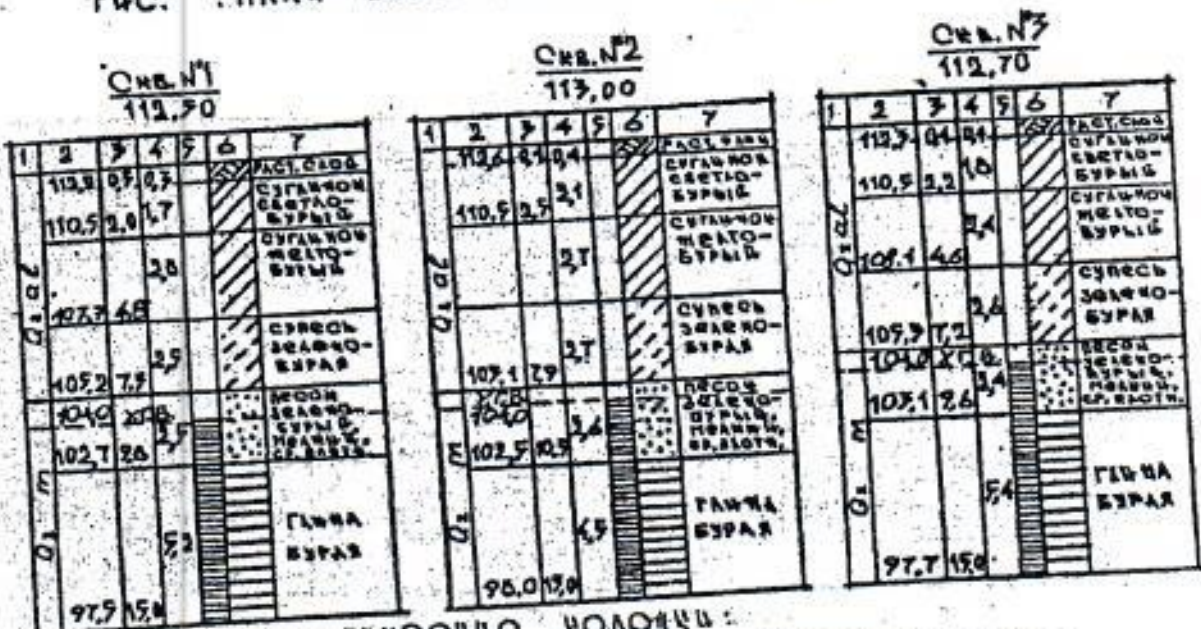


Рис. План строительной площадки № 5, М 1:1000



## ГЕОЛОГИЧЕСКИЕ КОЛОНКИ

1 - ГЕОЛОГИЧЕСКИЙ ВОЗРАСТ  
ГРУНТА;  
2 - АБСОЛЮТНАЯ ОТМЕТКА  
ПОДОШВЫ СЛОЯ;  
3 - ГЛУБИНА ПОДОШВЫ СЛОЯ;

- 4 - ТОЧИЧНА СЛОЗ;
- 5 - ОКВАДЧИЧА;
- 6 - УСЛОВЛІЧ ОБОЗНАЧЕНІ  
ГРУНТА;
- 7 - АНТОЛОГІЧСКОЕ  
ОЦІСЛЯНІО ГРУНТА

## ФИЗИКО-МЕХАНИЧЕСКИЕ ХАРАКТЕРИСТИКИ ГРУНТОВ

ФИЗИЧЕСКИЕ ХАРАКТЕРИСТИКИ															
Номер	Номер	ГЛУБИНА ОТ ПОВЕРХ- НОСТИ ЗЕМЛИ, м	ГРАДУИРОВАННЫЕ СОСТАВЫ В % ПО ВЕСУ ПО МАССЕ ПРИ ДИАМЕТРЕ ЧАСТИЦ 0,005-0,010 м						$\rho_s$	$\rho$	W	W_L	W_P	$M_0$	$R_{\text{н}}$ , $m \cdot$ сут
			10,0	2,0	0,9	0,25	0,10	0,005							
1	2	3	4	5	6	7	8	9	10	11	12	13	14	15	16
1	1	4,5		2,5	5,0	20,0	47,0	25,7	2,71	1,52	0,12	0,32	0,10	1	0,04
2	1	3,5		10,0	10,0	17,0	47,0	20,0	3,70	1,87	0,16	0,32	0,19	1	0,04
3	1	6,0		14,0	20,0	30,0	23,0	7,0	2,47	2,10	0,19	0,21	0,18	9	4
4	2	9,0	2,0	17,0	23,0	40,0	19,0	1,0	2,66	1,98	0,24			7	5
5	3	13,0		1,0	3,0	9,0	56,0	31,0	2,74	2,00	0,17	0,43	0,23	3	
Измеренные			Изыскания			Выполнены			в 2000 г.						

## Приложение А17

### Вариант 6

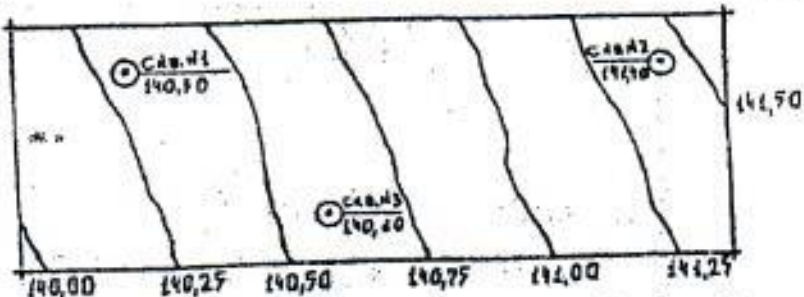


Рис. ПЛАН СТРОИТЕЛЬНОЙ ПЛОЩАДКИ № 6, М 1:1000

## ГЕОЛОГИЧЕСКИЕ КОЛОНКИ:

1- ГЕОЛОГИЧЕСКИЙ ВОЗРАСТ  
ГРУНТА;  
2- АБСОЛЮТНАЯ ОТМЕТКА  
ПОДОШВЫ СЛОЯ;  
3- ГЛУБИНА ПОДОШВЫ  
ДАННОГО СЛОЯ;

- 4- ТОЧЕЧНАЯ СЛОВА;
- 5- СКВАЖИННА;
- 6- УСЛОВНЫЕ ОБОЗНАЧЕНИЯ ГРУНТА;
- 7- АНТОЛОГИЧЕСКОЕ ОПИСАНИЕ ГРУНТА.

### ФИЗИКО-МЕХАНИЧЕСКИЕ ХАРАКТЕРИСТИКИ ГРУНТОВ

НО- МЕР ОБР. ГРУП- ПА	Ю- НК СЕЗ- МН- НЫ	ГЛУБИНА ОТ СОВРЕМЕН- НОСТИ, М	ГРАДУИРОВАННЫЙ СОСТАВ ВЪГРОЦЕНТАХО МАССЫ ПРИ АЛМАЗНОМ ЧАСТИЦЕ В НМ						$\rho_s$ 10,0 2,0 2,0	$\rho$ 0,5 0,5 0,5	W	W <sub>r</sub>	W <sub>p</sub>	m <sub>o</sub>	$K_F$ , $\text{kg} \cdot 10^{-6}$ $\frac{\text{м}}{\text{см}^2}$	
			0,25	0,10	0,005	T МД	T МД									
1	2	3	4	5	6	7	8	9	10	11	12	13	14	15	16	
1	1	7,0	4,2	17,0	20,0	15,0	16,2	0,6	2,66	1,80	0,12	0	0	1	1	
2	1	4,0	0	0,7	0,5	17,0	68,0	14,2	2,70	1,74	0,26	0,30	0,20	8	0,01	
3	2	6,0	0	0,5	1,2	17,0	67,0	18,0	2,71	1,78	0,27	0,32	0,19	9	0,01	
4	2	9,0	4,2	25,8	29,0	59,0	4,8	0,2	2,66	2,00	0,25			7	5	
5	3	12,0	0	4,6	1,5	2,8	52,0	42,1	2,73	1,92	0,32	0,47	0,26	2		

ШИРОКИЕ ПРИМЕНЕНИЯ - ВЫГОДЫ

## Приложение А18

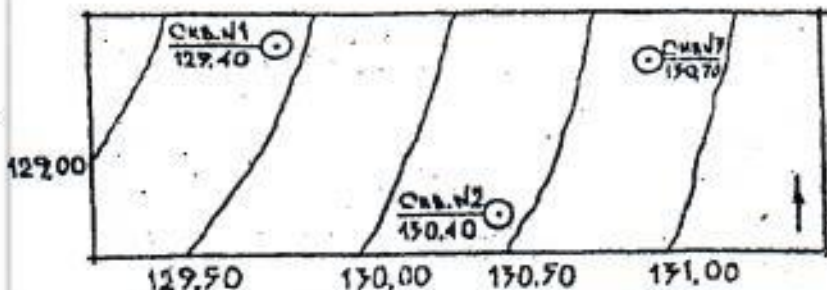
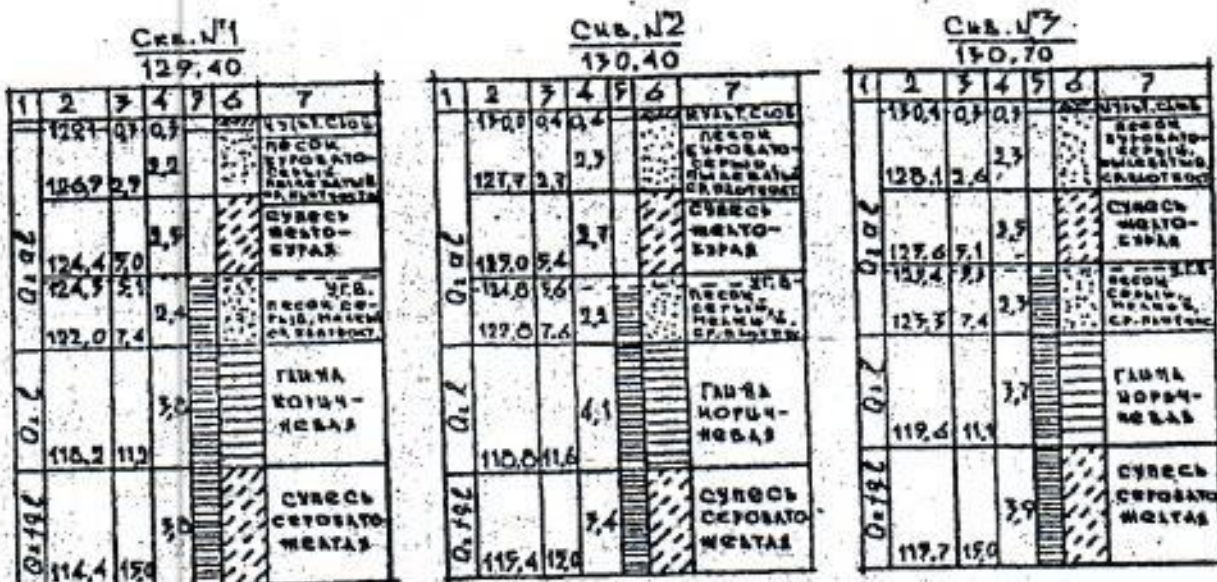


Рис. Структурная модель № 7, М. 1:1000



## Геологические колонки

1 - ГЕОЛОГИЧЕСКИЙ ВОЗМОСТ  
ГРУЗА;  
2 - АССОМОНДА ОТНОСИА  
ПОЛОШЫ СЛОХ;  
3 - ГЛУБИЧА ПОЛОШЫ СЛОХ;

4-ТОЧИЦА СЛОЯ;  
5-СВЫШАЩАЯ;  
6-УСЛОВНЫЕ ОБОЗНАЧЕНИЯ  
ГРУНТА;  
7-ЛЮТОЛОГИЧЕСКОЕ  
ОПУСТИТЕЛЬНОЕ ГРУНТА

ТАБЛИЦА  
ФИЗИКО-МЕХАНИЧЕСКИЕ ХАРАКТЕРИСТИКИ ГРУНТОВ

Номер бензиновой группы	Номер шага	Глубина от поверх- ности земли, м	ГРАВИТАЦИОННЫЙ СОСТАВ В ПРОЦЕНТАХ КО МАССЕ ПРИ ДИАМЕТРЕ ЧАСТИК В ММ					$\rho_s$	$\rho$	W	W <sub>L</sub>	W <sub>P</sub>	M <sub>0</sub>	$R_g$ , $m^{-1} \text{ кН} \cdot \text{м}^2$	$\frac{m}{сут}$
			10,0	3,0	0,8	0,25	0,10								
1	2	3	4	5	6	7	8	9	10	11	12	13	14	15	16
1	1	3,0	2,0	20,0	19,0	20,0	21,0	1,0	2,66	1,87	0,19			7	0,9
2	1	3,5		3,0	11,0	16,5	14,0	5,5	2,68	1,89	0,19	0,19	0,12	7	4
3	2	3,5		2,8	9,5	16,9	10,6	0,2	2,66	1,00	0,25			7	4
4	2	8,0		0,4	0,2	0,6	24,2	74,6	2,74	2,00	0,27	0,41	0,23	4	
5	3	12,0		0,1	2,1	6,6	81,4	9,0	2,67	2,17	0,16	0,20	0,13	4	4

Итоговые вычисления выполнены в 200 г.

Приложение А19  
Вариант 8

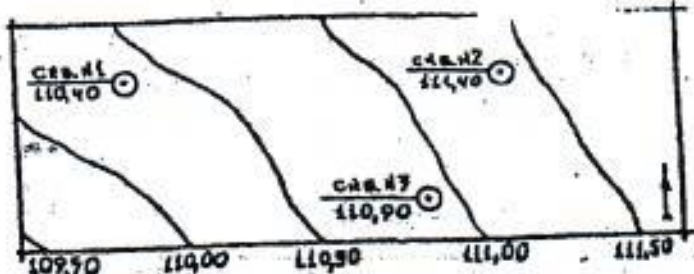


Рис. ПЛАН СТРОИТЕЛЬНОЙ ПЛОЩАДКИ №8. М 1:1000

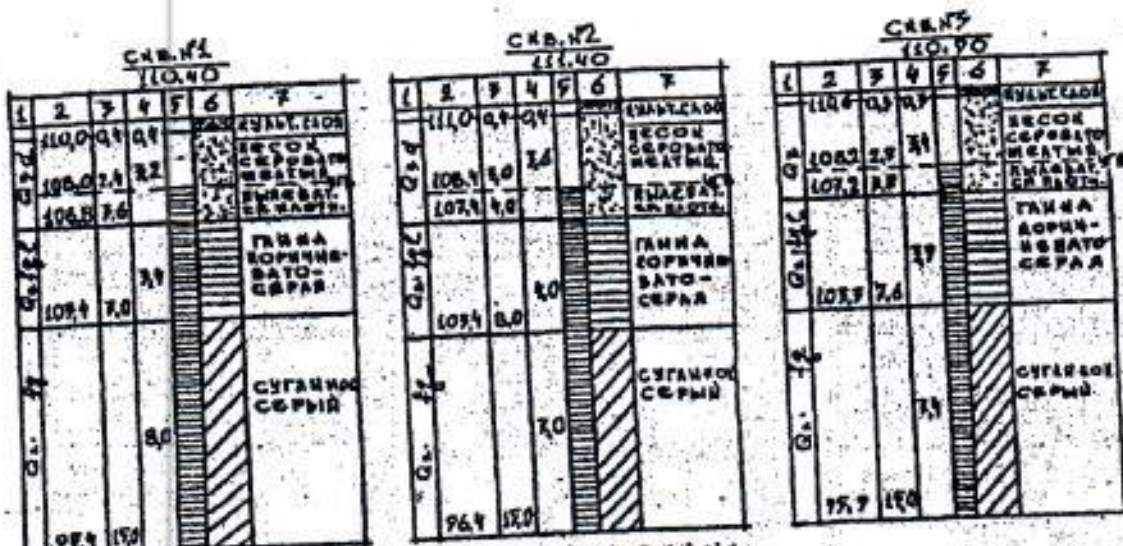


Рис. ГЕОЛОГИЧЕСКИЕ КОЛОНКИ:

1-ГЕОЛОГИЧЕСКИЙ ВОЗРАСТ  
ГРУНТА;  
2-АБСОЛЮТНАЯ ОТМЕТКА  
ПОДОМЫХ СЛОЯ;  
3-ГЛУБИНА ПОДОШВЫ  
КАДОГО СЛОЯ;

4-ТОЛЩИНА СЛОЯ;  
5-СЕВАЖИНА;  
6-УСЛОВНЫЕ ОБОЗНАЧЕНИЯ  
ГРУНТА;  
7-АНТОЛОГИЧЕСКОЕ  
ОПИСАНИЕ ГРУНТА.

ФИЗИКО-МЕХАНИЧЕСКИЕ ХАРАКТЕРИСТИКИ ГРУНТОВ

Номер обр. грунта	Номер сева- жины	Глубина от поверх- ности, м	Гранулометрический состав в гранулометрическом массе при ана- лизе частиц 2-5мм	$\rho_s$		$\rho$		$W$		$W_f$		$\pi_0$ $\text{кН} \cdot \text{м}^{-2}$		$K_f$ $\text{м} \cdot \text{с}^{-2}$	
				TG	TC	TC	TC	TL	TL	TL	TL	TL	TL	TL	TL
1	2	7	4	0,7	6	7	8	10	11	12	13	14	15		
1	1	4,7	4,0	4,0	47,0	43,0	4,0	2,6F	2,19	0,20			8	0,5	
2	1	5,0	5,0	6,0	50,0	58,0	5,0	2,66	2,00	0,25			8	0,5	
3	2	5,7	0,5	0,5	5,0	62,0	32,0	2,37	2,00	0,23	0,10	0,20	1		
4	3	8,7	16,0	10,0	18,0	31,0	27,0	2,30	2,10	0,20	0,22	0,14	2	0,01	
7	3	12,0	13,0	14,0	17,0	36,0	29,0	2,67	2,08	0,21	0,21	0,12	7	0,01	

Нижеследующие изыскания выполнены в 200 г

Приложение А20  
Вариант 9

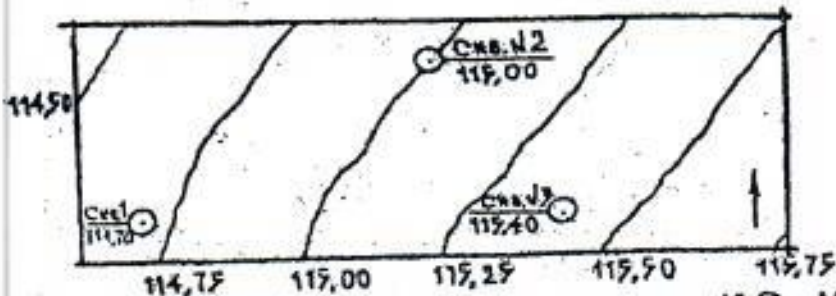


Рис. План строительной площадки № 9 М 1:1000

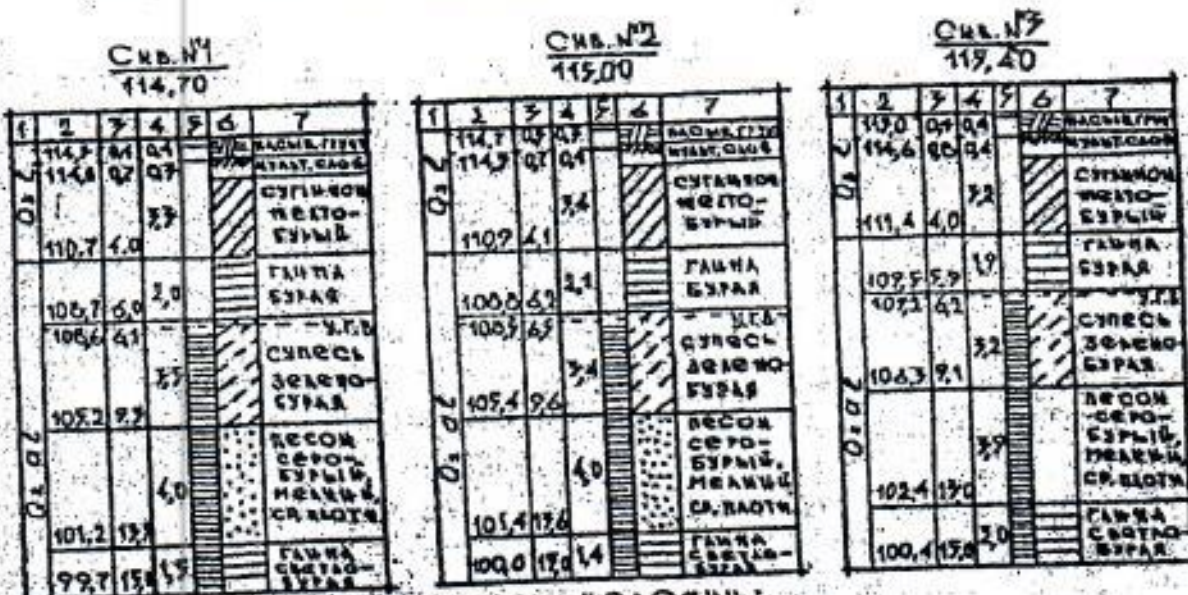


Рис. Геологическое колонки:  
1 - геологический возраст  
грунта;  
2 - абсолютная отметка  
погоды;  
3 - глубина погоды слоя;

4 - толщина слоя;  
5 - скважина;  
6 - условные обозначения  
грунта;  
7 - литологическое  
описание грунта

Таблица  
Физико-механические характеристики грунтов

Номер обнаружения- пробы номер заголовка	Глубина от поверх- ности земли, м	Гранулометрический состав в процентах по массе при динамике частиц & мм	$\rho_s$		$\rho$	$W$	$W_L$	$W_R$	$\tau_b$	$\eta$
			T	M3						
1	2	3	4	5	6	7	8	9	10	11
1	1	2,5	0,1	0,9	20,0	61,0	16,0	2,70	1,73	0,23
2	1	5,0	0,5	0,5	2,0	55,0	43,0	2,74	1,92	0,56
3	2	7,0	1,0	0,0	0,0	75,0	5,0	2,67	2,18	0,15
4	2	11,0	1,0	14,0	21,0	40,0	13,9	0,5	2,56	2,00
5	3	14,7	1,0	1,0	2,0	54,0	42,0	2,74	2,00	0,27

Использованные в таблицах единицы измерения

200 Г.

Приложение А21  
Вариант 10

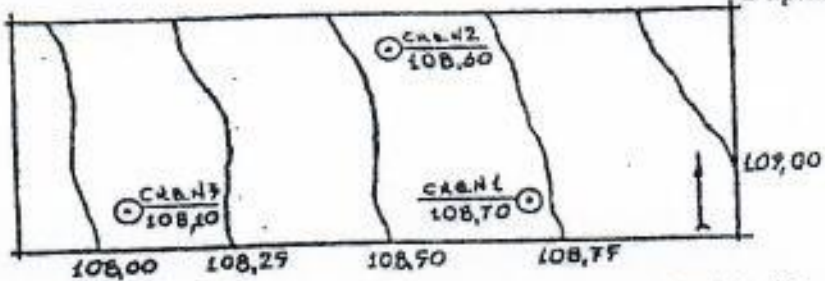


Рис. ПЛАН СТРОИТЕЛЬНОЙ ПЛОЩАДКИ №10, М 1:1000

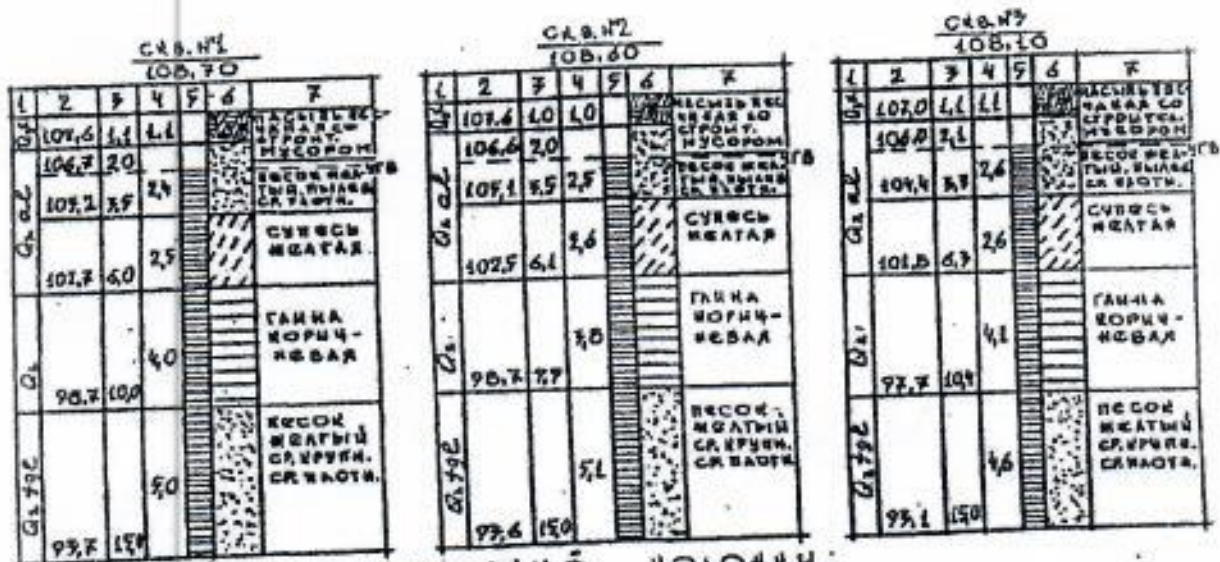


Рис. ГЕОЛОГИЧЕСКИЕ КОЛОНКИ:

1-ГЕОЛОГИЧЕСКИЙ ВОЗРАСТ  
ГРУНТА;  
2-АБСОЛЮТНАЯ ОТМЕТКА  
ПОДОШВЫ СЛОЯ;  
3-ГЛУБИНА ПОДОШВЫ  
ГЛАДКОГО СЛОЯ;

4-ТОЛЩИНА СЛОЯ;  
5-СЕВАНИНА;  
6-УСЛОВНЫЕ ОБОЗНАЧЕНИЯ  
ГРУНТА;  
7-ИДИОЛОГИЧЕСКОЕ  
ОПИСАНИЕ ГРУНТА.

ФИЗИКО-МЕХАНИЧЕСКИЕ ХАРАКТЕРИСТИКИ ГРУНТОВ

Ю- НОР- ОБР- ГРУН- ТА	НО- МЕР СКАН- ЗА	ГЛУБИНА ОТ СКАН- ЗА, М	ФИЗИКО-МЕХАНИЧЕСКИЙ СОСТАВ ВЕРХНЕГО СЛОЯ СЕВАНИИ ДИАМЕТРЫ ЧАСТИЦ В ММ						$\rho_s$ т/м <sup>3</sup>	$\rho$ т/м <sup>3</sup>	W	W <sub>r</sub>	W <sub>f</sub>	$m_b$ кН·м·10 <sup>-5</sup>	$K_f$ , Н с/т
			10,0 3,0	2,0 0,8	0,5 0,25	0,25 0,10	0,10 0,005	<0,005							
1	2	3	4	F	6	7	8	9	10	11	12	13	14	15	16
1	1	4,8	1,0	21,0	28,0	20,0	32,5	0,7	2,65	1,80	0,12			6	0,5
2	1	2,5	0,5	19,5	27,0	16,0	33,0	2,0	2,66	2,00	0,29			7	7
3	2	5,0	0	6,0	6,0	18,0	64,0	6,0	2,67	2,08	0,19	0,21	0,15	9	7
4	2	7,5	0	3,0	2,0	5,0	53,0	37,0	2,74	2,01	0,27	0,44	0,24	7	
5	3	12,0	4,0	25,0	24,0	30,0	17,0	2,0	2,64	1,99	0,299			5	10

Номера скважин и высоты выемок

ТАБЛИЦА

## Приложение Б1

### 1. Основные понятия и определения

Основанием называют толщу фунтов со всеми особенностями их напластования, воспринимающую давление от возводимых или существующих зданий.

Грунтовые основания подразделяют на естественные и улучшенные. Естественные основания используют в условиях природного залегания или после несложной предварительной обработки. В некоторых случаях механические свойства фунтов строительной площадки неудовлетворительны в отношении несущей способности основания, поэтому их улучшают различными способами или прибегают к частичной замене грунтов.

Основания бывают слоистыми или однородными. Слоистое основание (рис. 1.1) состоит из нескольких слоев фунтов, а однородное — из одного слоя. В свою очередь, слоистое основание может быть с согласным или несогласным залеганием пластов фунта. Основание, показанное на рис. 1.1, а, является примером согласного залегания фунтов, а основание, изображенное на рис. 1.1 б, — несогласного залегания.

Фундаментом называют подземную часть здания или сооружения, воспринимающую нагрузку от надземной части здания и передающую ее на основание. Фундамент 1 и его основание состоят из следующих основных элементов (рис. 1.2): верхней плоскости 2 фундамента, называемой обрезом; поверхности опирания 3 фундамента на основание, называемой подошвой фундамента; несущего слоя основания 4, на который опирается фундамент, и нижележащих слоев 5, называемых подстилающими слоями. Расстояние от спланированной отметки земли до подошвы фундамента называется глубиной заложения фундамента и обозначается буквой d.

Фундаменты подразделяют на фундаменты, возводимые в открытых котлованах, фундаменты глубокого заложения и свайные фундаменты. Возводимые в открытых котлованах фундаменты окружены насыпным грунтом и передают нагрузку на основание только по подошве  $R_1$  (рис. 1.3). Фундаментами глубокого заложения называет такие фундаменты, которые погружаются или формируются в фунтах с помощью специального оборудования. Они передают нагрузку на основание как по подошве  $R_1$  так и за счет сил трения по боковой поверхности фундамента (рис. 1.4). Свайные фундаменты по методам возведения и способам передачи нагрузки на фунты оснований занимают промежуточное положение между двумя названными выше фундаментами.



Рис. 1.1. Слоистое основание с согласным (а) и несогласным (б) залеганием грунтов.

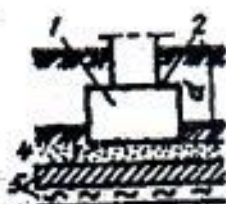


Рис. 1.2. Схема фундамента и основания: 1-фундамент; 2-обрез; 3-подошва; 4-несущий слой; 5-подстилающий слой; d-глубина заложения.

Перед проектированием оснований и фундаментов необходимо точно произвести анализ физико-механических свойств грунтов основания на строительной площадке.

Грунтами называют горные породы, слагающие верхние слои земной коры, образованные в результате выветривания. Грунты подразделяют на скальные, крупнообломочные, песчаные, пылевато-глинистые и органогенные.

В большинстве случаев грунты состоят из трех основных компонентов: твердых частиц, воды и газа. Следовательно, компоненты грунта находятся в трех состояниях: твердом, жидким и газообразном. Соотношение этих составных частей и обуславливает многие свойства грунтов.

Грунты различают по гранулометрическому составу, который определяется размерами твердых частиц, слагающих грунт (табл. 1.1).

Очень часто в строительной практике приходится встречаться с грунтами, состоящими из смеси глинистых, пылеватых и песчаных частиц. Такие грунты различают по содержанию глинистых частиц (табл. 1.2).

Крупнообломочные и песчаные грунты по гранулометрическому составу подразделяют в соответствии с данными табл. 1.3.

Характеристиками физического состояния грунтов являются три основные величины: плотность грунта  $\rho$  плотность твердых частиц  $\rho_s$  и природная массовая влажность  $w$ .

Выделенный из грунта образец можно условно разделить на три части (рис. 1.5):  $V_e$  — объем пор, заполненных газом;  $V_w$  — объем пор, заполненных водой;  $V_s$  — объем твердых частиц грунта. Масса газа, практически не оказывающая влияния на результат расчета, не учитывается.



Рис. 1.3. Фундамент, возводимый в открытом котловане: R<sub>1</sub> - нагружение по подошве.



Рис. 1.4. Фундамент глубокого заложения: R<sub>1</sub> - нагружение по подошве; R<sub>2</sub> - нагружение по боковой подошве.

Таблица 1.1

## Классификация твердых частиц

Частицы	Размеры частиц, мм	Частицы	Размеры частиц, мм
Галечниковые	>20	Пылеватые	0,05...0,005
Гравелистые	20...2	Глинистые	<0,005
Песчаные	2...0,05		

Если обозначить массу твердых частиц  $m_s$ , а массу воды  $m_w$ , то

$$\boxed{\rho = (m_s + m_w) / (V_e + V_s + V_w)} ; \rho_s = m_s / V_s ; w = m_w / m_s . \quad (1.1)$$

Для более полной оценки физического состояния грунтов помимо основных используют и дополнительные характеристики.

Плотность сухого грунта - отношение массы твердых частиц к общему объему образца ненарушенной структуры:

$$\boxed{\rho_d = m_s / (V_e + V_s)} \quad (1.2)$$

Коэффициент пористости - отношение объема пор к объему твердых частиц:

$$\boxed{e = (\rho_s - \rho_d) / \rho_d} ; \boxed{e = (\rho_s / \rho) (1 + w) - 1} \quad (1.3)$$

Коэффициент пористости  $e$  обычно используют для оценки плотности сложения песков (табл. 1.4).

Степень влажности - отношение естественной влажности к влажности, соответствующей полному заполнению пор водой:

$$\boxed{S_r = w \rho_s / \rho_w} , \quad (1.4)$$

где  $\rho_w$  - плотность воды.

Таблица 1.2.

## Классификация фунтов по содержанию глинистых частиц

Грунт	Содержание глинистых частиц, % по массе	Число пластичности, $I_p$
Глина	>30	>0,17
Суглинок	30...10	0,17...0,07
Супесь	10...3	0,07...0,01
Песок	<3	0

Таблица 1.3.

## Классификация грунтов по крупности частиц

Грунты	Размер частиц, мм	Содержание частиц по массе, %
Крупнообломочные:		
валунные	>200	>50
галечниковые	>10	>50
гравийные	>2	>50
Песчаные:		
гравелистые	>2	>25
крупные	>0,5	>50
средней крупности	>0,25	>50
мелкие	>0,1	>75
пылеватые	>0,1	<75

По степени влажности крупнообломочные и песчаные грунты подразделяются в соответствии с данными табл. 1.5.

Удельный вес грунта и его твердых частиц определяют соответственно по формулам:

$$\gamma = \rho g; \gamma_s = \rho_s g \quad (1.5)$$

где  $g$ -ускорение свободного падения.

Уменьшение удельного веса грунта в результате взвешивающего действия воды, возникающего в соответствии с законом Архимеда для грунта, залегающего ниже уровня подземных вод, находят из выражения

$$\gamma_{sb} = (\gamma_s - \gamma_w) / (1 + e) \quad (1.6)$$

где  $\gamma_w$  - удельный вес воды.

Таблица 1.4

## Значение коэффициентов пористости песков

Пески	Коэффициент пористости для песков		
	плотных	средней плотности	рыхлых
Гравелистые, крупные	$e < 0,55$	$0,55 < e < 0,7$	$e > 0,71$
Мелкие	$e < 0,6$	$0,6 < e < 0,75$	$e > 0,75$
Пылеватые	$e < 0,6$	$0,6 < e < 0,8$	$e > 0,8$

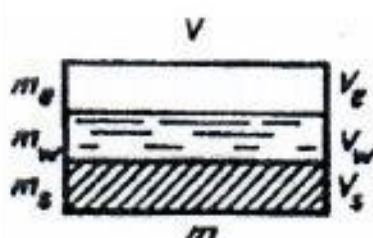


Рис. 1.5. Составные части образца грунта.

Число пластичности характеризует степень пластичности пылевато-глинистых грунтов:

$$I_p = w_L - w_p \quad (1.7)$$

где  $w_L$  — влажность грунта на границе текучести (предельное значение влажности, при котором пылевато-глинистый грунт приобретает свойства вязкой жидкости);  $w_p$  — влажность грунта на границе раскатывания (влажность, при которой пылевато-глинистый грунт начинает приобретать свойства твердого тела).

По числу пластичности грунты подразделяют в соответствии с данными табл. 1.2.

Показатель текучести позволяет установить консистенцию пылевато-глинистого грунта:

$$I_L = (w - w_p) / (w_L - w_p). \quad (1.8)$$

По показателю текучести пылевато-глинистые грунты подразделяют в соответствии с данными, приведенными в табл. 1.6.

Для расчета и проектирования естественных оснований необходимо знать механические характеристики грунтов. В большинстве случаев эти характеристики определяют путем лабораторного исследования образцов грунта, отобранных на строительной площадке, и только в виде исключения эти данные можно принимать по таблицам СНиП. К основным механическим характеристикам относятся: сопротивление грунтов сдвигу, сжимаемость и водопроницаемость.

Таблица 1.5.

Классификация грунтов по степени влажности

Крупнообломочные и песчаные грунты	Степень влажности,
Маловлажные	$0 < S_r \leq 0,5$
Влажные	$0,5 < S_r \leq 0,8$
Насыщенные водой	$0,8 < S_r \leq 1$

Таблица 1.6.

Классификация глинистых грунтов по показателю текучести

Пылевато-глинистый грунт	Показатель текучести
Супеси:	
твердые	$I_L < 0$
пластичные	$0 \leq I_L \leq 1$
текущие	$I_L > 1$
Суглинки и глины:	
твердые	$I_L < 0$
полутвердые	$0 \leq I_L \leq 0,25$
тугопластичные	$0,5 < I_L \leq 0,75$
мягкопластичные	$0,25 < I_L \leq 0,5$
текучепластичные	$0,75 < I_L \leq 1$
текущие	$I_L > 1$

Сопротивление грунтов сдвигу устанавливают путем испытания на срез образцов грунта. Прибор, используемый для испытаний (рис. 1.6, а), имеет нижнюю неподвижную обойму 1, подвижную обойму 2 и фильтрующие пластины 3, между которыми находится образец грунта 4 площадью A. По данным испытаний строят график, изображенный на рис. 1.6 б. Значение находят по следующей формуле:

$$\tau = \sigma \operatorname{tg} \varphi + c \quad (1.9)$$

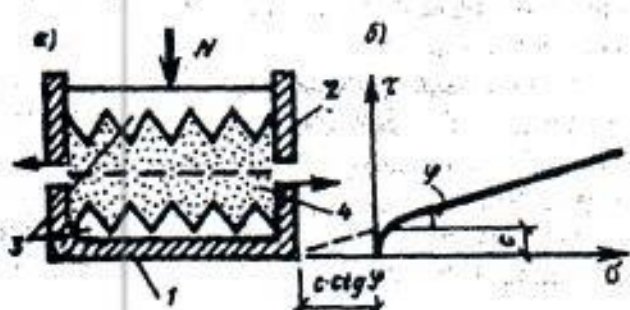


Рис. 1.6. Прибор для испытания грунта на сдвиг (а) и кривая сопротивления грунта сдвигу (б): 1 - неподвижная обойма; 2 - подвижная обойма; 3 - фильтрующие пластины; 4 - образец грунта.

где  $\sigma$  - нормальное напряжение;  $\varphi$  - угол внутреннего трения грунта;  $\operatorname{tg} \varphi$  - коэффициент внутреннего трения;  $c$  - удельное сцепление в глинистых грунтах или параметр линейности в песчаных грунтах.

Нормальное напряжение, входящее в формулу (1.9), определяется из выражения

$$\sigma = N / A \quad (1.10)$$

По сопротивлению грунтов сдвигу определяют предельные и расчетные сопротивления грунтов основания.

Сжимаемость (уплотняемость) грунтов характеризуется коэффициентом относительной сжимаемости  $m_v$ , или модулем общей деформации  $E$ , определяемым на основе лабораторных испытаний в приборе одноосного сжатия, называемом одометром (рис. 1.7). Одометр состоит из поршня 1 с отверстиями, к которому прикладывается внешняя сила  $N$ , кольца 3 с находящимся в нем образцом грунта 2 и днища 4 с отверстиями. При испытаниях полностью водонасыщенного грунта одометр помещают в ванночку с водой, а при испытаниях не полностью водонасыщенного грунта его окружают влажным пористым материалом для предотвращения испарения влаги из образца. По материалам лабораторных испытаний образцов грунта в одометрах строят компрессионные кривые, т.е. кривые зависимости коэффициента пористости от давления (рис. 1.8). По этим кривым определяют коэффициент сжимаемости

$$m_0 = (e_1 - e_2) / (p_2 - p_1) \quad (1.11)$$

где,  $e_1$  и  $e_2$  — коэффициенты пористости, соответствующие давлениям  $p_1$  и  $p_2$ .

В расчетах чаще используют коэффициент относительной сжимаемости

$$m_v = m_0 / (1 + e_1) \quad (1.12)$$

где  $e_1$  — коэффициент пористости, соответствующий начальному давлению  $p_1$ .



Рис. 1.7. Схема испытания образца грунта на сжатие в одометре.

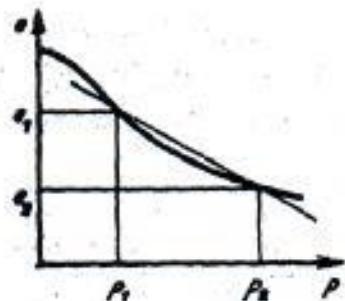


Рис. 1.8. Компрессионная кривая.

Величина, представляющая собой коэффициент пропорциональности между напряжениями и общими деформациями грунта, носит название модуля общей деформации  $E$  и соответствует модулю упругости сплошного тела

$$E = \beta(1 + e_l) / m_0 = \beta / m_v \quad (1.13)$$

где  $\beta$  — безразмерный коэффициент, зависящий от коэффициента общей относительной поперечной деформации  $v$  и определяемый по формуле

$$\beta = 1 - 2v^2 / (1 - v) \quad (1.14)$$

Значения коэффициентов  $v$  и  $\beta$  для различных видов грунтов приведены в табл. 1.7.

Таблица 1.7.

Значения  $v$  и  $\beta$  для различных грунтов

Грунты	$v$	$\beta$
Крупнообломочные	0,27	0,8
Пески и супеси	0,3	0,74
Суглинки	0,35	0,62
Глины	0,41	0,43

Модуль общей деформации часто определяют по данным полевых испытаний грунтов статической нагрузкой с помощью жестких штампов в подготовленном шурфе (рис. 1.9, а). К штампу 1 через платформу 2 прикладывают ступенчато возрастающую нагрузку 3. В результате испытаний получают зависимость осадки штампа от действующего давления (рис. 1.9, б). На участке графика при небольших давлениях, где осадка штампа линейно зависит от действующей нагрузки, определяют модуль общей деформации

$$E = wd(1 - v^2) \Delta_p / \Delta_s \quad (1.15)$$

где  $w$  — коэффициент, принимаемый для круглых жестких штампов равным 0,8;  $d$  — диаметр штампа;  $v$  — коэффициент общей относительной поперечной деформации грунта (коэффициент Пуассона);  $\Delta_p$  — приращение давления на штамп;  $\Delta_s$  — приращение осадки штампа.

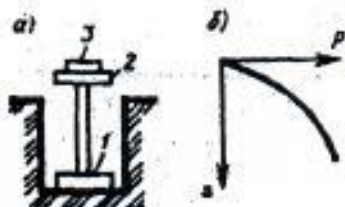


Рис. 1.9. Установка для испытания грунта статической нагрузкой в шурфе (а) и зависимость осадки от нагрузки (б): 1 - штамп; 2 - платформа; 3 - нагрузка.

Водопроницаемость грунтов оценивается с помощью закона ламинарной фильтрации, используемого при расчетах затухания осадки фундаментов во времени. Математическое описание этого закона, предложенного Дарси, имеет вид:

$$v_f = k_f i \quad (1.16)$$

где  $v_f$  — скорость фильтрации или объем воды, проходящей через единицу площади поперечного сечения грунта в единицу времени;  $k_f$  — коэффициент фильтрации;  $i$  — гидравлический градиент.

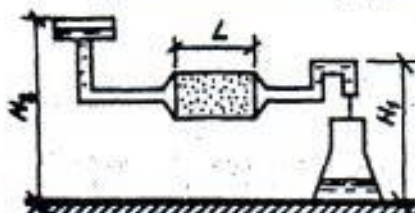


Рис. 1.10. Установка для определения коэффициента фильтрации.

Для хорошо фильтрующих фунтов (песков, супесей и др.) коэффициент фильтрации определяют с помощью прибора, показанного на рис. 1.10, который состоит из трубы длиной  $L$ , заполненной грунтом, и двух трубок — подводящей и отводящей воду. По результатам испытания образца грунта на водопроницаемость коэффициент фильтрации определяют по формуле

$$k_f = V / (Ait) \quad (1.17)$$

где  $V$  — объем воды, собранной в колбу;  $i$  — гидравлический градиент, определяемый по формуле  $\frac{h_2 - h_1}{L}$ ;  $t$  — время, за которое через образец грунта профильтровался объем воды  $V$ ;  $A$  — площадь поперечного сечения образца грунта.

Современные методы расчета оснований и фундаментов основываются на экспериментальных данных, полученных в результате нагружения внешней нагрузкой жестких штампов, устанавливаемых на поверхности грунтового основания (рис. 1.11, а). При увеличении внешней нагрузки  $N$ , приложенной к штампу, грунт основания будет деформироваться, приобретая осадку  $s$ .

Характерная для большинства грунтов зависимость осадки от действующей нагрузки приведена на рис. 1.11, б. На участке  $OA$  при небольшой внешней нагрузке, не превышающей некоторого предела, происходит уплотнение грунта, и его частицы перемещаются в основном вниз (рис. 1.12, а). На этом участке, называемом фазой уплотнения, зависимость между нагрузкой и осадкой условно принимается линейной, т.е. осадка прямо пропорциональна действующей нагрузке.

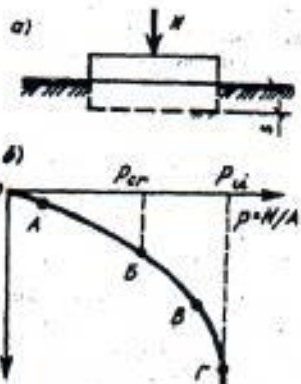


Рис. 1.11. Взаимодействие штампа с основанием (а) и кривая изменения осадки (б).

При дальнейшем возрастании нагрузки на участке АБ (см. рис. 1.11, б) под краями штампа появляются зоны пластических деформаций I ; (рис. 1.12, б). Кривизной линии АБ вследствие незначительности пренебрегают и считают, что грунт деформируется линейно, т.е. кривая АБ заменяется прямой линией. Эта зона называется фазой уплотнения и локальных сдвигов.



Рис. 1.12. Развитие деформаций в грунтах основания: а – при уплотнении; б – при развитии местных областей сдвига; в – при наступлении предельного состояния; г – при потере устойчивости основания; 1 – зоны пластических деформаций; 2 – упругое жесткое ядро.

При увеличении нагрузки на участке *BB* (см. рис. 1.11, б) зоны пластических деформаций развиваются в стороны, вовлекая в пластическую деформацию все большие объемы грунта под краями штампа (рис. 1.12, в). Эта фаза называется фазой развития значительных сдвигов и уплотнения грунта по сторонам от зон пластических деформаций. На рассматриваемом участке кривизна линии *BB* возрастает.

Дальнейшее увеличение нагрузки приводит к формированию под подошвой штампа упругого жесткого ядра 2, которое, перемещаясь вместе со штампом, расклинивает грунт, способствуя большему развитию областей сдвига, что вызывает резкую осадку штампа с выпором фунта в стороны и вверх (1.12, г). На рис. 1.11, б эта фаза соответствует участку *BG*, приближающемуся к вертикальной линии, и называется фазой выпора.

Для оценки несущей способности грунтового основания необходимо уметь определять напряженное состояние в массиве грунта от действия различных внешних нагрузок, приложенных к основанию. Наиболее важными для расчетов фундаментов и их оснований являются вертикальные напряжения, возникающие в основаниях фундаментов.

## Приложение Б2

**Пример 1.** Оценить инженерно-геологические условия строительной площадки 1 (рис. 1.13), данные о грунтах которой приведены в табл. 1.8.

*Решение.* Вначале определим вид грунта, оценим состояние и выясним свойства отдельных слоев, затем дадим общую оценку грунтовых условий строительной площадки 1.

1. Первый слой грунта (образец 1), скважина 1, глубина отбора образца 1,5 м. Определим число пластичности по формуле (1.7):  $I_p = 0$ ; следовательно, грунт песчаный.

Вид песчаного грунта устанавливаем по гранулометрическому составу: частиц 0,5 мм содержится 22%; 0,25 мм — 47%; 0,1 мм — 67%. Таким образом, частиц 0,1 мм содержится менее 75%, что по табл. 1.3 соответствует пылеватому песку.

Коэффициент пористости по формуле (1.3)

$$e = \frac{2680}{1850} (1 + 0.15) - 1 = 0.666$$

что по табл. 1.4 соответствует песчаному фунту средней плотности. Определяем степень влажности по формуле (1.4):

$$S_r = 0,15 \cdot 2680/(0,666 \cdot 1000) = 0,604.$$

что по табл. 1.5 соответствует влажному песку.

Окончательно устанавливаем: грунт — песок пылеватый, средней плотности, влажный и может служить естественным основанием.

2. Второй слой грунта (образец 2), скважина 1, глубина отбора образца 4 м. Определяем число пластиичности:  $I_p = 0,18 - 0,13 = 0,05$ ; по табл. 1.2 классифицируем грунт как супесь.

Находим коэффициент пористости

$$e = \frac{2720}{1950} (1 + 0.16) - 1 = 0.618$$



Рис. 1. 13. Геологический разрез строительной площадки I (к примеру 1).

Определяем показатель текучести по формуле (1.8):

$$I_L = \frac{0.16 - 0.13}{0.18 - 0.13} = 0.6$$

что по табл. 1.6 характеризует грунт, находящийся в пластичном состоянии.

Таблица 1.8

Данные лабораторного исследования грунтов

№ образца	№ скважин	Глубина отбора образца, м	Содержание, %, частиц размером, мм						
			10-2	2-0,5	0,5-0,25	0,25-0,1	0,1-0,005	0,05-0,001	0,01-0,005
Площадка № 1 (пример 1)									
1	1	1,5	2	20	25	20	20	11	1
2	1	4	-	3	11	36	24	8	12
3	2	6	-	3	9	75	10	1	1
4	2	10	-	0,4	0,2	0,6	10	2,2	12
Площадка № 2 (пример 2)									
5	3	3,5	1,2	27	29	39	2,8	1	1
6	3	6,5	-	10	10	15	10	20	15
7	4	10	-	1	3	9	15	25	16
74,6									

№ образца	№ скважин	Глубина отбора образца, м	Влажность, %, на границе		Плотность, кг/м <sup>3</sup>		Влажность, %, w	Коэффициент фильтрации k, м/c	Коэффициент относительной сжимаемости m, МПа	Модуль общей деформации E, МПа
			Текучесть w <sub>L</sub>	раскатывания w <sub>P</sub>	твердых частиц p <sub>n</sub>	Естественная, p				
Площадка № 1 (пример 1)										
1	1	1,5	0	0	2680	1850	15	7*10 <sup>-9</sup>	0,0493	10
2	1	4	18	13	2720	1950	16	2*10 <sup>-11</sup>	0,0435	12
3	2	6	0	0	2620	2000	22	8*10 <sup>-9</sup>	0,0231	18
4	2	10	36	22	2780	2000	28	2*10 <sup>-9</sup>	0,0207	14
Площадка № 2 (пример 2)										
5	3	3,5	0	0	2660	2000	22	8*10 <sup>-9</sup>	0,0296	10
6	3	6,5	32	19	2700	1870	25	5*10 <sup>-10</sup>	0,0517	12
7	4	10	43	23	2750	2000	27	3*10 <sup>-11</sup>	0,021	20,5

Окончательно устанавливаем: грунт - супесь в пластичном состоянии и может служить естественным основанием.

3. Третий слой грунта (образец 3), скважина 1, глубина отбора образца 6 м. Определяем число пластичности:  $I_p = 0$ ; следовательно, грунт песчаный.

Вид песчаного грунта устанавливаем по гранулометрическому составу: частиц 0,5 мм содержится 3%; 0,25 мм — 12%; 0,1 мм — 87%. Таким образом, частиц 0,1 мм содержится более 75%, что по табл. 1.3 соответствует мелкому песку.

Коэффициент пористости

$$e = \frac{2620}{2000} (1 + 0.22) - 1 = 0.598$$

что соответствует плотному песку.

Степень влажности

$$S_r = \frac{0.22 \cdot 2620}{0.598 \cdot 1000} = 0.963$$

что по табл. 1.5 соответствует насыщенному водой песку.

Окончательно устанавливаем: грунт - песок мелкий, плотный, насыщенный водой и может служить естественным основанием.

4. Четвертый слой грунта (образец 4), скважина 4, глубина отбора образца 10 м. Определяем число пластичности:

$$I_p = 0.36 - 0.22 = 0.14$$

По табл. 1.2 классифицируем грунт как суглинок.

Находим коэффициент пористости

$$e = \frac{2780}{2000} (1 + 0.28) - 1 = 0.779$$

Показатель текучести

$$I_L = \frac{0.28 - 0.22}{0.36 - 0.22} = 0.6$$

что по табл. 1.6 соответствует суглинку тугопластичному.

Окончательно устанавливаем: грунт — суглинок тугопластичный и может служить естественным основанием.

Общая оценка строительной площадки 1: согласно геологическому разрезу площадка (см. рис. 1.13) характеризуется спокойным рельефом с абсолютными отметками 130,5...130,8. Грунты имеют слоистое напластование с выдержаным залеганием грунтов. Каждый из слоев может служить естественным основанием.

### Приложение Б3

**Пример 2.** Оценить инженерно-геологические условия строительной площадки 2 (рис. 1, 14), данные о грунтах которой приведены в табл. 1.8.

*Решение.* Определим вид грунта, оценим состояние и выясним свойства отдельных слоев грунта.

1. Первый слой грунта (образец 5), скважина 3, глубина отбора образца 1,5 м. Определяем число пластичности:  $I_p = 0$ ; следовательно, грунт песчаный.

Вид песчаного грунта устанавливаем по гранулометрическому составу: частиц 0,5 мм содержится 28,2%; 0,25 мм — 57,2%. Таким образом, частиц 0,25 мм содержится более 50%, что по табл. 1.3 соответствует песку средней крупности.

Коэффициент пористости

$$e = \frac{2660}{2000} (1 + 0.22) - 1 = 0.663$$

что по табл. 1.4 соответствует песку средней плотности.

Степень влажности

$$S_r = \frac{0.22 \cdot 2660}{0.663 \cdot 1000} = 0.882$$

что по табл. 1.5 характерно для песка, насыщенного водой.

Окончательно устанавливаем: грунт — песок средней крупности, средней плотности, насыщенный водой и может служить естественным основанием.

2. Второй слой грунта (образец 6), скважина 3, глубина отбора образца 6,5 м. Определяем число пластичности:  $I_p = 0,32 - 0,19 = 0,13$

По табл. 1.2 классифицируем грунт как суглинок.

Коэффициент пористости

$$e = \frac{2700}{1870} (1 + 0.25) - 1 = 0.805$$

Показатель текучести

$$I_L = \frac{0.25 - 0.19}{0.32 - 0.19} = 0.462$$

что по табл. 1.6 соответствует суглинку тугопластичному.

Окончательно устанавливаем: грунт — суглинок тугопластичный и может служить естественным основанием.

3. Третий слой грунта (образец 7), скважина 4, глубина отбора образца 10 м. Определяем число пластичности:  $I_p = 0,43 - 0,23 = 0,2$ .

По табл. 1.2 классифицируем грунт как глину.

Коэффициент пористости

$$e = \frac{2750}{1870} (1 + 0.27) - 1 = 0.746$$

Показатель текучести

$$I_L = \frac{0.27 - 0.23}{0.43 - 0.23} = 0.2$$

что по табл. 1.6 соответствует полутвердой глине.

Окончательно устанавливаем: грунт — глина полутвердая и может служить естественным основанием.

Общая оценка строительной площадки 2: согласно геологическому разрезу площадка (см. рис. 1, 14) характеризуется спокойным рельефом с абсолютными отметками 115,7... 116. Грунты имеют слоистое напластование с выдержаным залеганием грунтов. Каждый из слоев может служить естественным основанием.

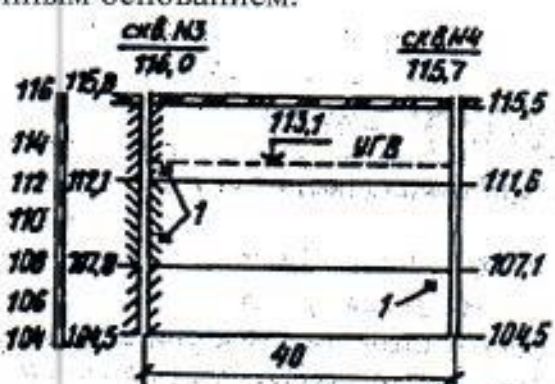


Рис. 1, 14. Геологический разрез строительной площадки (к примеру 2).

**Приложение Б4**

Условные расчетные сопротивления песчаных грунтов

Песчаные грунты	$R_0$ , МПа	
	плотные	средней плотности
Крупные (независимо от влажности)	0,6	0,5
Средней крупности (независимо от влажности)	0,5	0,4
Мелкие: маловлажные влажные и насыщенные водой	0,4 0,3	0,3 0,2
Пылеватые: маловлажные влажные насыщенные водой	0,3 0,2 0,15	0,25 0,15 0,1

**Приложение Б5**

Условные расчетные сопротивления пылевато-глинистых грунтов

Условные расчетные сопротивления пылевато-глинистых грунтов

Пылевато-глинистые грунты	Коэффициент пористости $e$	$R_0$ , МПа, при показатели текучести	
		$J_L = 0$	$J_L = 1$
Супеси	0,5	0,3	0,3
	0,7	0,25	0,2
Суглинки	0,5	0,3	0,25
	0,7	0,25	0,18
	1	0,2	0,1
Глины	0,5	0,6	0,4
	0,6	0,5	0,3
	0,8	0,3	0,2
	1,1	0,25	0,1

Примечание: Для пылевато-глинистых грунтов с промежуточными значениями  $e$  и  $J_L$  допускается определять значение  $R_0$ , пользуясь интерполяцией в начале по  $e$  для значений  $J_L = 0$  и  $J_L = 1$ , затем по  $J_L$  между полученными значениями  $R_0$  для  $J_L = 0$  и  $J_L = 1$ .

### Приложение Б6

Нормативные значения удельных сцеплений  $c_n$ , МПа, углов внутреннего трения  $\phi_n$ , град, и модулей деформации  $E$ , МПа, песчаных грунтов

Пески	Характеристика	Значение характеристик при коэффициенте пористости $e$			
		0,45	0,55	0,65	0,75
Гравелистые и крупные	$c_n$	0,002	0,001	-	-
	$\phi_n$	43	40	38	-
	$E$	50	40	30	-
Средней крупности	$c_n$	0,003	0,002	0,001	-
	$\phi_n$	40	38	35	-
	$E$	50	40	30	-
Мелкие	$c_n$	0,006	0,004	0,002	-
	$\phi_n$	38	36	32	28
	$E$	48	38	28	18
Пылеватые	$c_n$	0,008	0,006	0,004	0,002
	$\phi_n$	36	34	30	26
	$E$	39	28	18	11

### Приложение Б7

Нормативные значения модуля деформации пылевато-глинистых грунтов

Наименование грунтов и пределы нормативных значений их показателей	Модуль деформации грунтов $E$ , МПа при коэффициенте пористости $e$ , равном								
	0,35	0,45	0,55	0,65	0,75	0,85	0,95	1,05	
Супеси	$0 \leq I_L \leq 0,75$	-	32	24	16	10	7	-	-
Суглиники	$0 < I_L \leq 0,25$	-	34	27	22	17	14	11	-
	$0,25 < I_L \leq 0,5$	-	32	25	19	14	11	8	-
	$0,5 < I_L \leq 0,75$	-	-	17	12	8	6	5	
Глины	$0 < I_L \leq 0,25$	-	28	24	21	18	15	12	9
	$0,25 < I_L \leq 0,5$	-	-	21	18	15	12	9	7
	$0,5 < I_L \leq 0,75$	-	-	-	15	12	9	7	

### Приложение Б8

Нормативные значения удельных сцеплений  $c_n$ , МПа, углов внутреннего трения  $\varphi_n$ , град, и модулей деформации  $E$ , МПа, песчаных грунтов

Пески	Характеристика	Значение характеристик при коэффициенте пористости $e$			
		0,45	0,55	0,65	0,75
Гравелистые и крупные	$c_n$	0,002	0,001	-	-
	$\varphi_n$	43	40	38	-
	$E$	50	40	30	-
Средней крупности	$c_n$	0,003	0,002	0,001	-
	$\varphi_n$	40	38	35	-
	$E$	50	40	30	-
Мелкие	$c_n$	0,006	0,004	0,002	-
	$\varphi_n$	38	36	32	28
	$E$	48	38	28	18
Пылеватые	$c_n$	0,008	0,006	0,004	0,002
	$\varphi_n$	36	34	30	26
	$E$	39	28	18	11

### Приложение Б9

Нормативные значения удельных сцеплений  $c_n$ , МПа, углов внутреннего трения  $\varphi_n$ , град, пылевато-глинистых грунтов

Пылевато-глинистые грунты	Характеристика	Значения характеристик грунтов при коэффициенте пористости $e$						
		0,45	0,55	0,65	0,75	0,85	0,95	1,05
Супеси: $0 < I_L \leq 0,25$	$c_n$	0,021	0,017	0,015	0,013	-	-	-
	$\varphi_n$	30	29	27	24	-	-	-
$0,25 < I_L \leq 0,75$	$c_n$	0,019	0,015	0,01	0,011	0,009	-	-
	$\varphi_n$	28	26	324	21	18	-	-
Суглинки: $0 < I_L < 0,25$	$c_n$	0,047	0,037	0,031	0,025	0,022	0,019	-
	$\varphi_n$	26	25	24	23	22	20	-
$0,25 < I_L < 0,5$	$c_n$	0,039	0,03	0,02	0,02	0,01	0,01	-
	$\varphi_n$	24	4	8	3	8	5	-

$0,5 < I_L \leq 0,75$	$c_n$	-	23	22	21	19	17	0,012
	$\varphi_n$	-	-	0,02	0,02	0,01	0,01	12
			-	5	18	6	4	
			-	19	16	14		
Глины:	$c_n$	-	0,08	0,06	0,05	0,04	0,04	0,036
$0 \leq I_L \leq 0,25$	$\varphi_n$	-	1	8	4	7	1	14
		21	20	19	18	16		
$0,25 < I_L \leq 0,5$	$c_n$	-	-	0,05	0,05	0,04	0,03	0,032
	$\varphi_n$	-	-	-	-	-	-	11
$0,5 < I_L \leq 0,75$	$c_n$	-	-	7	17	3	7	0,029
	$\varphi_n$	-	-	18	0,04	16	14	7
		-	-	0,04	1	0,03	0,03	
			-	5	14	6	3	
			-	15	12	19		

#### Приложение Б10

Значение коэффициентов условий работы  $\gamma_{c1}$  и  $\gamma_{c2}$

Грунты	$\gamma_{c1}$	$\gamma_{c2}$ для зданий и сооружений с жесткой конструктивной схемой при L/H	
		$\geq 4$	$\leq 1,5$
Крупнообломочные с песчаным заполнителем и песчаные, кроме мелких и пылевых	1,4	1,2	1,4
Пески мелкие	1,3	1,1	1,3
Пески пылеватые: - маловлажные и влажные насыщенные водой	1,25 1,1	1 1	1,2 1,2
Пылевато-глинистые, а также крупнообло-мочные с пылевато-глинистым заполнителем: $I_L \leq 0,25$ $0,25 < I_L \leq 0,5$ $I_L > 0,5$	1,25 1,2 1,1	1 1 1	1,1 1,1 1

Примечания: 1. Здания и сооружения считаются жесткими, если конструкции специально приспособлены к восприятию дополнительных усилий от деформации основания. 2. Для зданий с гибкой конструктивной схемой принимают  $\gamma_{c2} = 1,3$ . При промежуточных значениях отношения L/H (длина здания и его высоте) значения коэффициента  $\gamma_c$ , определяется интерполяцией.

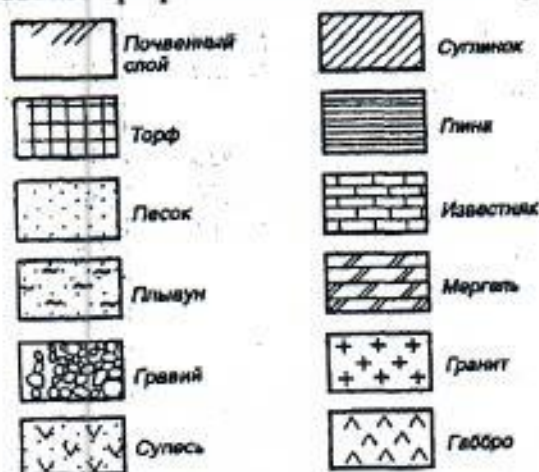
## Приложение Б11

Значение коэффициентов  $M_r$ ,  $M_q$ ,  $M_c$

$\varphi_H$ , град	$M_r$	$M_q$	$M_c$	$\varphi_H$ , град	$M_r$	$M_q$	$M_c$
0	0	1	3,14	10	0,18	1,73	4,17
1	0,01	1,06	3,23	11	0,21	1,83	4,29
2	0,03	1,12	3,32	12	0,23	1,94	4,42
3	0,04	1,18	3,41	13	0,26	2,05	4,55
4	0,06	1,25	3,51	14	0,29	2,17	4,69
5	0,08	1,32	3,61	15	0,32	2,3	4,84
6	0,1	1,39	3,71	16	0,36	2,43	4,99
7	0,12	1,47	3,82	17	0,39	2,57	5,15
8	0,14	1,55	3,93	18	0,43	2,73	5,31
9	0,16	1,64	4,05	19	0,47	2,89	5,48
20	0,51	3,06	5,66	33	1,44	6,76	8,88
21	0,56	3,24	5,84	34	1,55	7,22	9,22
22	0,61	3,44	6,04	35	1,68	7,71	9,58
23	0,69	3,65	6,24	36	1,81	8,24	9,97
24	0,72	3,87	6,45	37	1,95	8,81	10,37
25	0,78	4,11	6,67	38	2,11	9,44	10,8
26	0,84	4,37	6,9	39	2,28	10,11	11,25
27	0,91	4,64	7,14	40	2,46	10,85	11,73
28	0,98	4,93	7,4	41	2,66	11,64	12,24
29	1,06	5,25	7,67	42	2,88	12,51	12,79
30	1,15	5,59	7,95	43	3,12	13,46	13,37
31	1,24	5,95	8,24	44	3,38	14,5	13,98
32	1,34	6,34	8,55	45	3,66	15,64	14,64

## Приложение Б12

Условные графические обозначения грунтов по ГОСТ 21.302 - 96



*Приложение В1*

*Пределные деформации*

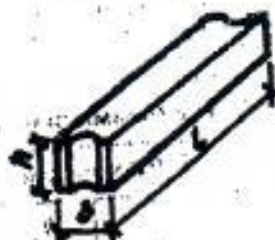
Сооружения	Пределные деформации основания		
	относитель- ная разность осадок $(\Delta s / L)_u$	крен $i_w$	средняя осадка $S_u$ , см
1. Производственные и гражданские одноэтажные и многоэтажные здания с полным каркасом: железобетонным стальным	0,002 0,004	- -	(8) (12)
2. Здания и сооружения, в конструкциях которых не возникают усилия от неравномерных осадок	0,006	-	(15)
3. Многоэтажные бескаркасные здания с несущими стенами из: крупных панелей крупных блоков или кирпичной кладки без армирования то же, с армированием и устройством железобетонных поясов	0,0016 0,002 0,0024	0,005 0,005 0,005	10 10 15
4. Элеваторы из железобетонных конструкций: рабочее здание и силовой корпус монолитной конструкции на одной фундаментной плите то же, сборной конструкции отдельно стоящий силосный корпус монолитной конструкции то же, сборной конструкции отдельно стоящее рабочее здание	- - - -	0,003 0,003 0,004 0,004	40 30 40 30 25
5. Дымовые трубы высотой, м: $H \leq 100$ $100 < H \leq 200$ $200 < H \leq 300$ $300 < H$	- - - -	0,005 $1/2H$ $1/2H$ $1/2H$	40 30 20 10
6. Жесткие сооружения высотой до 100 м, кроме указанных в пп. 4 и 5	-	0,004	20

7. Антенные сооружения связи: стволы мачт заземленные то же, электрические изолированные	-	0,002 0,001	20 10
---	---	----------------	----------

Примечание. В скобках дано значение максимальной осадки  $s_{max,u}$

### Приложение В2

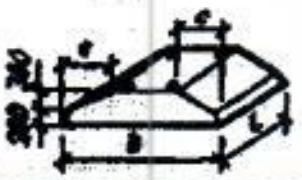
Размеры, м, и масса, кг, блоков бетонных для стен подвалов



Марка блока	b	l	h	Масса
ФБС	0,3	2,38	0,58	980
	0,3	0,88	0,58	320
	0,4	2,38	0,58	1300
	0,4	0,88	0,58	420
	0,5	2,38	0,58	1630
	0,5	0,88	0,58	520
	0,6	2,38	0,58	1960
	0,6	0,88	0,58	620
	0,4	1,18	0,28	320
	0,5	1,18	0,28	4400
	0,6	1,18	0,28	490
ФБВ	0,4	0,88	0,58	-
	0,5	0,88	0,58	-
	0,6	0,88	0,58	-
ФБП	0,4	2,38	0,58	-
	0,5	2,38	0,58	-
	0,6	2,38	0,58	-

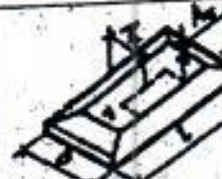
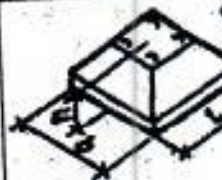
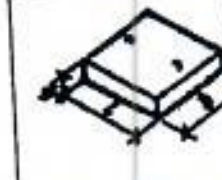
**Приложение В3**

**Плиты железобетонные для ленточных фундаментов**

Схема плиты	Марка плиты	Размеры, м				Объем бетона, м <sup>3</sup>	Масса плиты, кг
		b	l	h	c		
	ФЛ6.24	0,6	2,38	0,3	-	0,415	1070
	ФЛ6.12		1,18	0,3	-	0,205	530
	ФЛ8.24	0,6	2,38	0,3	-	0,557	1430
	ФЛ8.12		1,18	0,3	-	0,274	710
		0,8					
		0,8					
	ФЛ10.24	1	2,38	0,3	0,2	0,608	1580
	ФЛ10.12	1	1,18	0,3	0,2	0,3	790
	ФЛ12.24	1,2	2,38	0,3	0,3	0,703	1820
	ФЛ12.12	1,2	1,18	0,3	0,3	0,347	900
	ФЛ14.24	1,4	2,38	0,3	0,3	0,845	2180
	ФЛ14.12	1,4	1,18	0,3	0,3	0,416	1080
	ФЛ16.24	1,6	2,38	0,3	0,3	0,987	2530
	ФЛ16.12	1,6	1,18	0,3	0,3	0,486	1260
	ФЛ20.12	2	1,18	0,5	0,5	0,975	2540
	ФЛ24.12	2,4	1,18	0,5	0,7	1,138	3000
	ФЛ28.12	2,8	1,18	0,5	0,7	1,369	3550
	ФЛ32.12	3,2	1,18	0,5	0,7	1,6	4140

**Приложение В4**

**Фундаментные плиты и башмаки под колоны зданий**

Схема плиты	Марка плиты	Размеры, м			Давление на грунт от нормативных нагрузок, МПа	Допускаемый вылет консоли, А <sub>k</sub> , м	Объем, м <sup>3</sup>
		b	l	h			
	A Б	0,9 1,2	0,9 1,2	0,9 0,9	- -	- -	0,25 0,34
	ФП20-20	2	2	0,3	0,2 0,35	0,61 0,41	1,2
	ФП22-22	2,2	2,2	0,3	0,2 0,35	0,71 0,51	1,45
	ФП24-12	1,19	2,4	0,3	0,35	0,4	0,86
	ФП28-12	1,19	2,8	0,3	0,3	0,5	0,1
	ФП32-12	1,19	3,2	0,3	0,25	0,7	1,14
	ФТ16-18	1,6	1,8	0,58			
	СБ8-8 СБ12-12	0,78 1,18	0,78 1,18	0,58 0,58	- -	- -	0,35 0,81

## *Приложение B5*

## Размеры фундаментов под колонны каркасных зданий

Эскиз	Марка	Размеры, м							Объем бетона, м <sup>3</sup>
		<i>l</i>	<i>b</i>	<i>l<sub>1</sub></i>	<i>b<sub>1</sub></i>	<i>h<sub>1</sub></i>	<i>h<sub>2</sub></i>	<i>h<sub>f</sub></i>	
	ФА6-1 ФА6-2 ФА6-3 ФА6-4 ФА6-5 ФА6-6	2,4	2,1	1,5	1,5	0,3	0,3	1,5 1,8 2,4 3 3,6 4,2	2,9 3,2 3,6 4,1 4,6 5,1
	ФА7-1 ФА7-2 ФА7-3 ФА7-4 ФА7-5 ФА7-6	2,7	2,1	1,8	1,5	0,3	0,3	1,5 1,8 2,4 3 3,6 4,2	3,2 3,3 4 4,5 4,9 5,4
	ФА8-1 ФА8-2 ФА8-3 ФА8-4 ФА8-5 ФА8-6	2,7	2,4	1,8	1,5	0,3	0,3	1,5 1,8 2,4 3 3,6 4,2	3,5 3,7 4,2 4,7 5,2 5,7
	ФА9-1 ФА9-2 ФА9-3 ФА9-4 ФА9-5 ФА9-6	3	2,4	2,1	1,5	0,3	0,3	1,5 1,8 2,4 3 3,6 4,2	3,8 4,1 4,6 5 5,5 6

Приложение В6

Эскиз	Марка	Размеры, м					Масса фундамента, т	
		b	h <sub>f</sub>	A	B	C		
	1Ф13	1,3		0,45	0,275	0,15	0,2	3,19
	1Ф17	1,7				0,05	0,4	4,17
	1Ф21	2,1				0,05	0,65	5,49
	2Ф13	1,3				0,15	0,2	3,05
	2Ф17	1,7	1,05	0,5	0,225	0,05	0,4	4,04
	2Ф21	2,1				0,05	0,65	5,35
	1ФС13			0,45	0,275	0,15	0,2	3,19
	1ФС13	1,3		0,55	0,225			3,05

Приложение Г1

Данные для расчета глубины заложения фундаментов  $k_h$

Конструктивные особенности сооружений	$k_h$ для помещения, примыкающего к наружным фундаментам, при расчетной среднесуточной температуре воздуха, °C					
	-5	0	5	10	15	20 и более
Без подвала с полами, устраиваемыми:						
на грунте	1	0,9	0,8	0,7	0,6	0,5
на лагах по грунту	1	1	0,9	0,8	0,7	0,6
по утепленному	1	1	1	0,9	0,8	0,7
цокольному						
перекрытию	0,9	0,8	0,7	0,6	0,5	0,4
С подвалом или техническим подпольем						

Примечания: 1. Приведенные в таблице значения коэффициента  $k_h$  относятся к фундаментам, у которых расстояние от внешней грани стены до края фундамента  $a_f < 0,5$  м; если  $a_f \geq 1,5$  м, то значение  $k_h = 1$ ; при промежуточном размере  $a_f$  значения коэффициента  $k_h$  определяют по интерполяции. 2. К помещениям, примыкающим к наружным фундаментам, относятся подвалы и технические подполья, а при их отсутствии помещения первого этажа. 3. При промежуточных значениях температуры воздуха коэффициент  $k_h$  применяют с округлением до ближайшего меньшего значения, указанного в таблице.

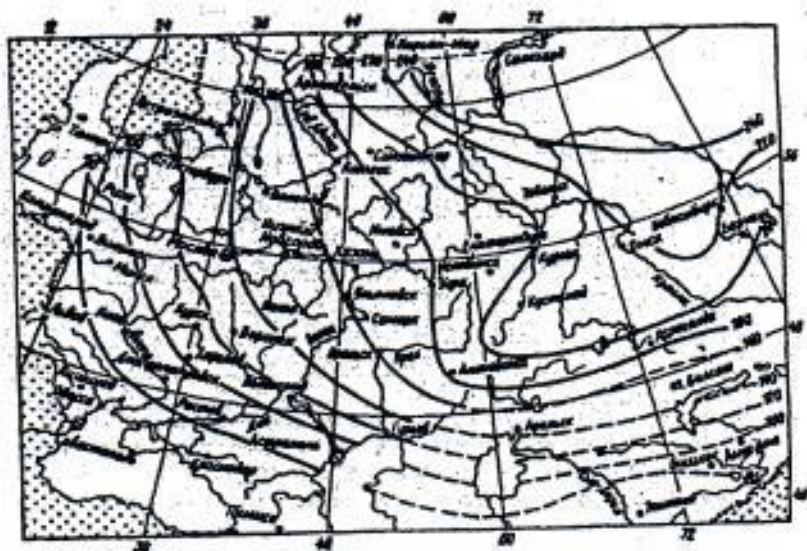
Приложение Г2

Глубина заложения подошвы фундаментов в зависимости от расчетной глубины промерзания  $d_f$

Грунты	Глубина подошвы фундамента при глубине расположения уровня грунтовых вод $d_w$ , м	
	$d_w \leq d_f + 2$	$d_w > d_f + 2$
Скальные, крупнообломочные с песчаным заполнителем, пески гравелистые, крупные и средней крупности		Не зависимо от $d_f$
Пески мелкие и пылеватые		Не зависимо от $d_f$
Супеси с показателем текучести: $I_L < 0$		
$I_L \geq 0$		
Суглинки, глины а также крупнообломочные грунты с пылевато-глинистым заполнителем при показатели текучести пылевато-глинистого грунта или заполнителя $I_L \geq 0,25$	Не менее $d_f$	Не менее $d_f$
$I_L < 0,25$		Не менее $d_f$

Примечания: 1. В случае назначения глубины заложения фундаментов независимо от расчетной глубины промерзания  $d_f$  грунты должны залегать до глубины не менее  $d_f$ . 2. Если глубину заложения фундамента назначается без учета глубины промерзания, то по конструктивным требованиям ее назначают не менее 0,5 м от спланированной отметки земли.

На карте приведены нормативные значения для глин и суглинков, для супесей, пылеватых и мелких песков они увеличиваются в 1,2 раза.



Приложение Д1

Коэффициент  $\alpha$

Коэффициент  $\alpha$  для фундаментов

$\zeta = 2z/b$	круглых	прямоугольных с соотношением сторон $\eta = l/b$ , равным						ленточ- ных ( $\eta \geq 10$ )
		1,0	1,4	1,8	2,4	3,2	5	
0	1,000	1,000	1,000	1,000	1,000	1,000	1,000	1,000
0,4	0,949	0,960	0,972	0,975	0,976	0,977	0,977	0,977
0,8	0,756	0,800	0,848	0,866	0,876	0,879	0,881	0,881
1,2	0,547	0,606	0,682	0,717	0,739	0,749	0,754	0,755
1,6	0,390	0,449	0,532	0,578	0,612	0,629	0,639.	0,642
2,0	0,285	0,336	0,414	0,463	0,505	0,530	0,545	0,550
2,4	0,214	0,257	0,325	0,374	0,419	0,449	0,470	0,477
2,8	0,165	0,201	0,260	0,304	0,349	0,383	0,410	0,420
3,2	0,130	0,160	0,210	0,251	0,294	0,329	0,360	0,374
3,6	0,106	0,131	0,173	0,209	0,250	0,285	0,319	0,337
4,0	0,087	0,108	0,145	0,176	0,214	0,248	0,285	0,306
4,4	0,073	0,091	0,123	0,150	0,185	0,218	0,255	0,280
4,8	0,062	0,077	0,105	0,130	0,161	0,192	0,230	0,258
5,2	0,053	0,067	0,091	0,113	0,141	0,170	0,208	0,239
5,6	0,046	0,058	0,079	0,099	0,124	0,152	0,189	0,223
6,0	0,040	0,051	0,070	0,087	0,110	0,136	0,173	0,208
6,4	0,036	0,045	0,062	0,077	0,099	0,122	0,158	0,196
6,8	0,031	0,040	0,055	0,064	0,088	0,110	0,145	0,185

7,2	0,028	0,036	0,049	0,062	0,080	0,100	0,133	0,175
7,6	0,024	0,032	0,044	0,056	0,072	0,091	0,123	0,166
8,0	0,022	0,029	0,040	0,051	0,066	0,084	0,113	0,158
8,4	0,021	0,026	0,037	0,046	0,060	0,077	0,105	0,150
8,8	0,019	0,024	0,033	0,042	0,055	0,071	0,098	0,143
9,2	0,017	0,022	0,031	0,039	0,051	0,065	0,091	0,137
9,6	0,016	0,020	0,028	0,036	0,047	0,060	0,085	0,132
10,0	0,015	0,019	0,026	0,033	0,043	0,056	0,079	0,126
10,4	0,014	0,017	0,024	0,031	0,040	0,052	0,074	0,122
10,8	0,013	0,016	0,022	0,029	0,037	0,049	0,069	0,117
11,2	0,012	0,015	0,021	0,027	0,035	0,045	0,065	0,113
11,6	0,011	0,014	0,020	0,025	0,033	0,042	0,061	0,109
12,0	0,010	0,013	0,018	0,023	0,031	0,040	0,058	0,106

Примечания: 1. В таблице обозначено:  $b$  – ширина или диаметр фундамента,  $l$  – длина фундамента. 2. Для фундаментов, имеющих подошву в форме правильного многоугольника с площадью  $A$ , значения  $\alpha$  принимаются как для круглых фундаментов радиусом  $r = \sqrt{A/\pi}$ . 3. Для промежуточных значений  $\zeta$  и  $\eta$  коэффициент  $\alpha$  определяется по интерполяции.

#### Приложение Д2

Значения  $k_c$

Относительная высота слоя $\xi' = 2H/b$	$k_c$
$0 < \xi' \leq 0,5$	1,5
$0,5 < \xi' \leq 1$	1,4
$1 < \xi' \leq 2$	1,3
$2 < \xi' \leq 3$	1,2
$3 < \xi' \leq 5$	1,1
$\xi' > 5$	1

#### Приложение Д3

Значение  $k_m$

Среднее значение модуля деформации грунта основания $E, \text{МПа}$	$k_m$ при ширине фундамента $b, \text{м}$ , равной		
	$b < 10$	$10 \leq b \leq 15$	$b > 15$
<10	1	1	1
$\geq 10$	1	1,35	1,5

Приложение Д4

Значения  $k$

$\xi = 2z/b$	круглых	$k$ для фундаментов						ленточных при $\eta \geq 10$	
		прямоугольных с соотношением сторон $\eta = l/b$ , равным							
		1	1,4	1,8	2,4	3,2	5		
0,0	0,000	0,000	0,000	0,000	0,000	0,000	0,000	0,000	
0,4	0,090	0,100	0,100	0,100	0,100	0,100	0,100	0,104	
0,8	0,179	0,200	0,200	0,200	0,200	0,200	0,200	0,208	
1,2	0,266	0,299	0,300	0,300	0,300	0,300	0,300	0,311	
1,6	0,348	0,380	0,394	0,397	0,397	0,397	0,397	0,412	
2,0	0,411	0,446	0,472	0,482	0,486	0,486	0,486	0,511	
2,4	0,461	0,499	0,538	0,556	0,565	0,567	0,567	0,605	
2,8	0,501	0,542	0,592	0,618	0,635	0,640	0,640	0,687	
3,2	0,532	0,577	0,637	0,671	0,696	0,709	0,709	0,763	
3,6	0,558	0,606	0,676	0,717	0,750	0,768	0,772	0,831	
4,0	0,579	0,630	0,708	0,756	0,796	0,820	0,830	0,892	
4,4	0,596	0,650	0,735	0,789	0,837	0,867	0,883	0,949	
4,8	0,611	0,668	0,759	0,819	0,873	0,908	0,932	1,001	
5,2	0,624	0,683	0,780	0,884	0,904	0,948	0,977	1,050	
5,6	0,635	0,697	0,798	0,867	0,933	0,981	1,018	1,095	
6,0	0,645	0,708	0,814	0,887	0,958	1,011	1,056	1,138	
6,4	0,653	0,719	0,828	0,904	0,980	1,031	1,090	1,178	
6,8	0,661	0,728	0,841	0,920	1,000	1,065	1,122	1,215	
7,2	0,668	0,736	0,852	0,935	1,019	1,088	1,152	1,251	
7,6	0,674	0,744	0,863	0,948	1,036	1,109	1,180	1,285	
8,0	0,769	0,751	0,872	0,960	1,051	1,128	1,205	1,316	
8,4	0,684	0,757	0,881	0,970	1,065	1,146	1,229	1,347	
8,8	0,689	0,762	0,888	0,980	1,078	1,162	1,251	1,376	
9,2	0,693	0,768	0,896	0,989	1,089	1,178	1,272	1,404	
9,6	0,697	0,772	0,902	0,998	1,100	1,192	1,291	1,431	
10,0	0,700	0,777	0,908	1,005	1,110	1,205	1,309	1,456	
11,0	0,705	0,786	0,922	1,022	1,132	1,233	1,349	1,506	
12,0	0,720	0,794	0,933	1,037	1,151	1,257	1,384	1,550	

Приложение Е1

Значение расчетных сопротивлений  $R$

Глубина погруже- ния свай, м	$R$ под нижним концом свай и свай-оболочек, не заполняемых бетоном, МПа						
	песчаных грунтов средней плотности						
	гравели- стых	крупных	-	средней крупности	мелких	пылевы- х	-
	0	0,1	0,2	0,3	0,4	0,5	0,6
3	7,5	6,6	3	3,1	2	1,1	0,6
		4		2	1,2		
4	8,3	6,8	3,8	3,2	2,1	1,25	0,7
		5,1		2,5	1,6		
5	8,8	7	4	3,4	2,2	1,3	0,8
		6,2		2,8	2		
7	9,7	7,3	4,3	3,7	2,4	1,4	0,85
		6,9		3,3	2,2		
10	10,5	7,7	5	4	2,6	1,5	0,9
		7,3		3,5	2,4		
15	11,7	8,2	5,6	4,4	2,9	1,65	1
		7,5		4			
20	12,6	8,5	6,2	4,8	3,2	1,8	1,1
				4,5			
25	13,4	9	6,8	5,2	3,5	1,95	1,2
30	14,2	9,5	7,4	5,6	3,8	2,1	1,3
35	15	10	8	6	4,1	2,25	1,4

Примечание. Над чертой даны значения  $R$  для песков, под чертой – для пылевато-глинистых грунтов.

*Приложение Е2*

Значение расчетных сопротивлений  $f$

Сред- няя глуби- на распо- ложе- ния слоя, м	Значения $f$ по боковой поверхности свай и свай-оболочек, МПа								
	песчаных грунтов средней плотности								
	Круп- ных и сред- ней круп- ности	мелких	пылевато- глинистых	-	-	-	-	-	-
пылевато-глинистых грунтов при показателе текучести $I_L$ , равном									
0,2	0,3	0,4	0,5	0,6	0,7	0,8	0,9	1	
1	0,035	0,023	0,015	0,012	0,008	0,004	0,004	0,003	0,002
2	0,042	0,03	0,021	0,017	0,012	0,007	0,005	0,004	0,004
3	0,048	0,035	0,025	0,02	0,014	0,008	0,007	0,006	0,005
4	0,053	0,038	0,027	0,022	0,016	0,009	0,009	0,007	0,005
5	0,056	0,04	0,029	0,024	0,017	0,01	0,008	0,007	0,006
6	0,058	0,042	0,031	0,025	0,018	0,01	0,008	0,007	0,006

8	0,062	0,044	0,033	0,026	0,019	0,01	0,008	0,007	0,006
10	0,065	0,046	0,034	0,027	0,019	0,01	0,008	0,007	0,006
15	0,072	0,051	0,038	0,028	0,02	0,011	0,008	0,007	0,006
20	0,079	0,056	0,041	0,03	0,02	0,012	0,008	0,007	0,006
25	0,086	0,061	0,044	0,032	0,02	0,012	0,008	0,007	0,006
30	0,093	0,066	0,047	0,034	0,021	0,012	0,009	0,008	0,007
35	0,1	0,07	0,05	0,036	0,022	0,013	0,009	0,008	0,007

Примечания: 1. При определении  $f$  грунтов следует разделять на однородные слои толщиной не более 2 м. 2. Расчетное сопротивление плотных песчаных грунтов по боковой поверхности свай и свай - оболочек  $f$  следует увеличивать 30% по сравнению со значениями, приведенными в таблицах.

*Приложение Е3*

Значение коэффициентов условий работы грунта

Способы погружения свай	Коэффициент условий работы грунта	
	под нижнем концом свай $\gamma_{cR}$	на боковой поверхности свай $\gamma_{cf}$
Погружение забивкой сплошных и полых с закрытым нижним концом свай механическими, паровоздушными и дизельными молотами	1	1
Погружение забивкой в предварительно пробуренные лидерные скважины с заглублением на 1 м ниже забоя скважины при ее диаметре:		
равном стороне квадратной свай	1	0,5
на 5 см меньшем стороне квадратной свай	1	0,6
на 15 см меньшем стороны квадратной свай или диаметра круглой	1	1
Погружение с подмывом в песчаные грунты при последующей добивке на последнем метре погружения		
Вибропогружение и вибровдавливание в грунты: пески средней плотности:		
крупные и средней крупности	1,2	1
мелкие	1,1	1
пылеватые	1	1
пылевато-глинистые с показателем текучести $I_L=0,5$ :		
супеси	0,9	0,9
суглинки	0,8	0,9
глины	0,7	0,9
	1	1

пылевато-глинистые с показателем текучести $I_L \leq 0$		
Погружение молотами любой конструкции полых свай с открытым нижним концом при диаметре полости:		
40 см и менее	1	1
40 см и более	0,7	1
Погружение любым способом полых круглых свай с закрытым нижним концом с устройством камуфлетного уширения на глубине 10 м и более в песчаных грунтах средней плотности и в пылевато-глинистых грунтах при показателе текучести .....0,5 и диаметре уширения:		
1 м независимо от указанных видов грунта	0,9	1
1,5 м в песках и супесях	0,8	1
1,5 м в суглинках и глинах	0,7	1

Примечание. Коэффициенты  $\gamma_e$  и  $\gamma_d$  для пылевато-глинистых грунтов с показателем текучести  $0 < I_L < 0,5$ .

#### Приложение Е4

Основные размеры свай квадратного сечения

Марка свай	Ширина сваи, см	Длина, см		Диаметр полости $d$ , см	Масса, кг	
		Призматической части L	Острия l		1 см сваи	острия
С	20	300-600	15	-	100	10
	25	450-600	25	-	160	30
	30	300-1200	25	-	220	50
	35	800-1600	30	-	300	60
	40	1300-1600	35	-	400	80
СН	30	900-1500	25	-	220	40
	35	1000-2000	30	-	300	60
	40	1300-2000	35	-	400	80
СН <sub>ПР</sub>	20	300-600	15	-	100	10
	25	450-600	25	-	160	30
	30	300-1200	25	-	220	50
	35	800-1600	30	-	300	60
	40	1300-1600	35	-	400	80
СП и СПН	30	300-800	-	11	70	-
	35	300-800	-	16	100	-
	40	300-800	-	27,5	210	-

## **Пояснительная записка (20-25 стр. формата А4)**

- Анализ исходных данных по надфундаментной конструкции;
- Анализ инженерно-геологических и гидрогеологических условий площадки;
- Определение глубины заложения фундамента (ростверка);
- Определение параметров фундамента мелкого заложения;
- Определение параметров свайного фундамента;
- Конструирование фундаментов;
- Расчёт осадок фундаментов;
- Выбор оптимального варианта фундаментов.

Вариант геологического разреза выбирается из «Методических указаний к выполнению курсового проекта по дисциплине «Основания и фундаменты» по последней цифре зачётной книжки.

**Геологический разрез для строительной площадки и таблицу нормативных характеристик грунтов взять из РГЗ по дисциплине «Механика грунтов»**

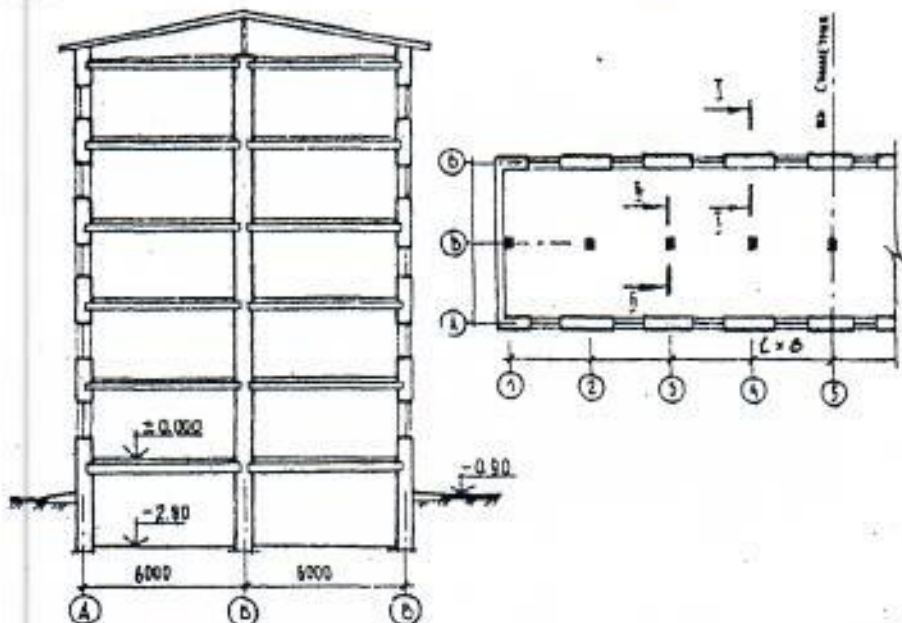
### **Рекомендуемая литература**

1. СП 20. 13330. 2011 « Нагрузки и воздействия». Актуализированная редакция СНиП 2.01.07-85;
2. СП 22.13330.2011 «Основания зданий и сооружений». Актуализированная редакция - СНиП 2.02.01-83\*;
3. СП 24.13330.2011 «Свайные фундаменты» Актуализированная редакция - СНиП 2.02.03-85
4. Ухов С.Б. и др. Механика грунтов, основания и фундаменты. ЛСБ, М., 2012.
5. Далматов Б.И. Проектирование фундаментов зданий и подземных сооружений, М.: Изд-во АСВ; СПб.: СПбГАСУ, 2012

Выдал ст. преподаватель - И.А.Рыбникова

Дата выдачи задания –

**ЗАДАНИЕ**  
 к курсовой работе по дисциплине «Основания и фундаменты»  
 Шифр \_\_\_\_\_ Ст. гр. \_\_\_\_\_



№ варианта	Количество этажей	Высота этажа, м	Материал стен	Район строительства	Шаг $l$ , м	Расчетные сечения			
						I-I	II-II	III-III	IV-IV
						$N^H$ кН/м	$N^H$ кН	$M^H$ кН*м	$T^H$ кН
1	5	3	кирпич	-	6,60	225	2500	70	11
2	7	3	кирпич	-	7,20	315	3700	90	17

Примечания:  
 1. Нагрузка по расчетному сечению I-I дана на уровне обреза фундамента.  
 2. Усилия по расчетному сечению II-II даны в уровне обреза фундамента.  
 Студенты с нечётным номером зачётной книжки выполняют вариант 1 -(5-этажное здание),  
 Студенты с чётным номером зачётной книжки выполняют вариант 2 -(7-этажное здание),  
 Для района строительства студентом самостоятельно подбирается город в РФ, в названии которого 1-я  
 буква соответствует 1-й букве его фамилии. Инженерно-геологический разрез берется из выполненной  
 ранее контрольной работы по механике грунтов

**Состав курсовой работы**  
**Графическая часть (1 формат А1)**

- Генплан площадки строительства с горизонталями, с нанесением расположения скважин и контура проектируемого здания (1:500);
- Инженерно-геологические разрезы по скважинам со схемой расположения здания, с указанием абсолютных и относительных отметок нуля и планировочной поверхности;
- Маркировочные планы фундаментов мелкого заложения и свайного с указанием привязочных размеров к осям здания, с отметками глубины заложения (1:100);
- Конструктивные узлы фундаментов (1:25, 1:50);
- Таблица технико-экономического сравнения вариантов фундаментов мелкого заложения и свайного.